

Anhang 41 zu:

Räumliche Linienführung von Autobahnen

von

Christian Lippold
Janette Zösch

Fakultät Verkehrswissenschaften "Friedrich List"
Institut für Verkehrsplanung und Straßenverkehr
Technische Universität Dresden

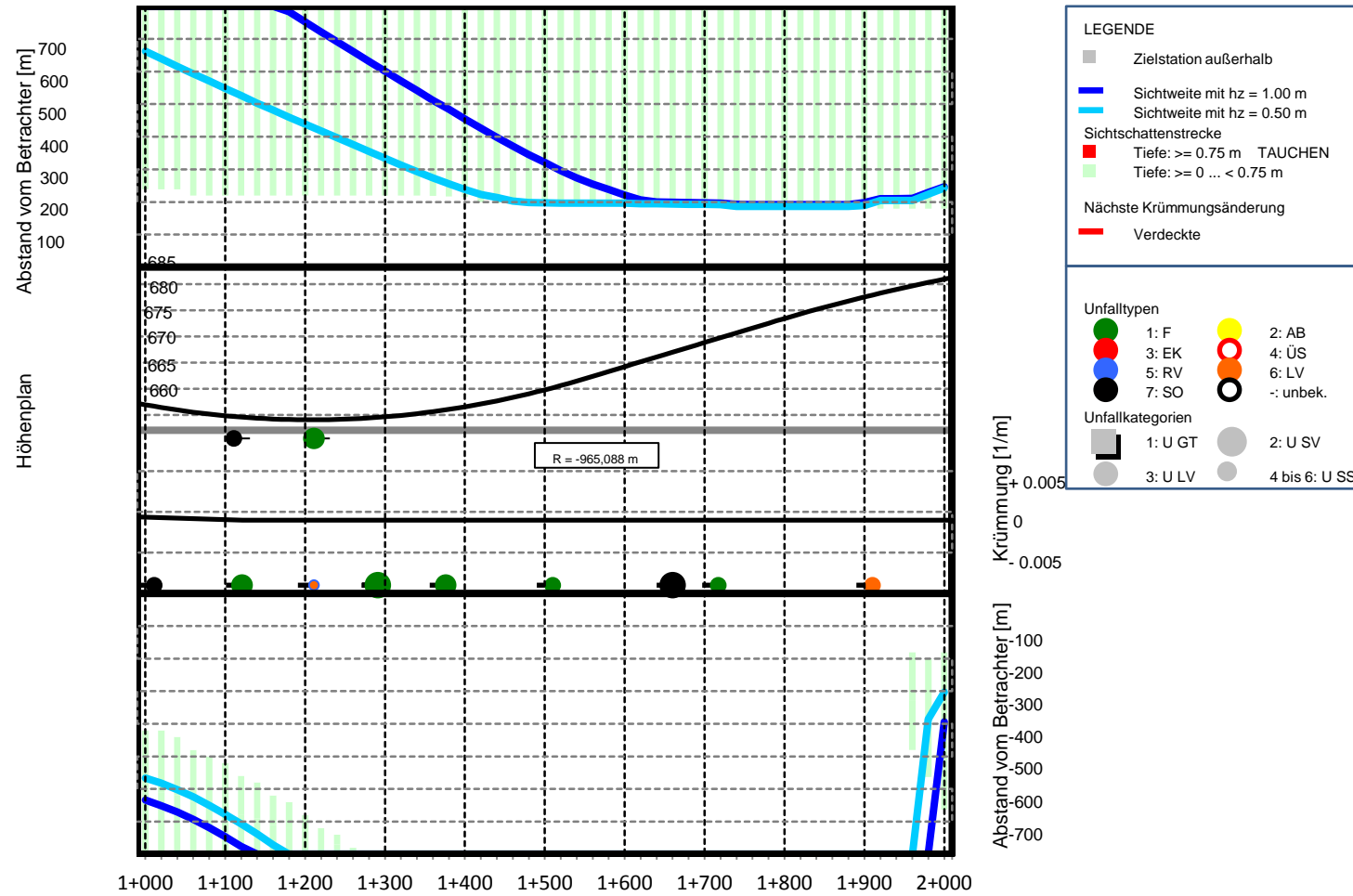
Matthias Zimmermann

Karlsruher Institut für Technologie (KIT)
Institut für Straßen- und Eisenbahnwesen (ISE)

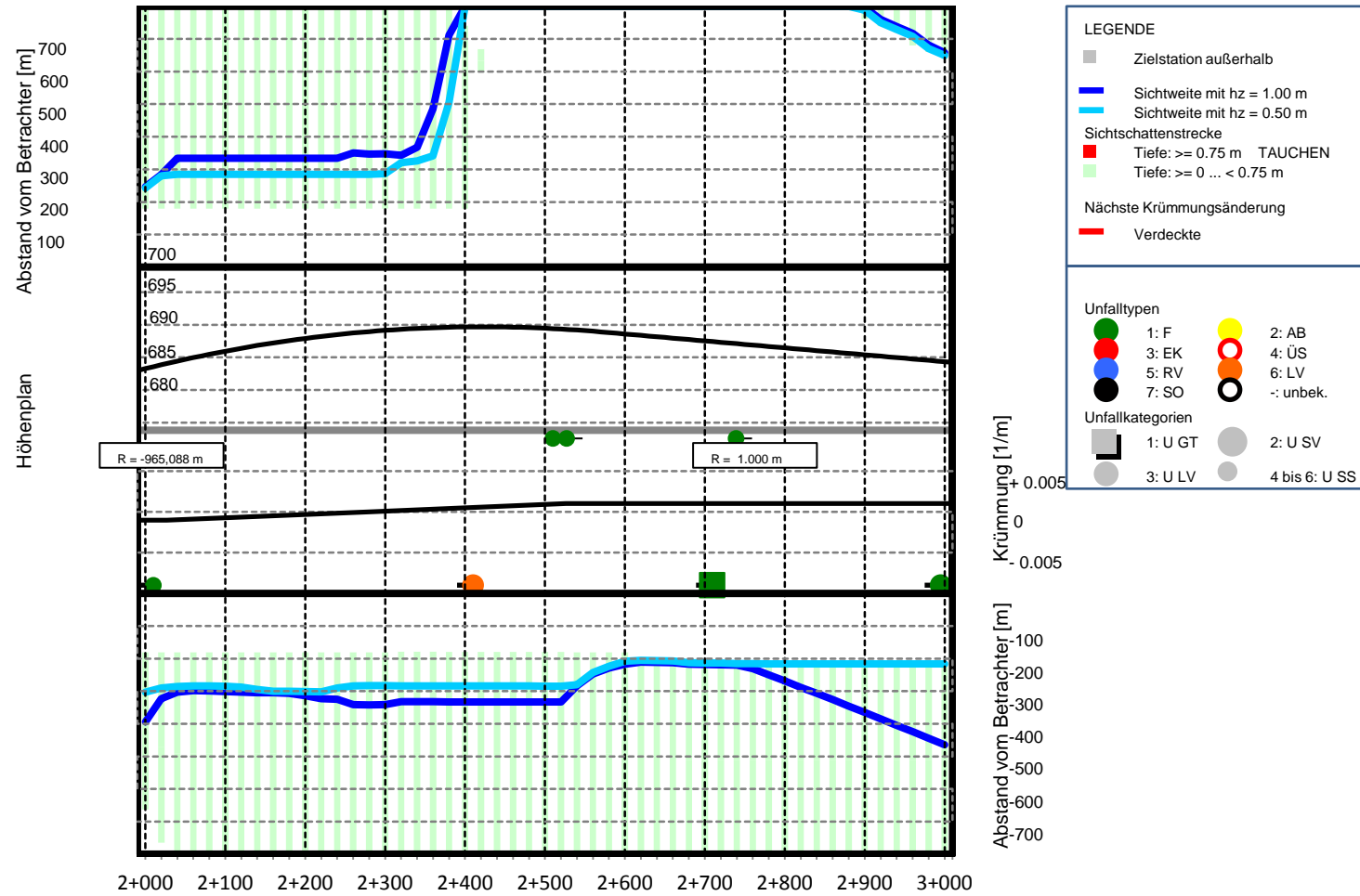
**Berichte der
Bundesanstalt für Straßenwesen**

Verkehrstechnik Heft V 332 – Anhang 41

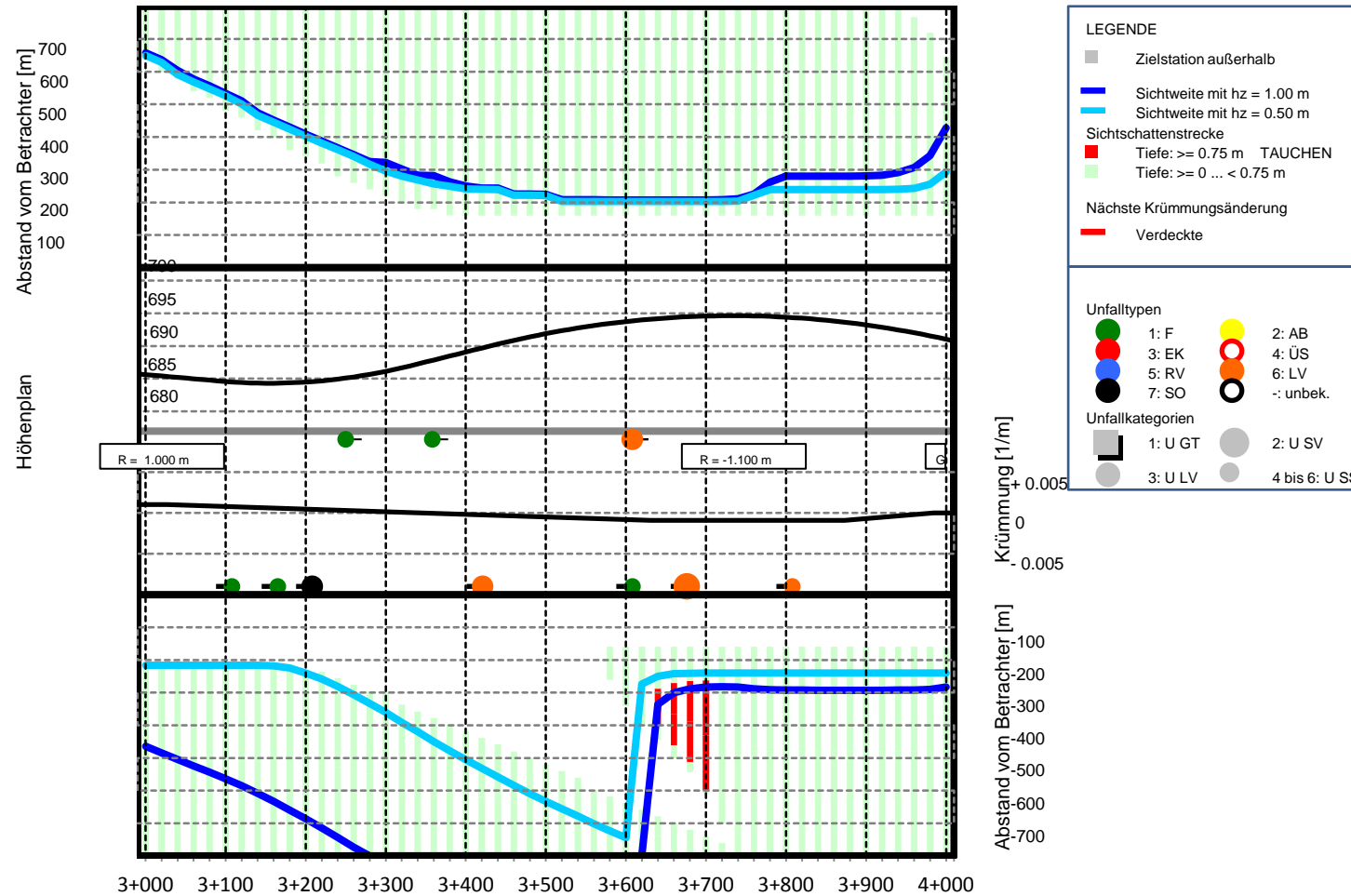
bast



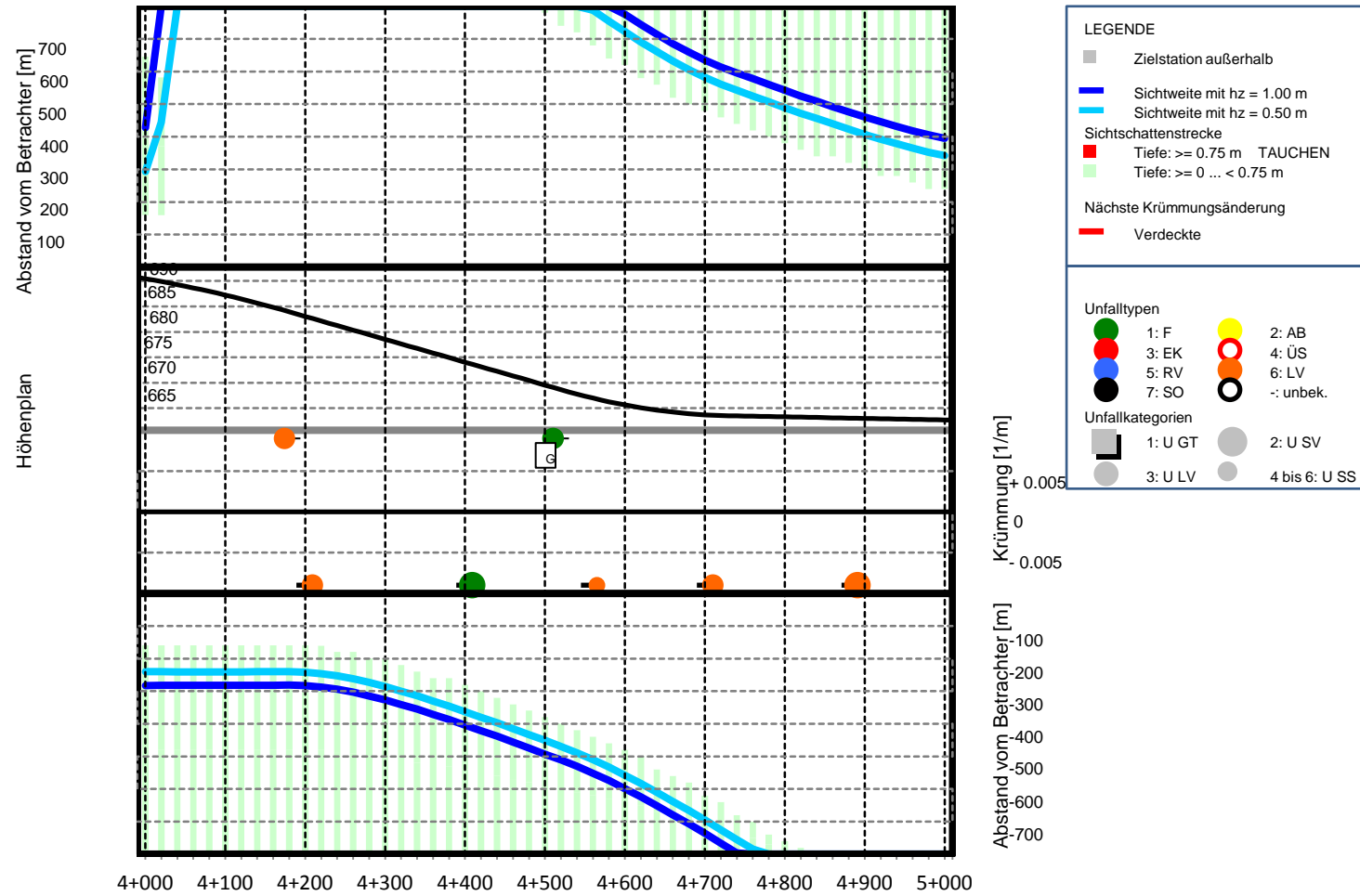
Anlage: Sichtschattenband A9, Station 01+000 bis 02+000, T Auge: 6.5 m, Defizite gemäß H ViSt



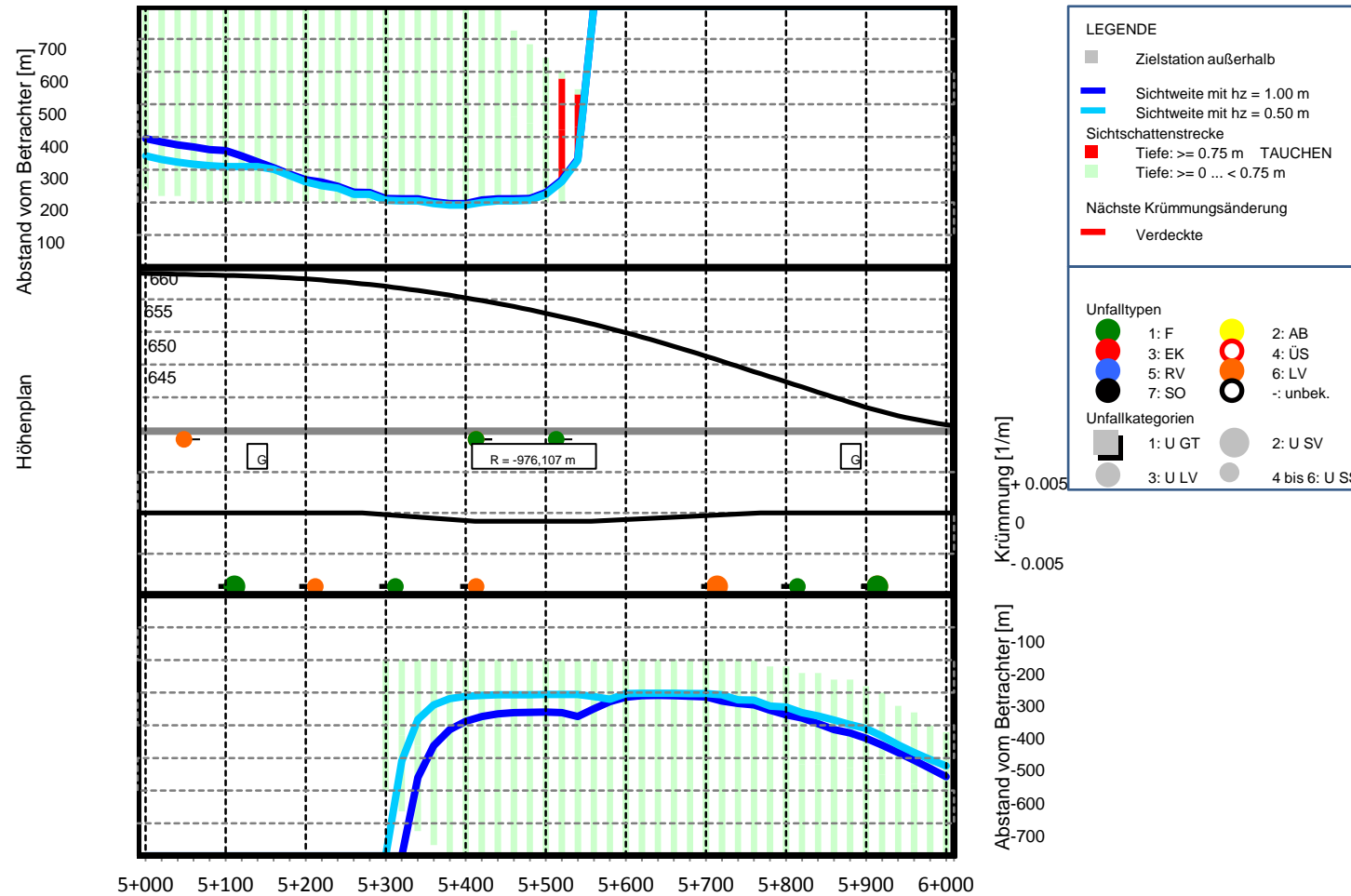
Anlage: Sichtschattenband A9, Station 02+000 bis 03+000, T Auge: 6.5 m, Defizite gemäß H ViSt



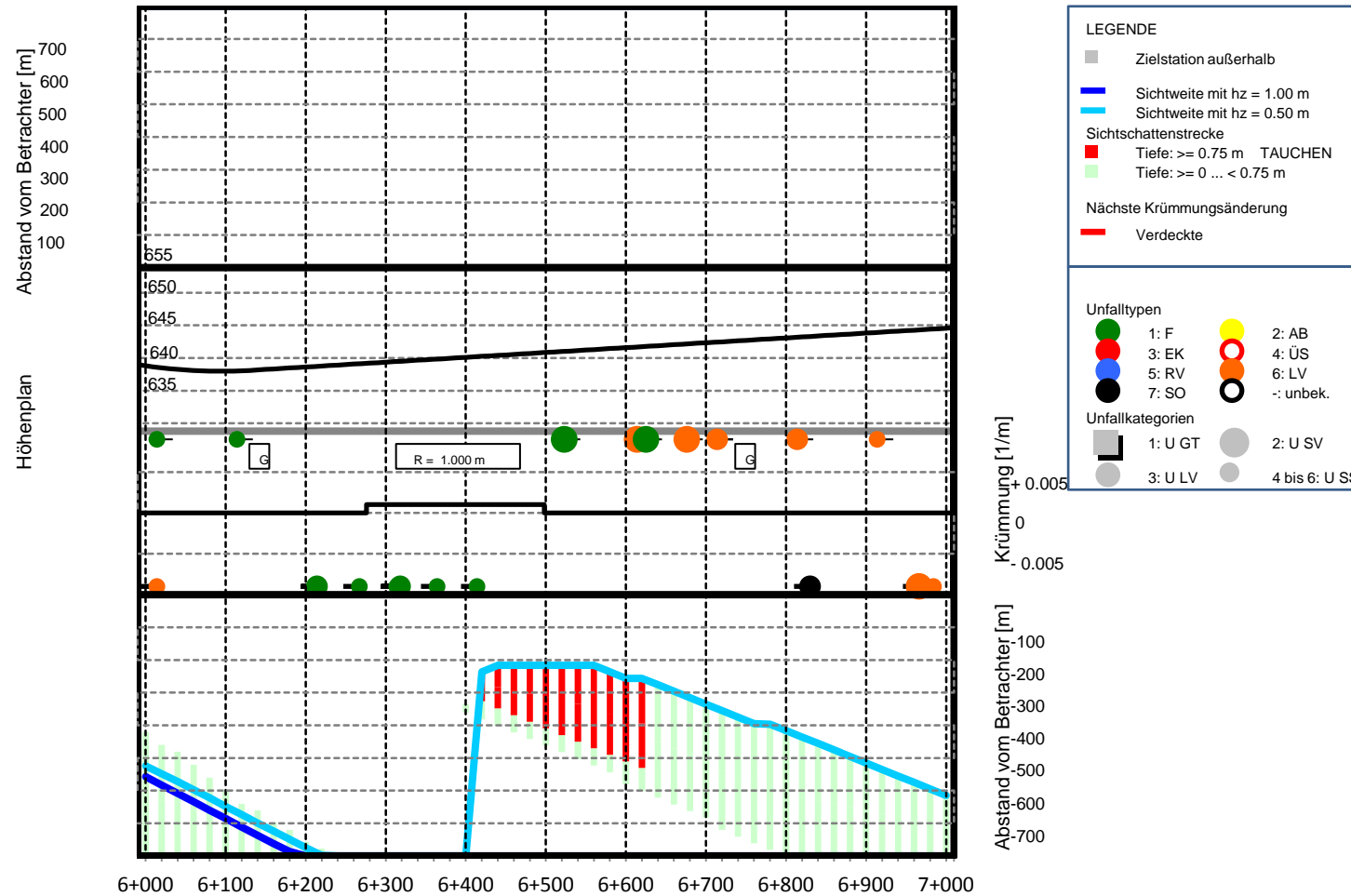
Anlage: Sichtschattenband A9, Station 03+000 bis 04+000, T Auge: 6.5 m, Defizite gemäß H ViSt



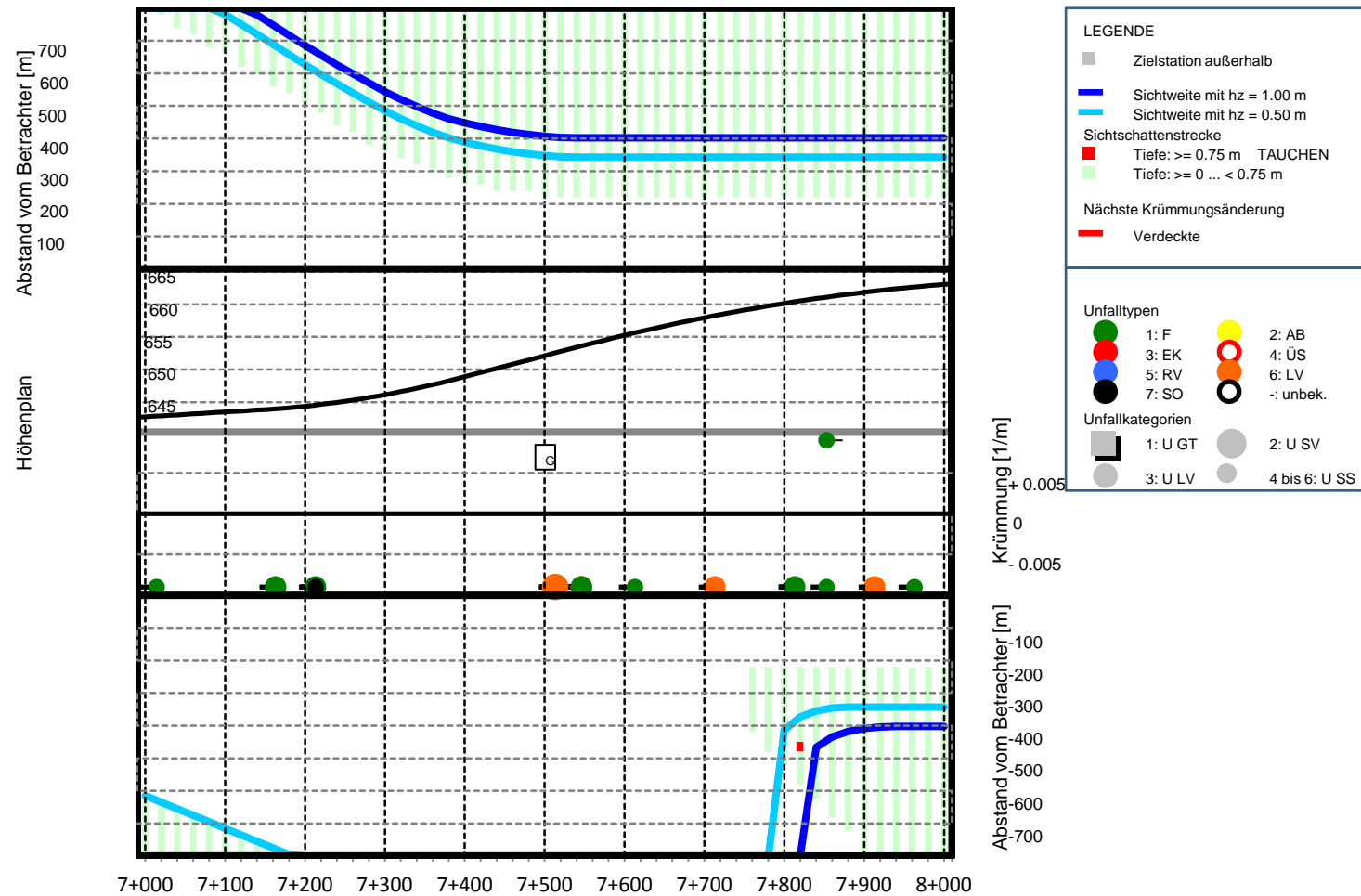
Anlage: Sichtschattenband A9, Station 04+000 bis 05+000, T Auge: 6.5 m, Defizite gemäß H ViSt



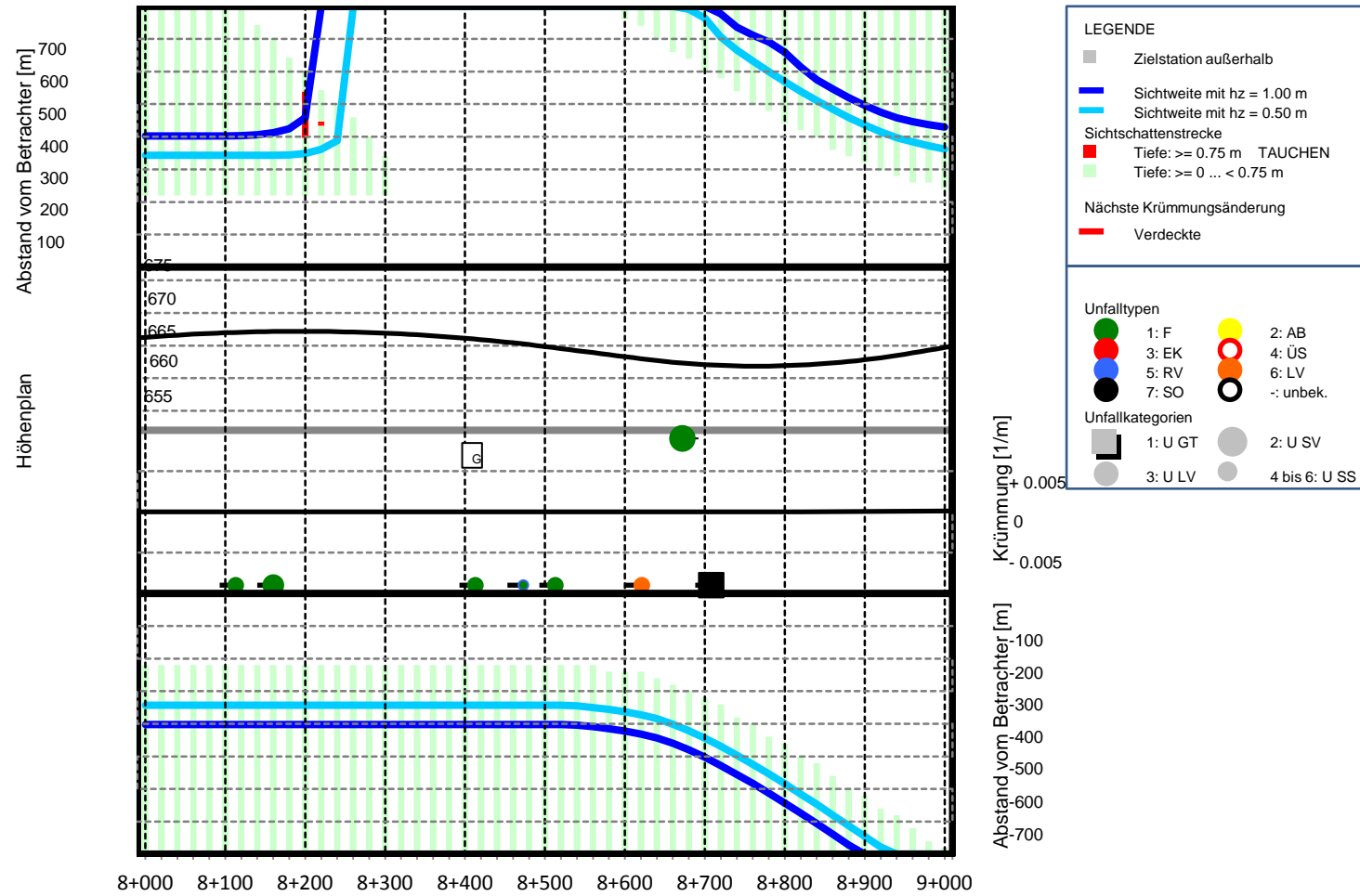
Anlage: Sichtschattenband A9, Station 05+000 bis 06+000, T Auge: 6.5 m, Defizite gemäß H ViSt



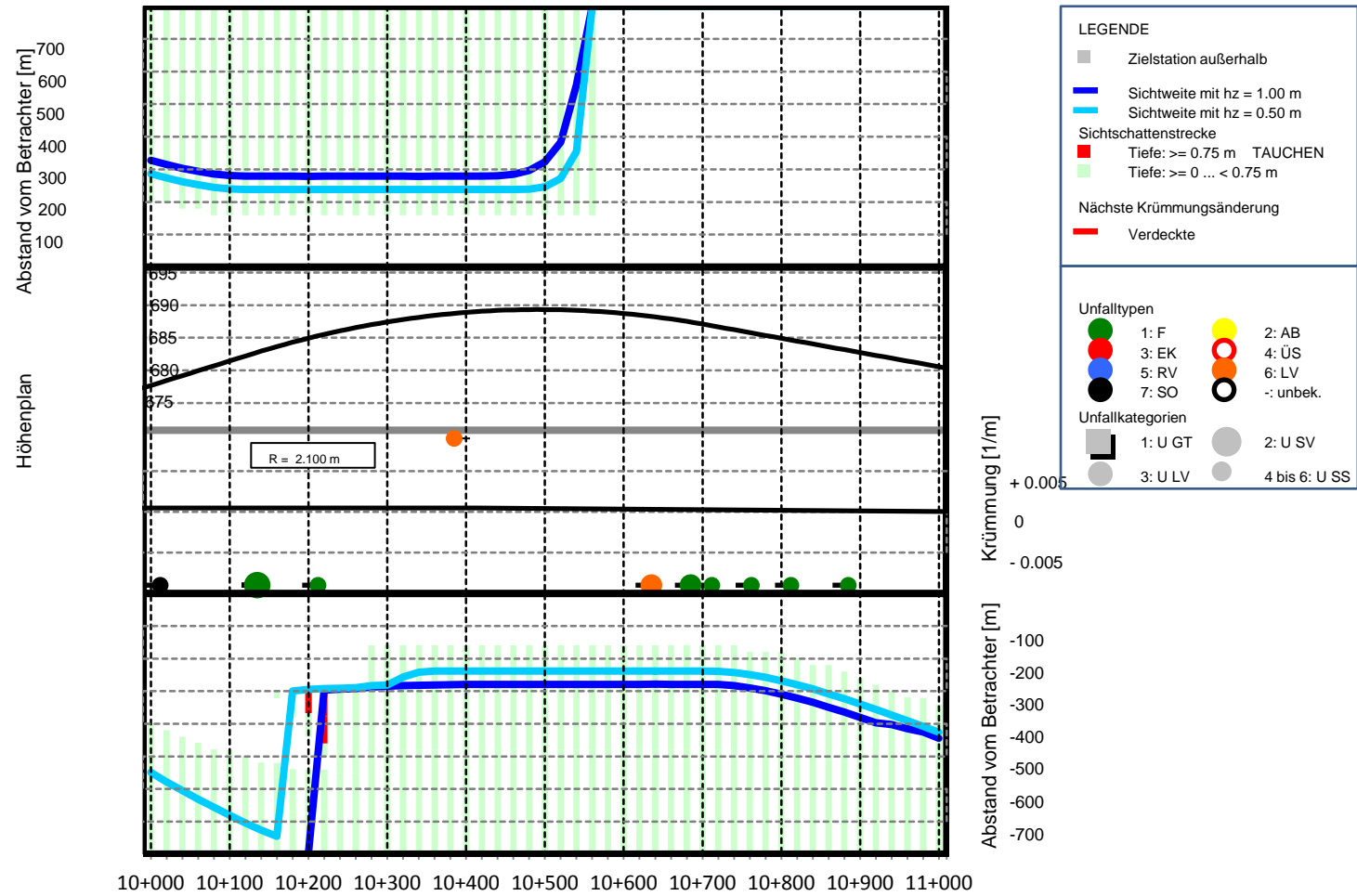
Anlage: Sichtschattenband A9, Station 06+000 bis 07+000, T Auge: 6.5 m, Defizite gemäß H ViSt



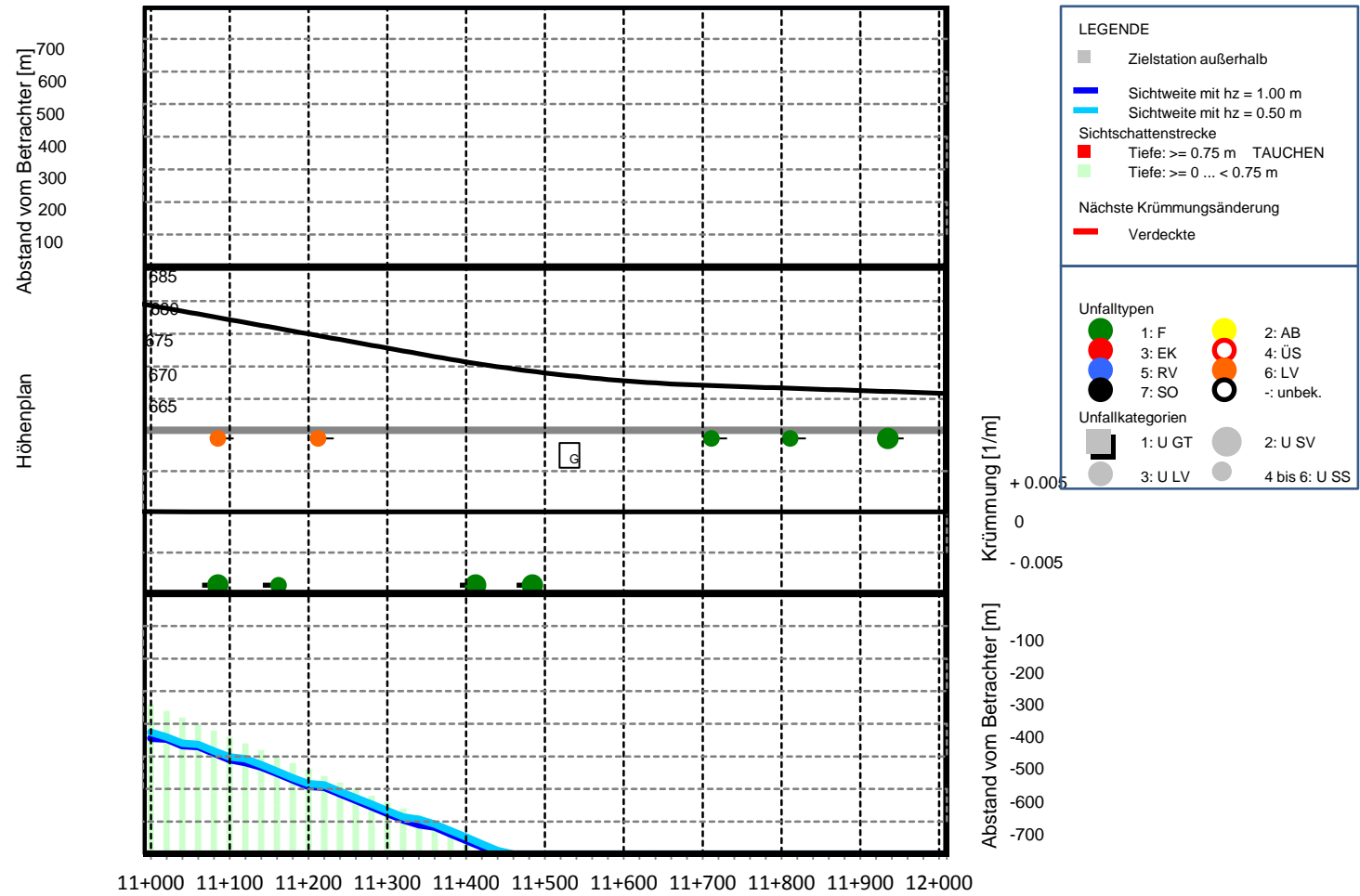
Anlage: Sichtschattenband A9, Station 07+000 bis 08+000, T Auge: 6.5 m, Defizite gemäß H ViSt



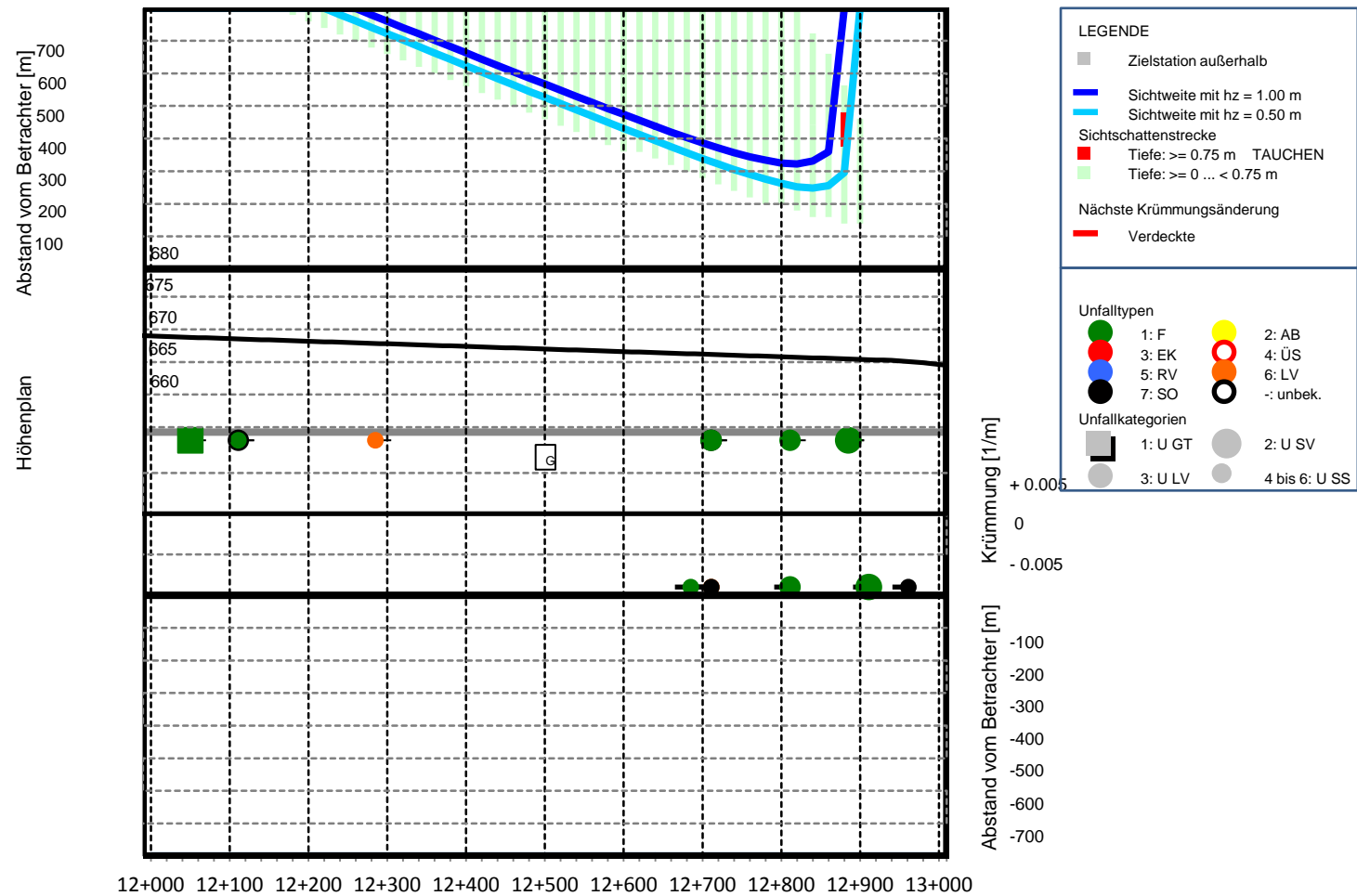
Anlage: Sichtschattenband A9, Station 08+000 bis 09+000, T Auge: 6.5 m, Defizite gemäß H ViSt



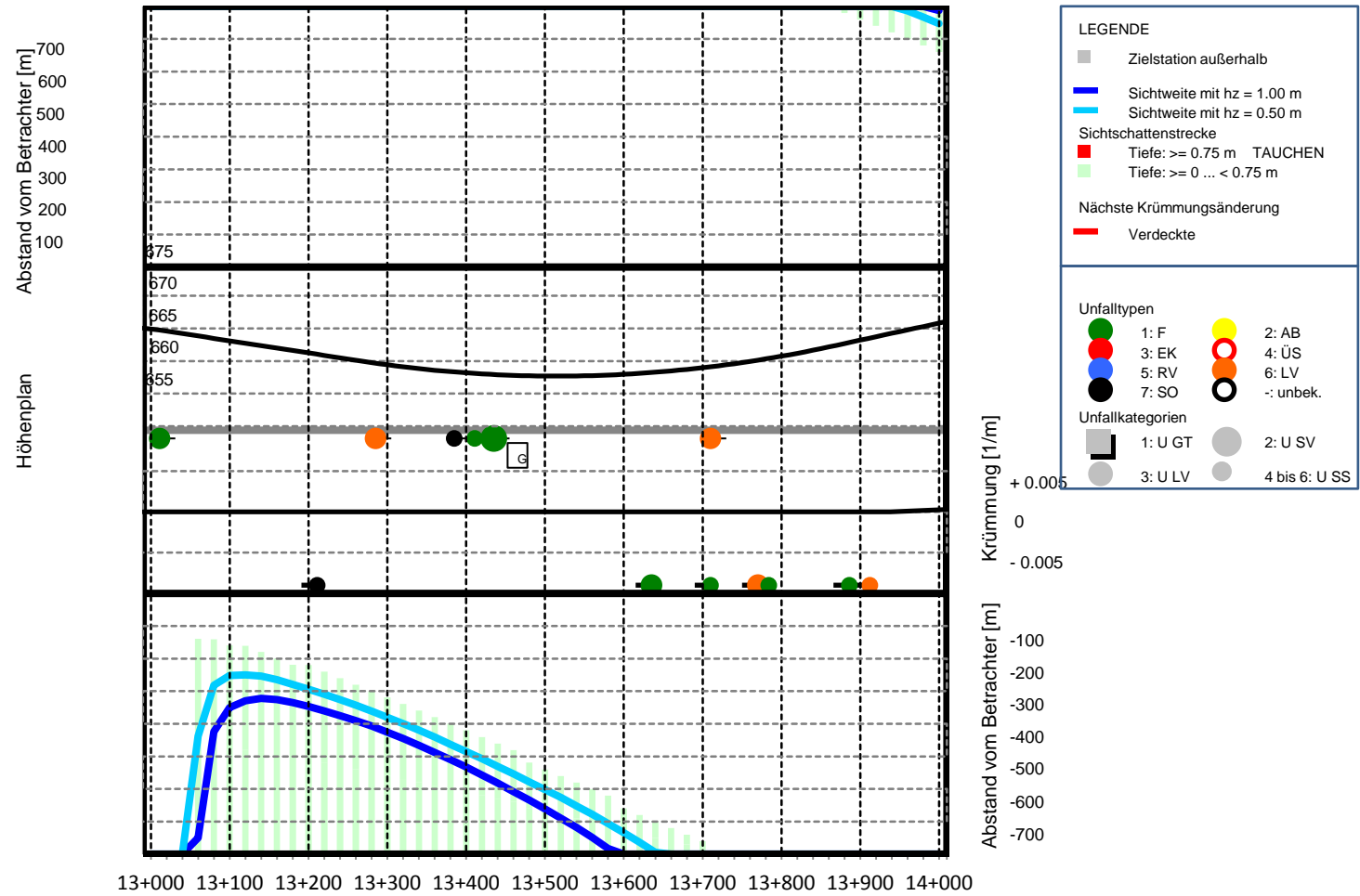
Anlage: Sichtschattenband A9, Station 10+000 bis 11+000, T Auge: 6.5 m, Defizite gemäß H ViSt



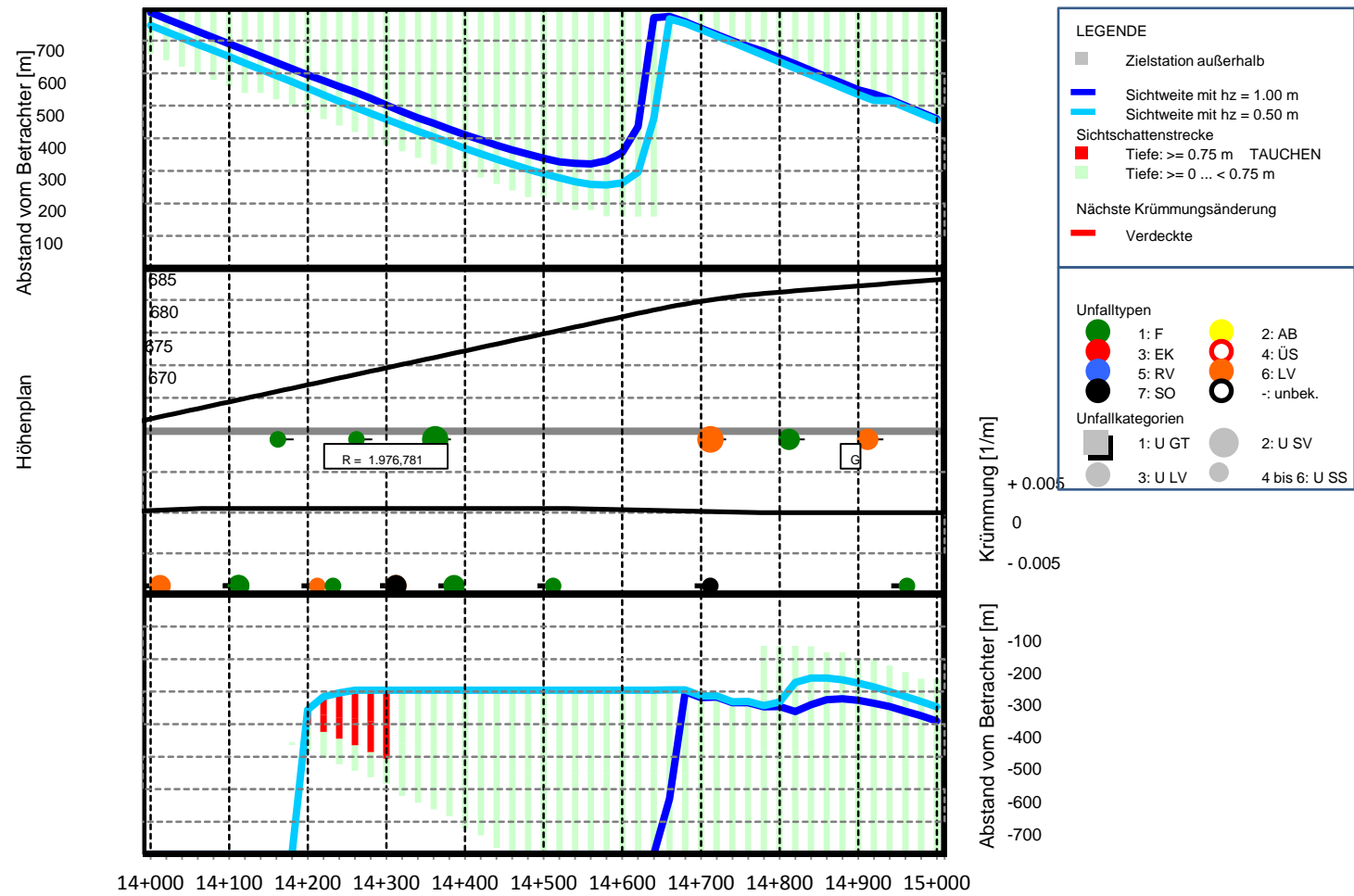
Anlage: Sichtschattenband A9, Station 11+000 bis 12+000, T Auge: 6.5 m, Defizite gemäß H ViSt



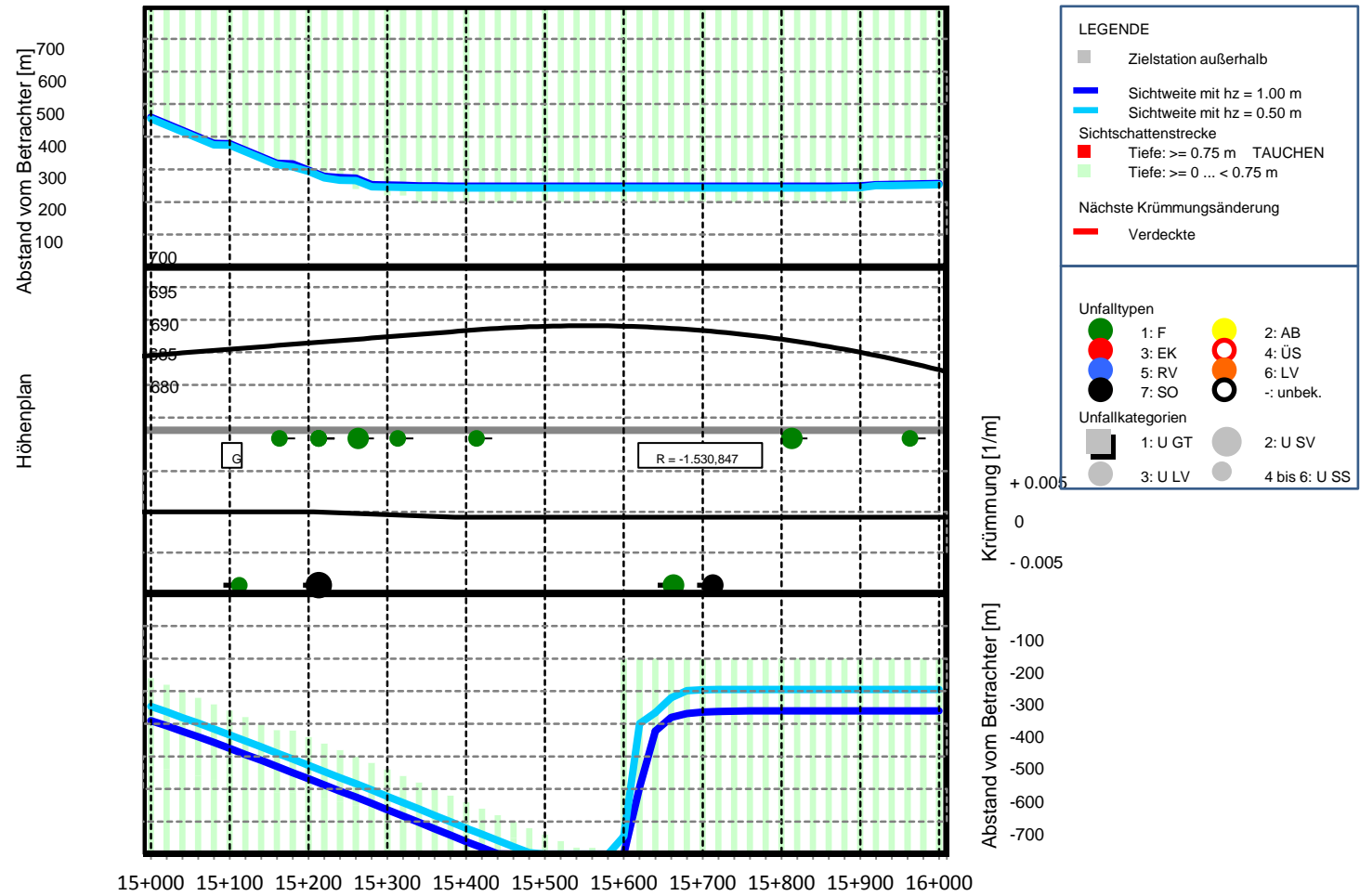
Anlage: Sichtschattenband A9, Station 12+000 bis 13+000, T Auge: 6.5 m, Defizite gemäß H ViSt



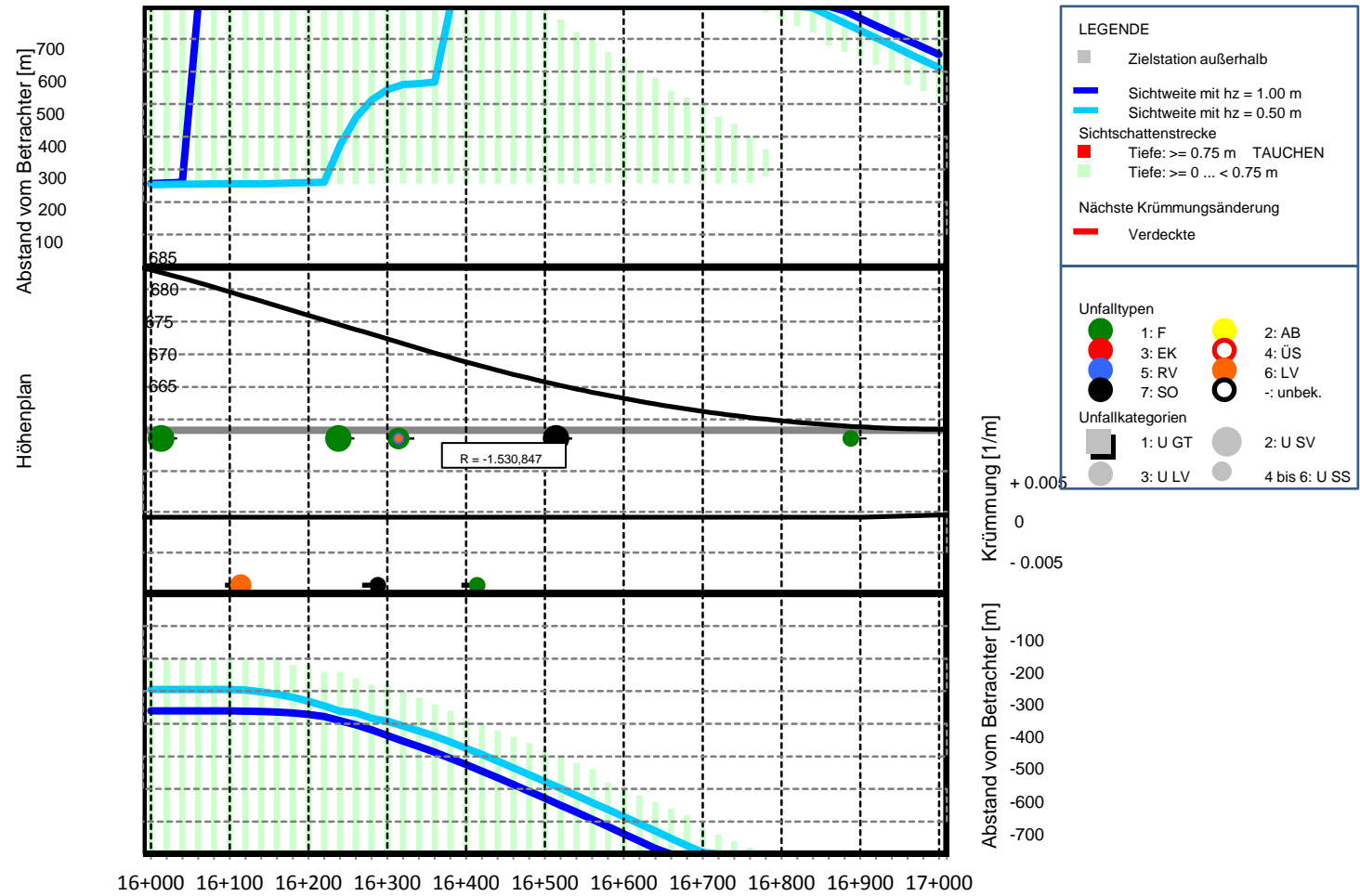
Anlage: Sichtschattenband A9, Station 13+000 bis 14+000, T Auge: 6.5 m, Defizite gemäß H ViSt



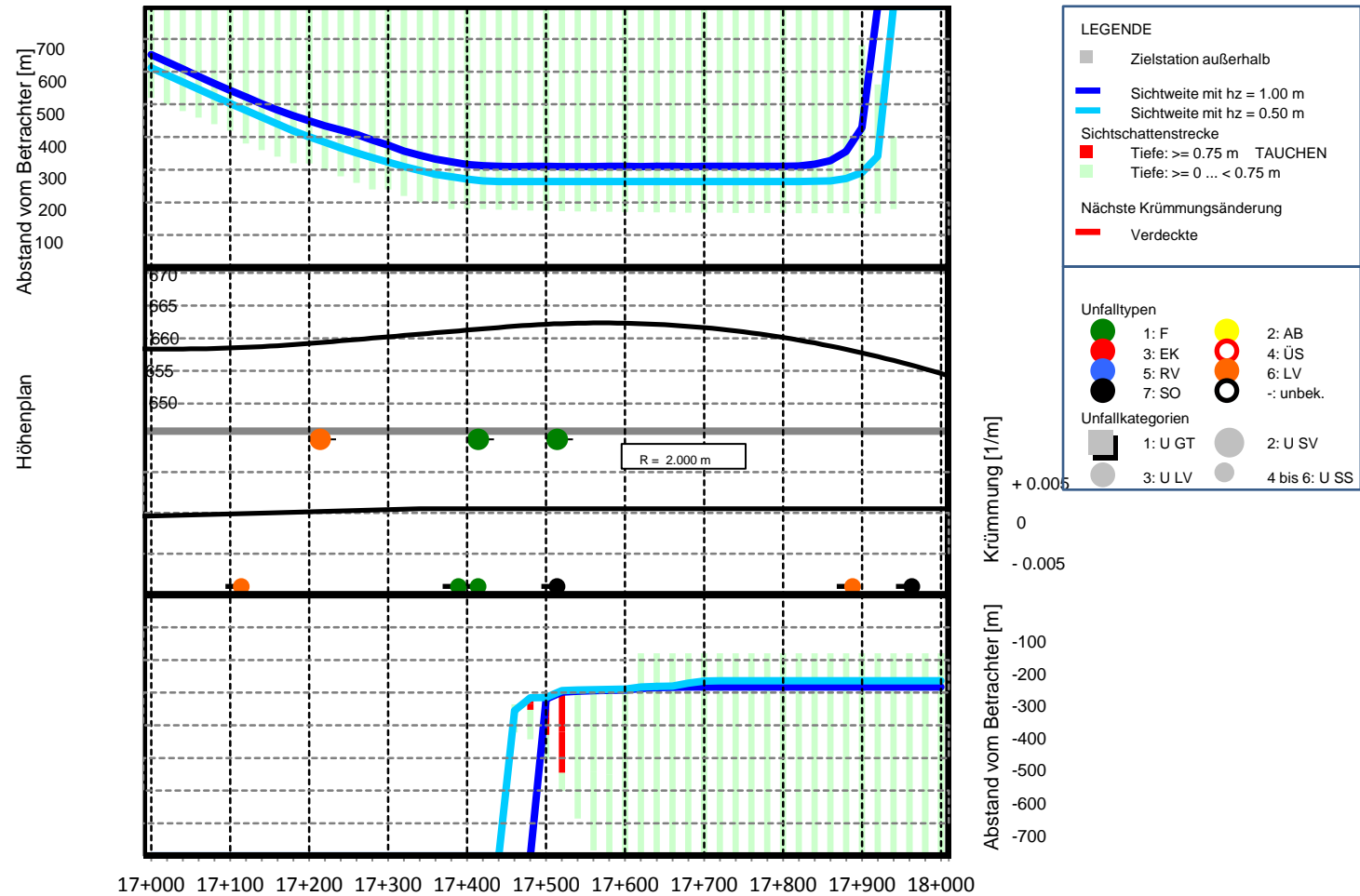
Anlage: Sichtschattenband A9, Station 14+000 bis 15+000, T Auge: 6.5 m, Defizite gemäß H ViSt



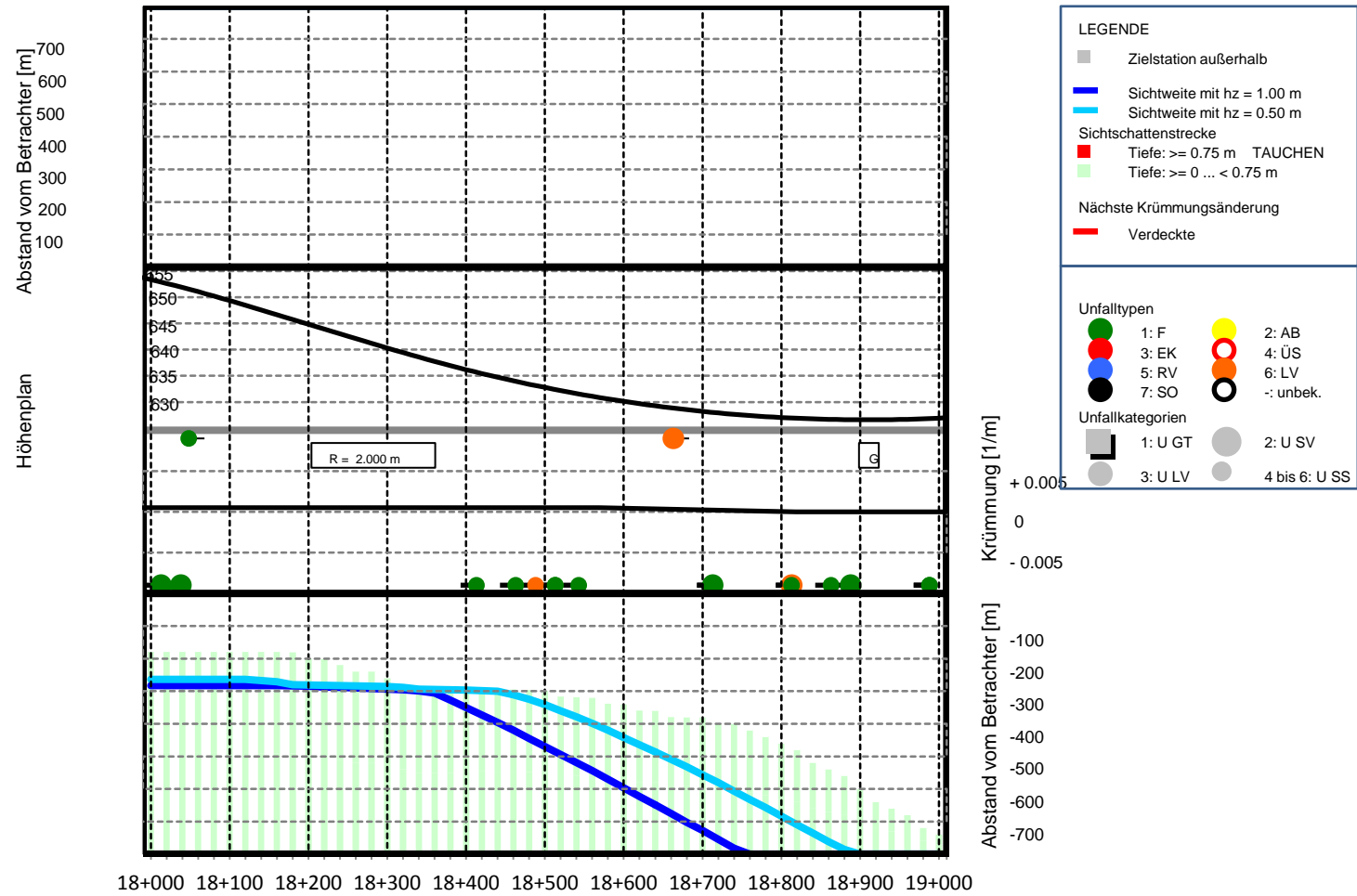
Anlage: Sichtschattenband A9, Station 15+000 bis 16+000, T Auge: 6.5 m, Defizite gemäß H ViSt



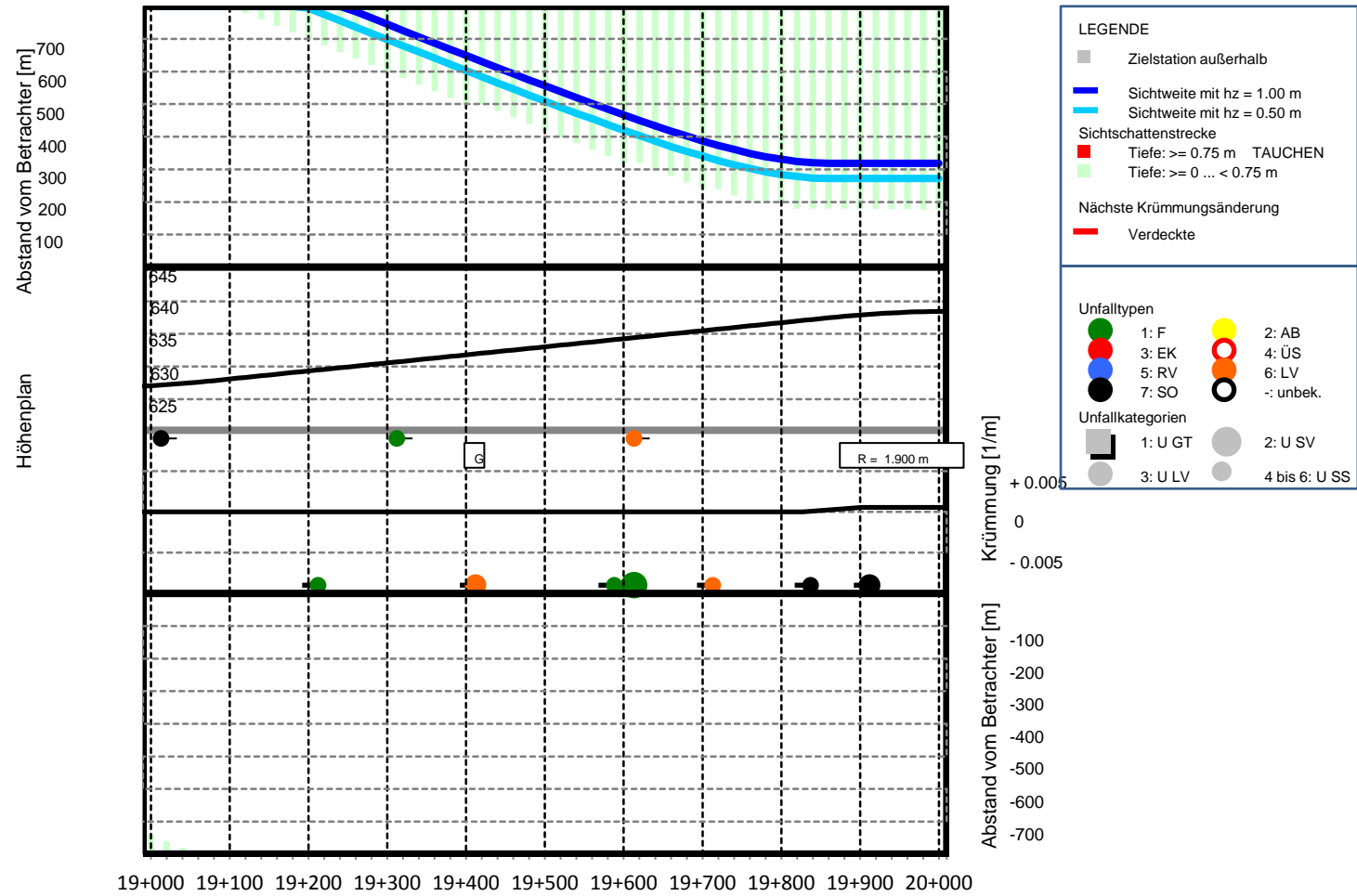
Anlage: Sichtschattenband A9, Station 16+000 bis 17+000, T Auge: 6.5 m, Defizite gemäß H ViSt



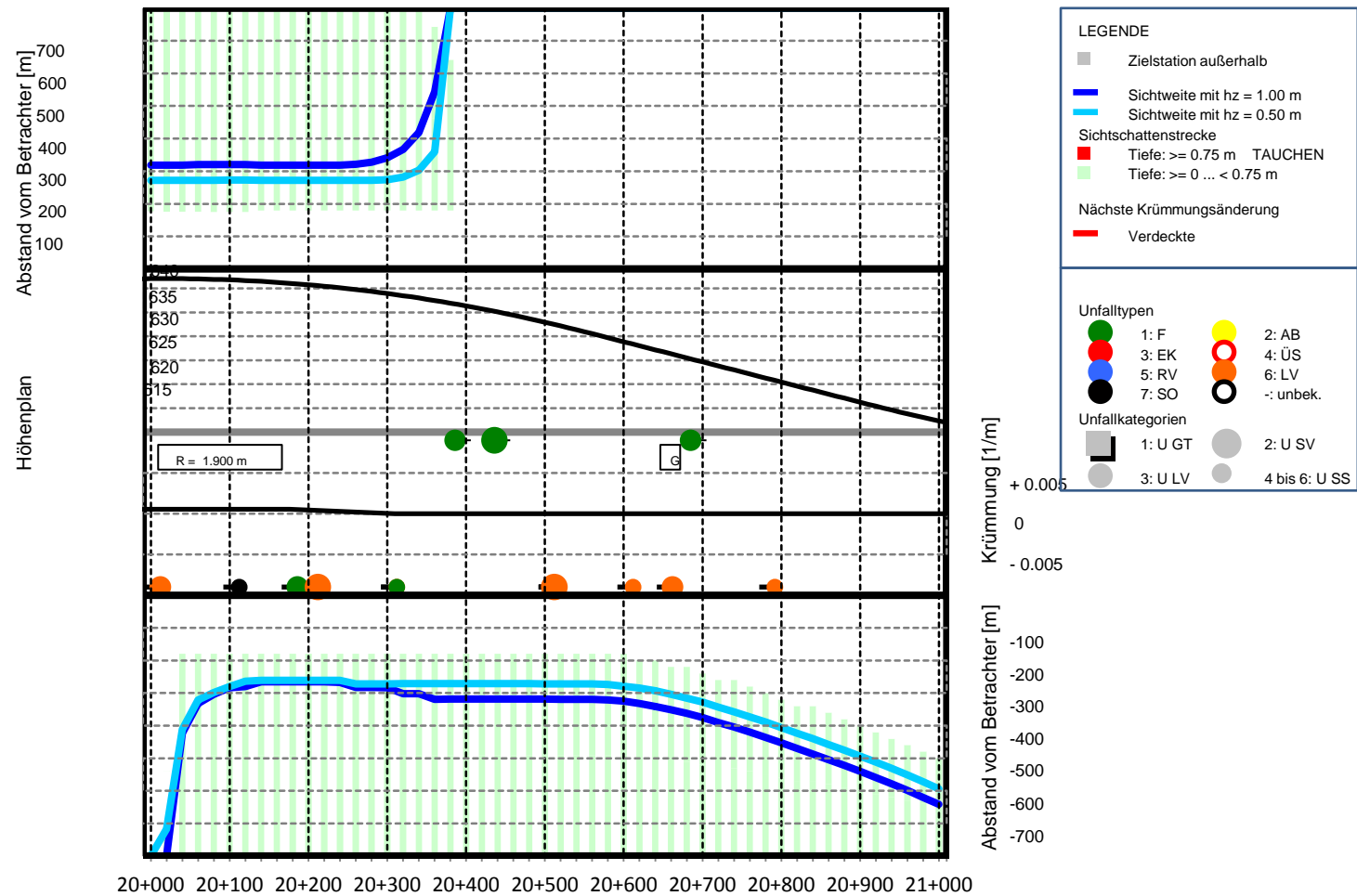
Anlage: Sichtschattenband A9, Station 17+000 bis 18+000, T Auge: 6.5 m, Defizite gemäß H ViSt



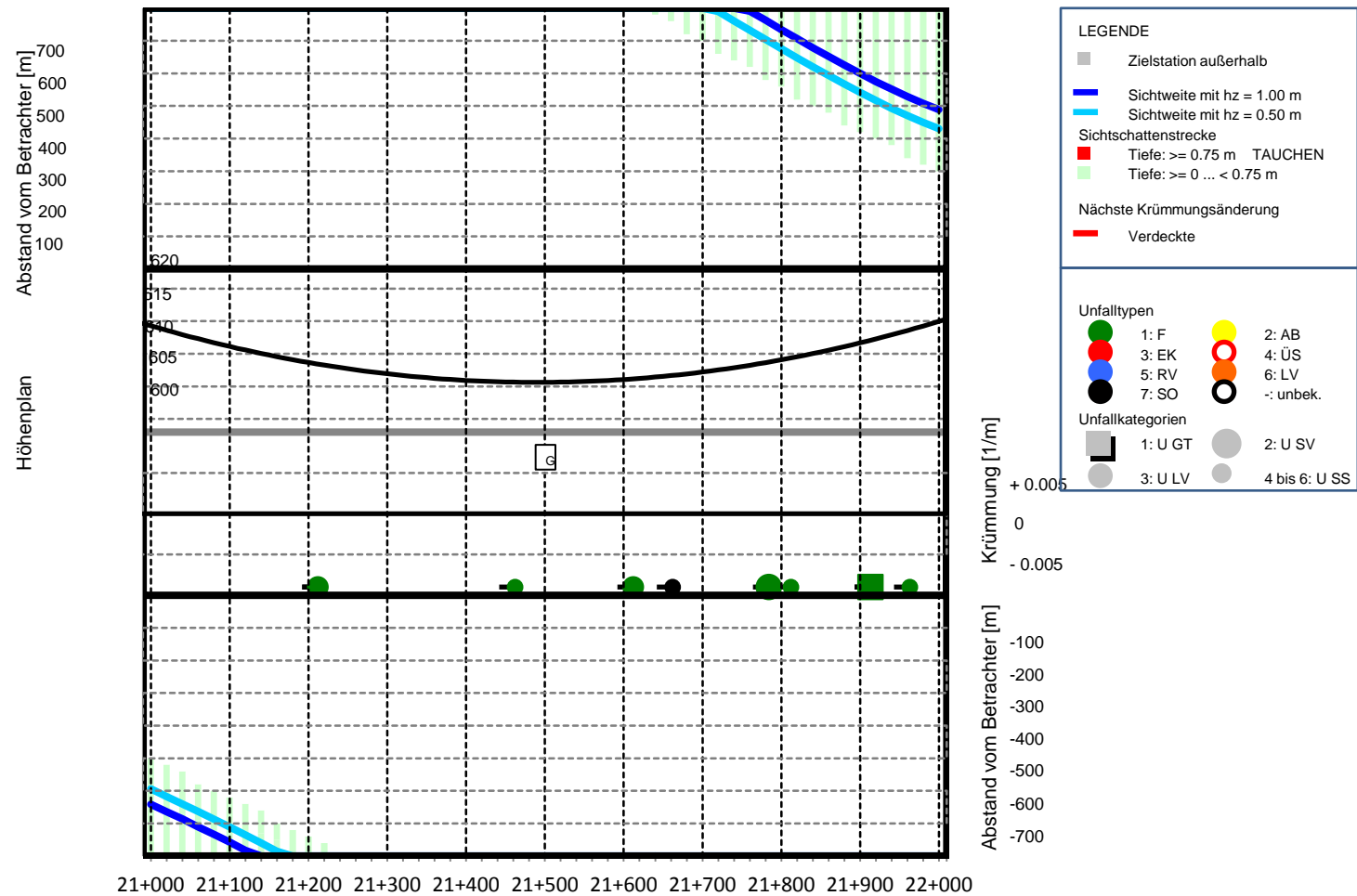
Anlage: Sichtschattenband A9, Station 18+000 bis 19+000, T Auge: 6.5 m, Defizite gemäß H ViSt



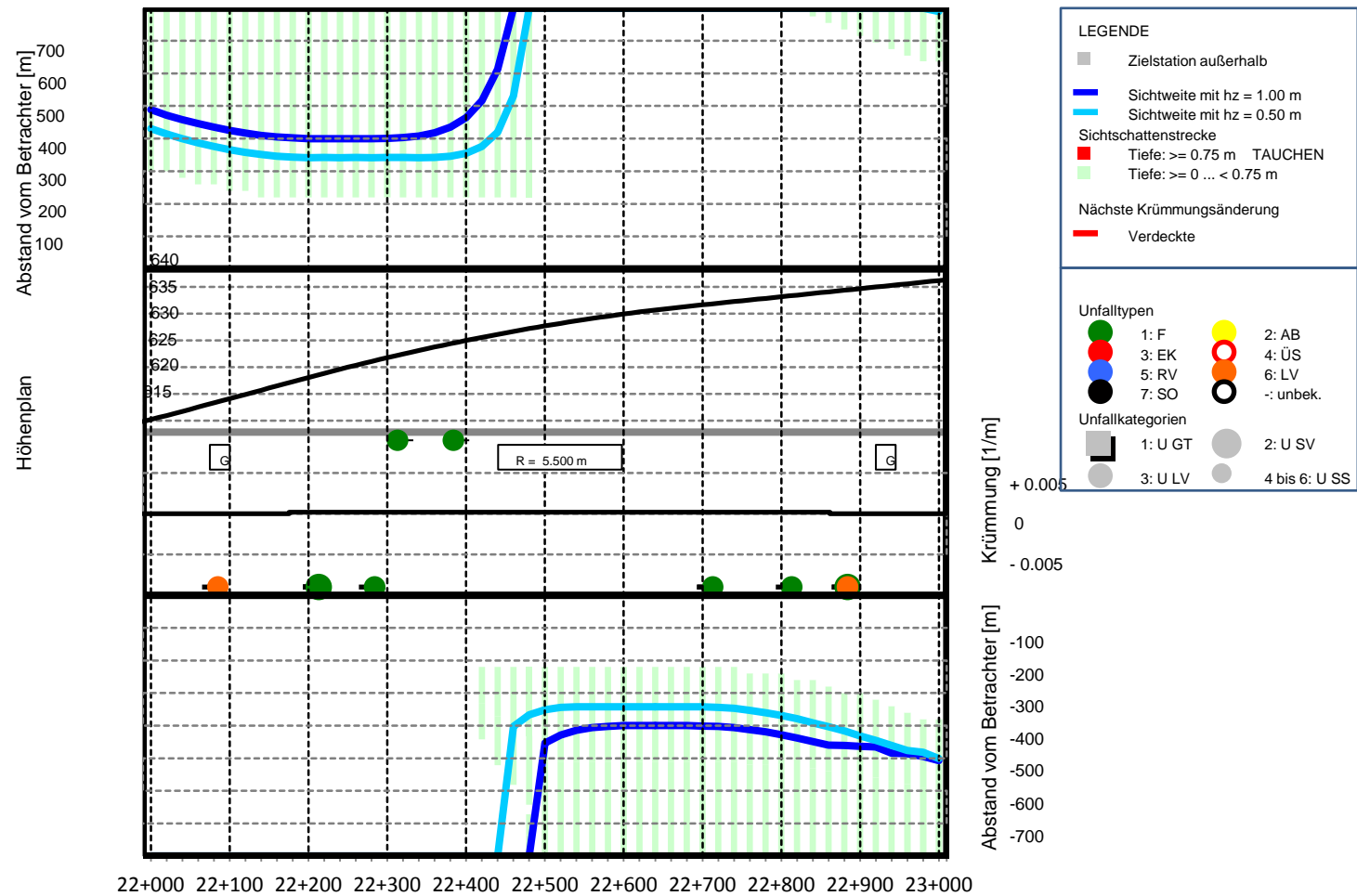
Anlage: Sichtschattenband A9, Station 19+000 bis 20+000, T Auge: 6.5 m, Defizite gemäß H ViSt



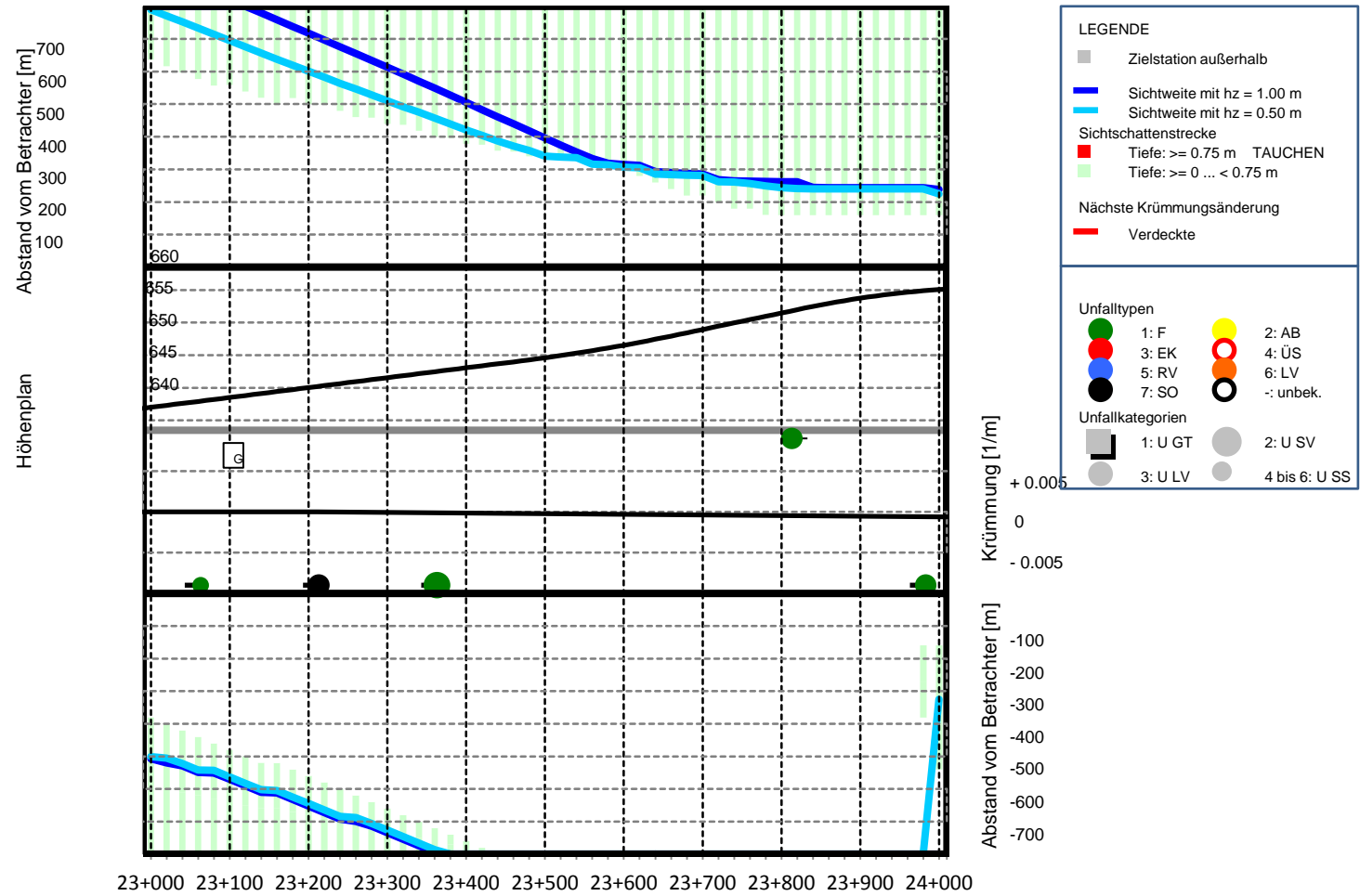
Anlage: Sichtschattenband A9, Station 20+000 bis 21+000, T Auge: 6.5 m, Defizite gemäß H ViSt



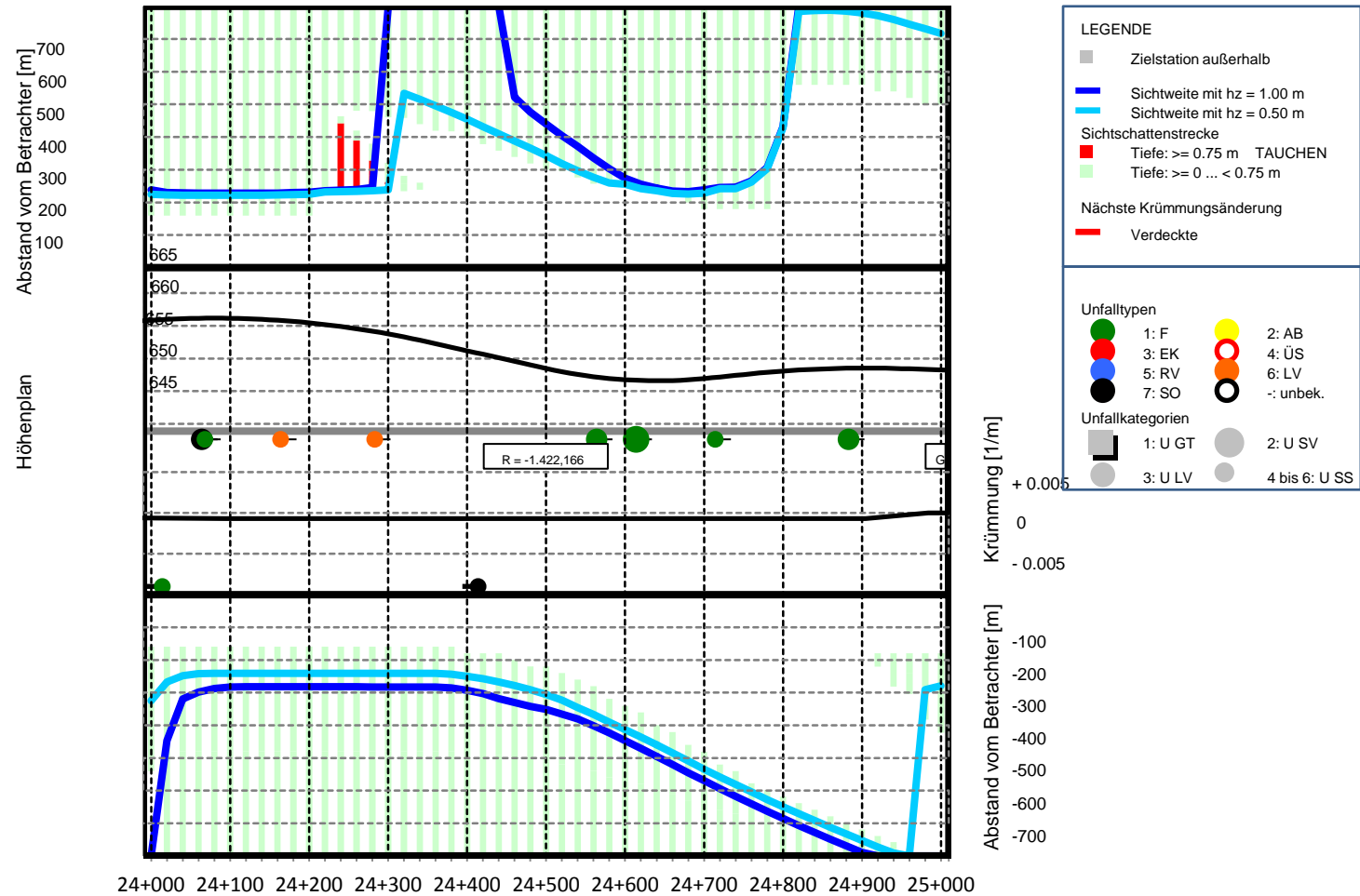
Anlage: Sichtschattenband A9, Station 21+000 bis 22+000, T Auge: 6.5 m, Defizite gemäß H ViSt



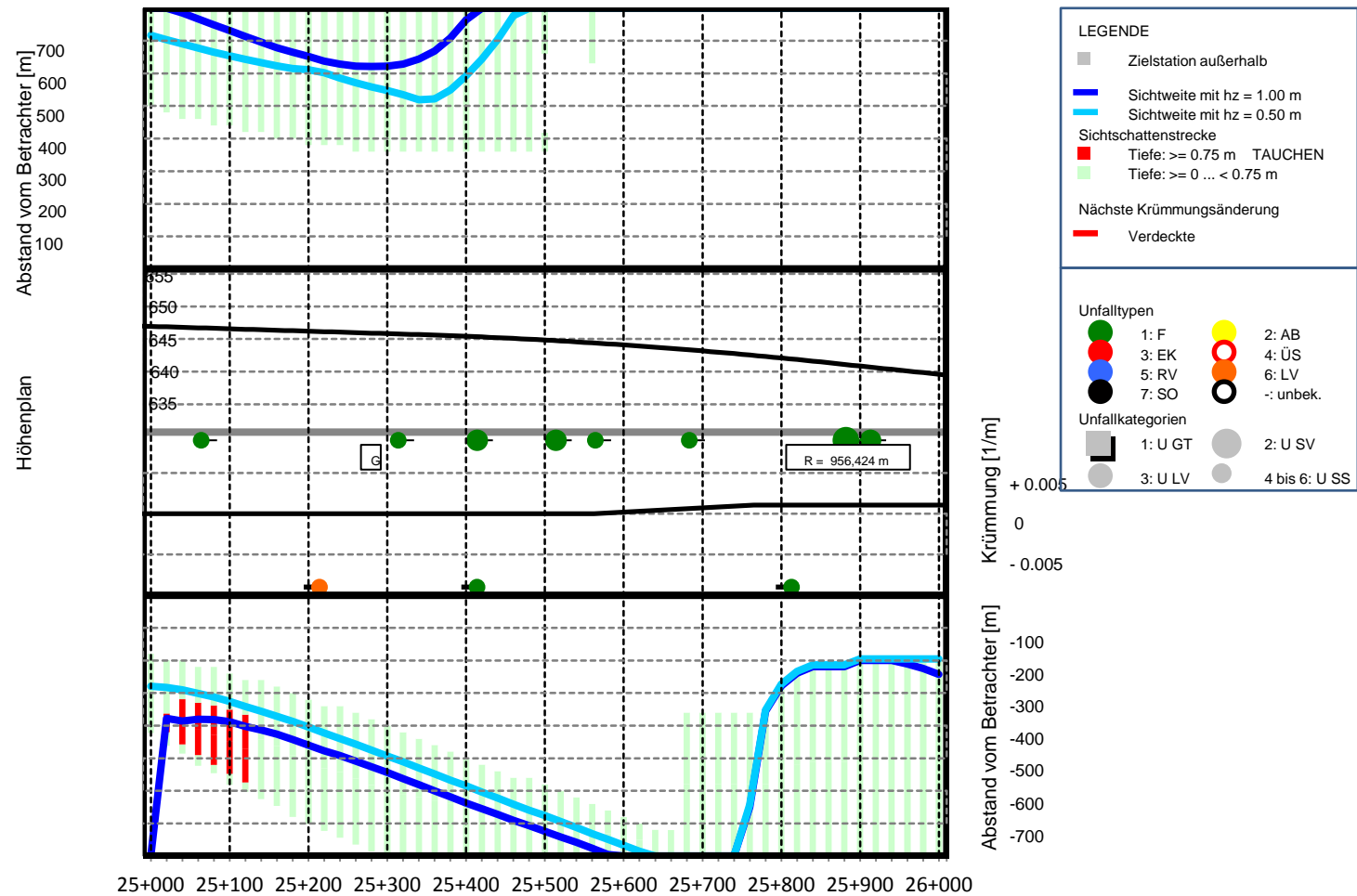
Anlage: Sichtschattenband A9, Station 22+000 bis 23+000, T Auge: 6.5 m, Defizite gemäß H ViSt



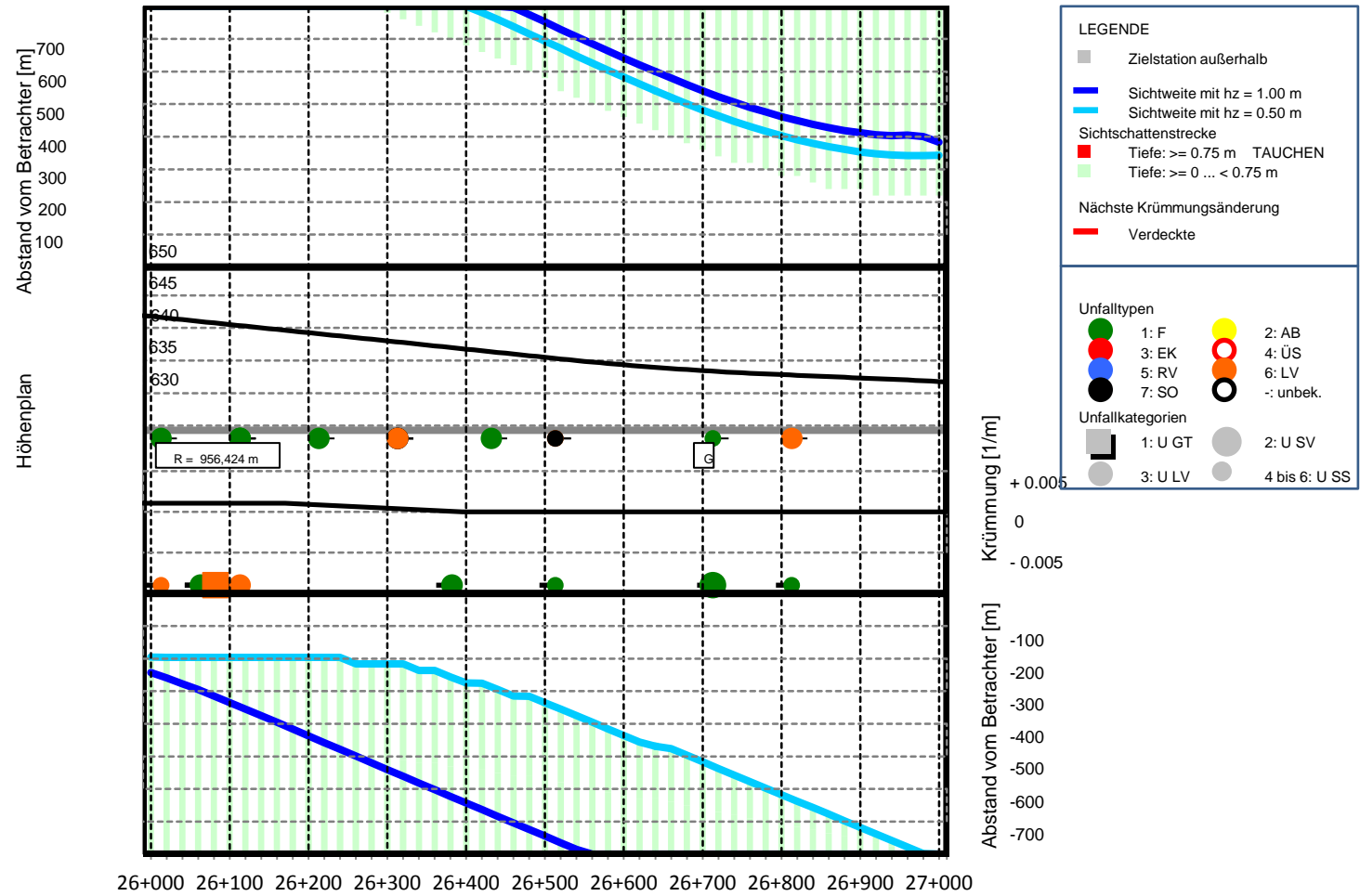
Anlage: Sichtschattenband A9, Station 23+000 bis 24+000, T Auge: 6.5 m, Defizite gemäß H ViSt



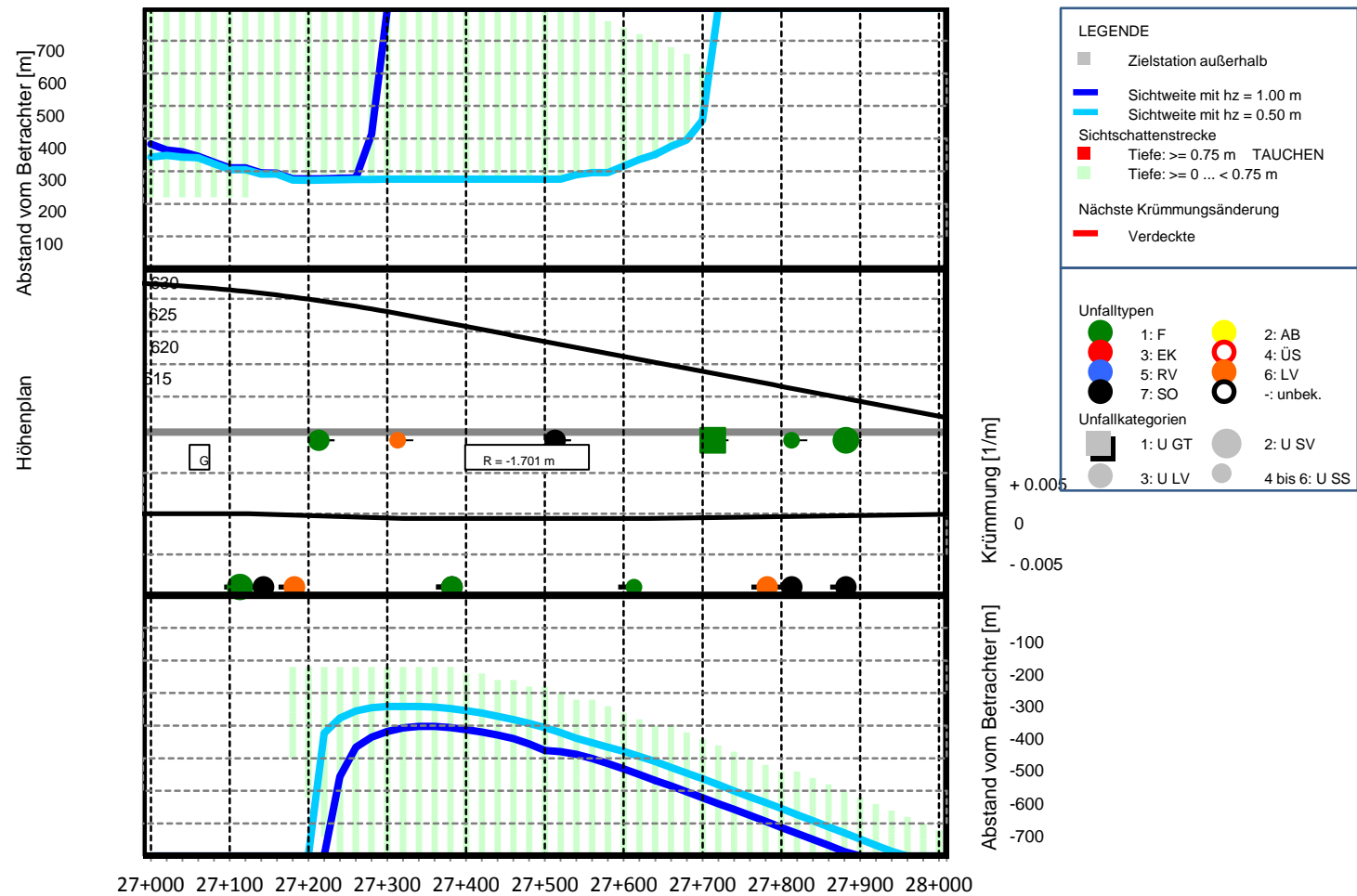
Anlage: Sichtschattenband A9, Station 24+000 bis 25+000, T Auge: 6.5 m, Defizite gemäß H ViSt



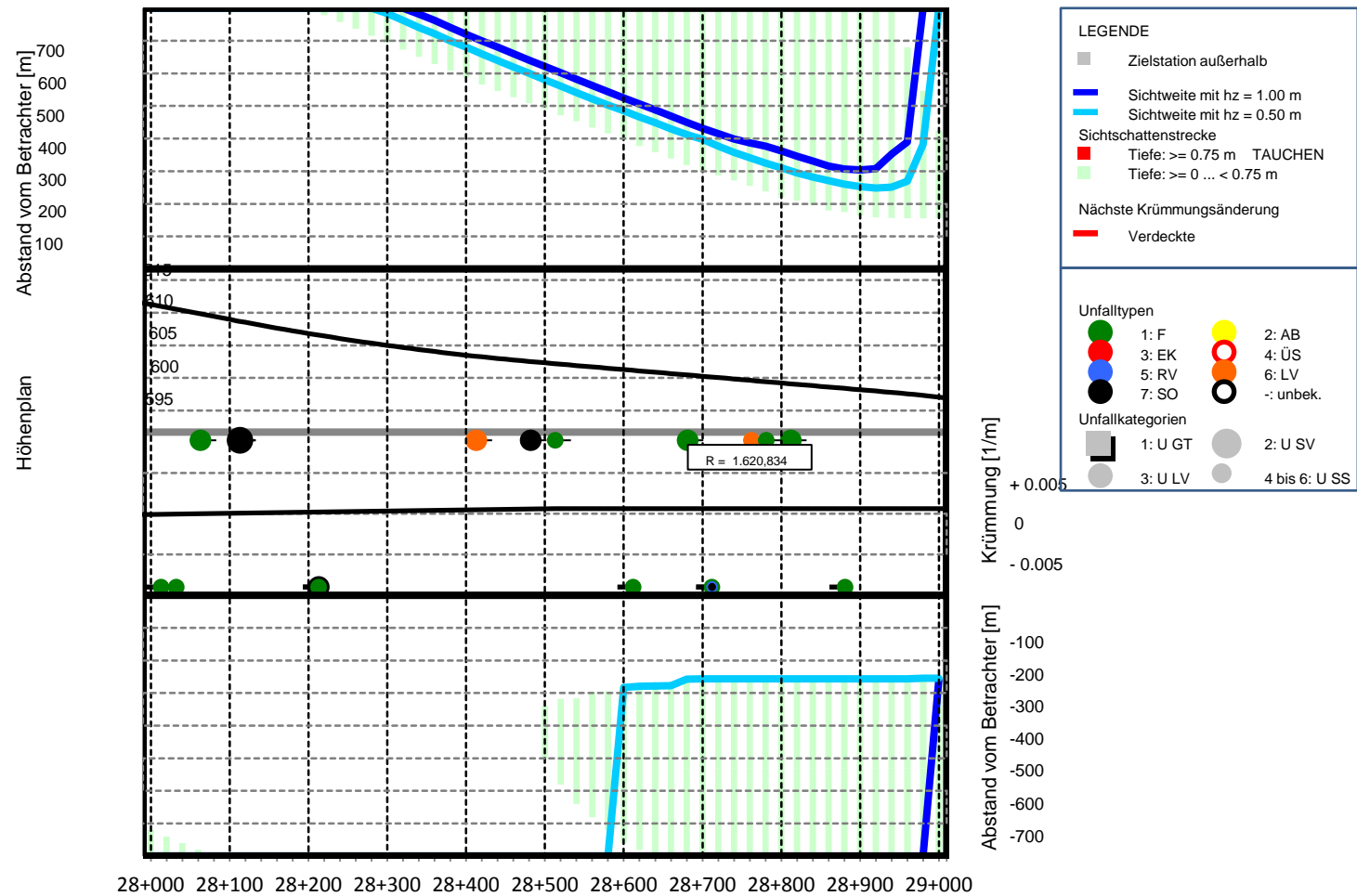
Anlage: Sichtschattenband A9, Station 25+000 bis 26+000, T Auge: 6.5 m, Defizite gemäß H ViSt



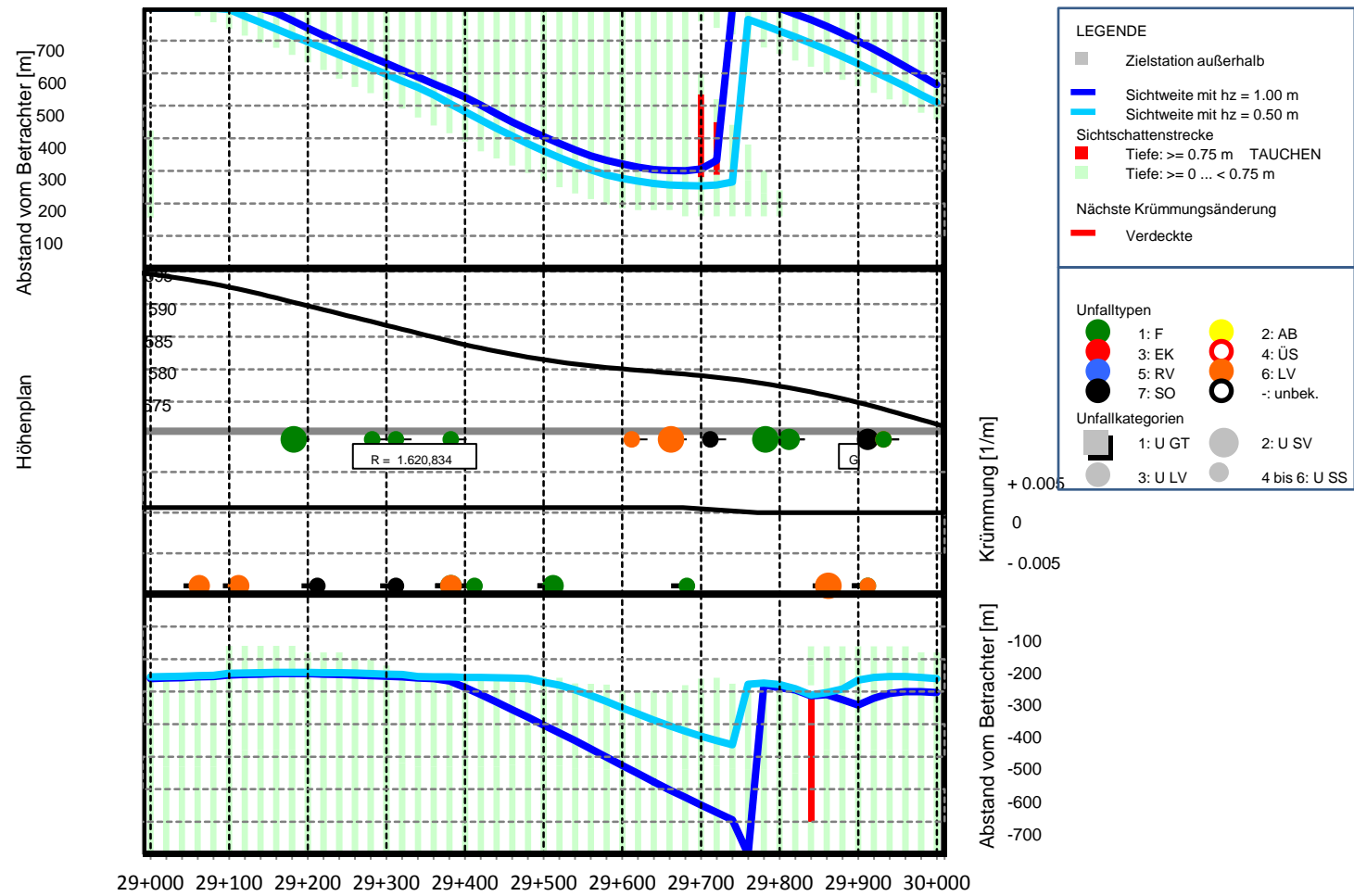
Anlage: Sichtschattenband A9, Station 26+000 bis 27+000, T Auge: 6.5 m, Defizite gemäß H ViSt



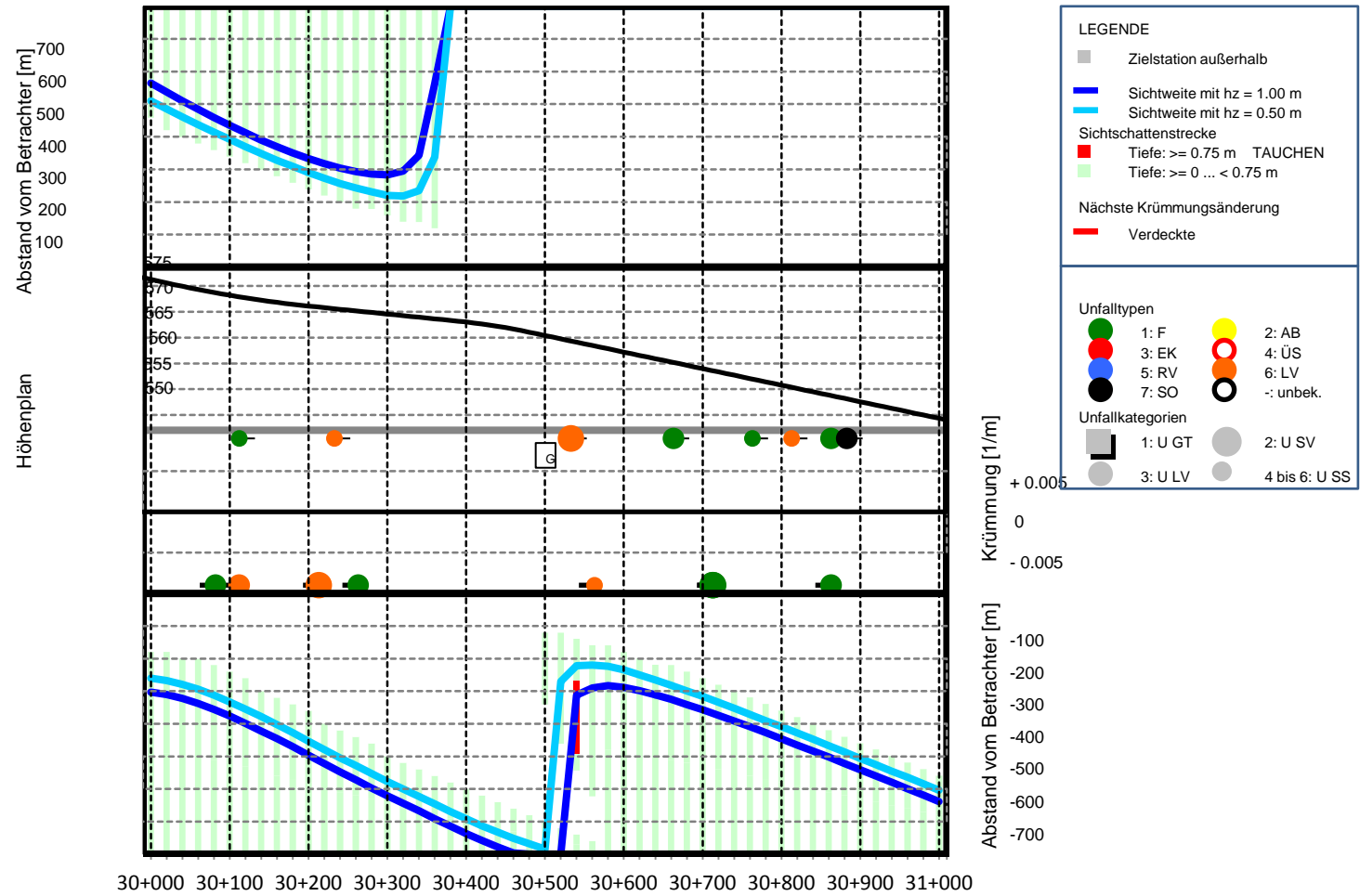
Anlage: Sichtschattenband A9, Station 27+000 bis 28+000, T Auge: 6.5 m, Defizite gemäß H ViSt



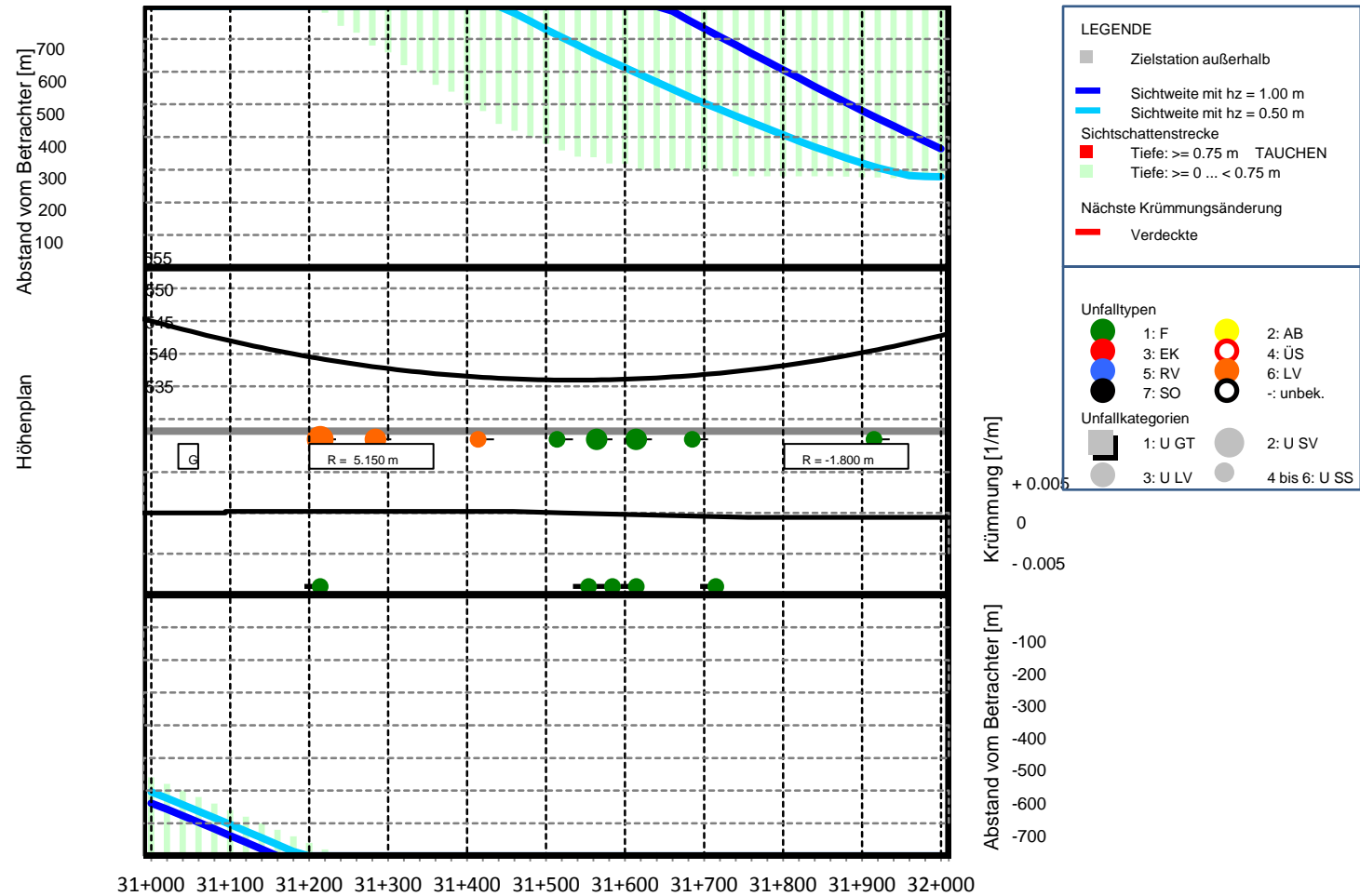
Anlage: Sichtschattenband A9, Station 28+000 bis 29+000, T Auge: 6.5 m, Defizite gemäß H ViSt



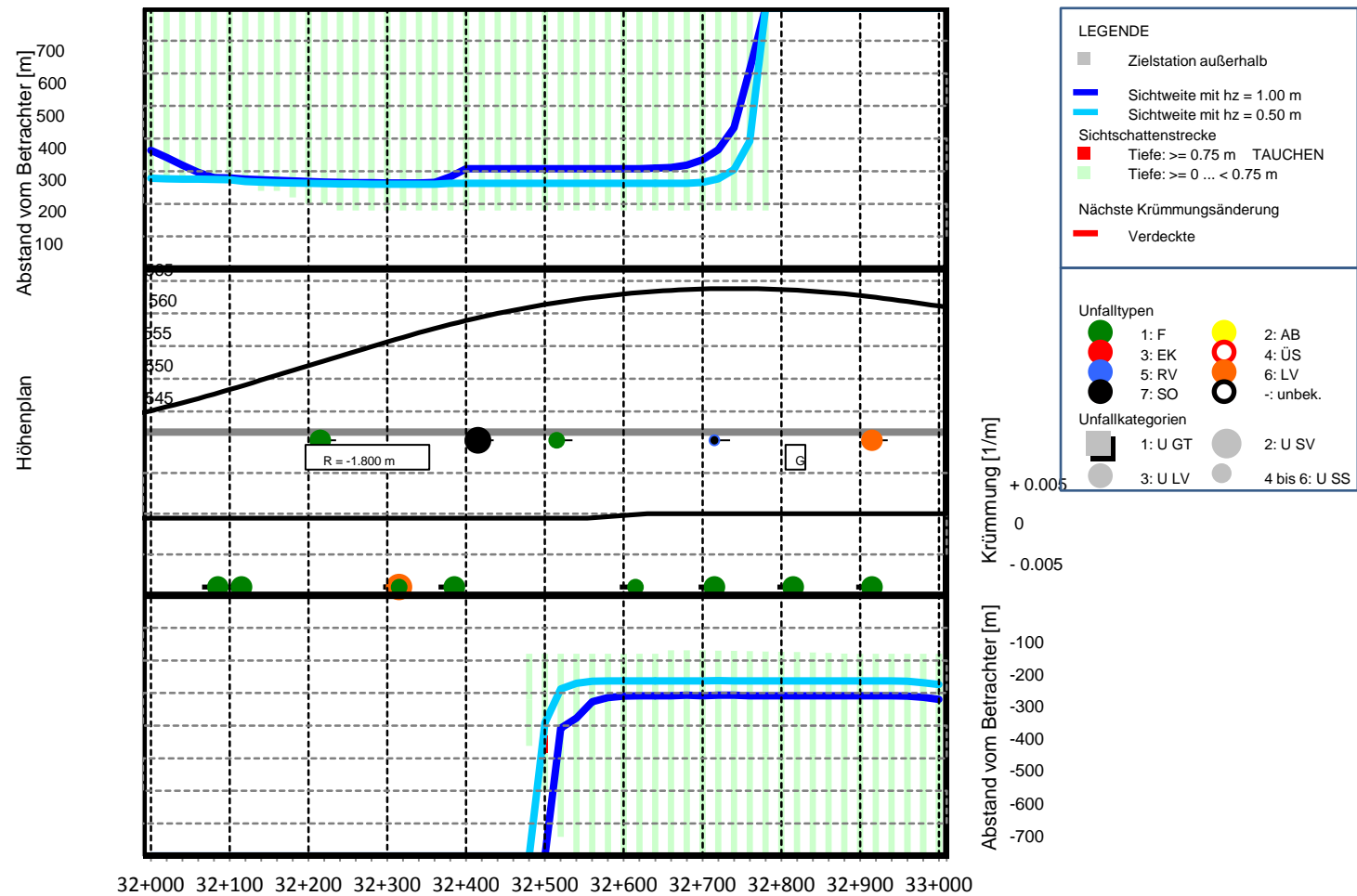
Anlage: Sichtschattenband A9, Station 29+000 bis 30+000, T Auge: 6.5 m, Defizite gemäß H ViSt



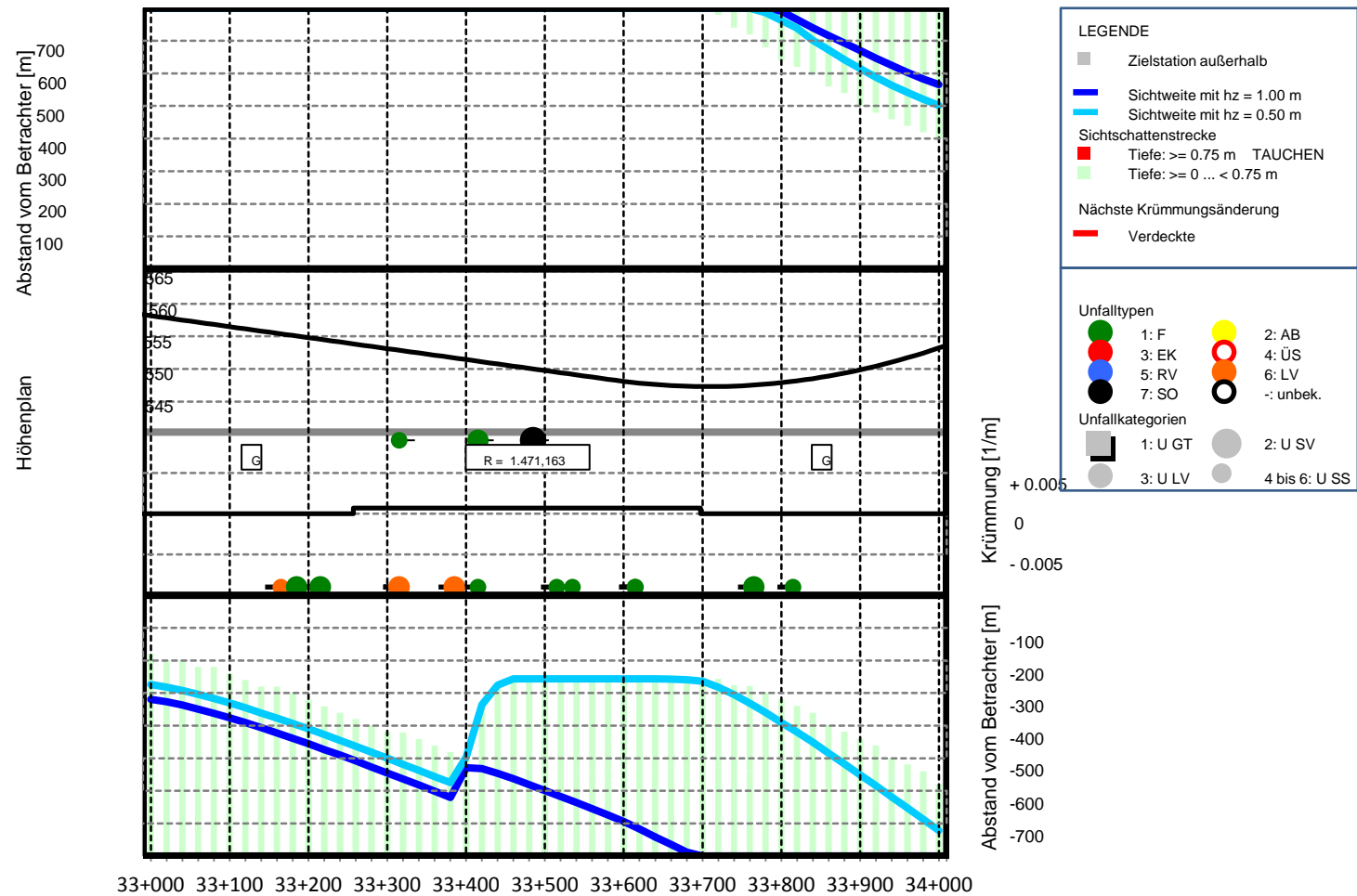
Anlage: Sichtschattenband A9, Station 30+000 bis 31+000, T Auge: 6.5 m, Defizite gemäß H ViSt



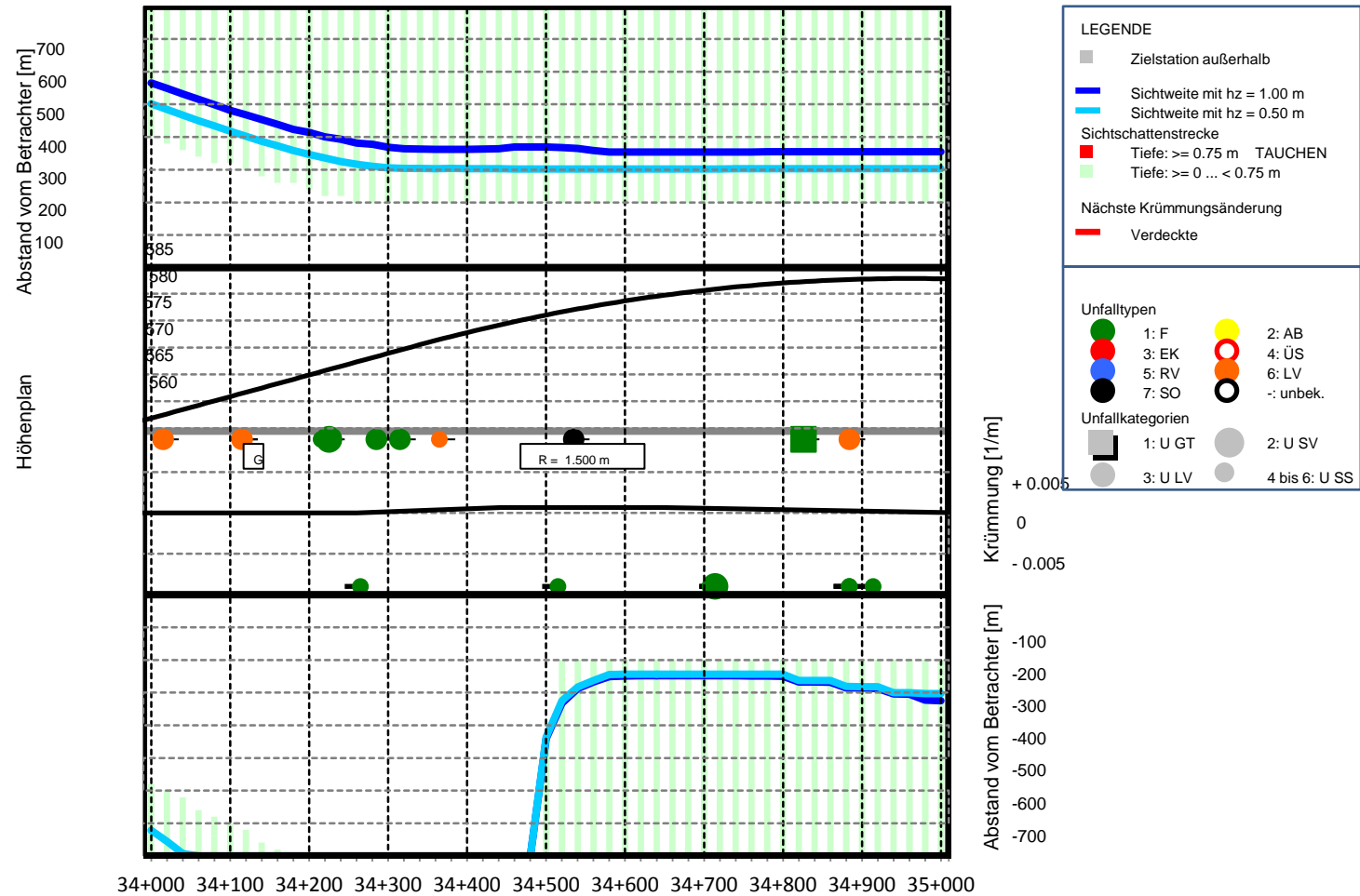
Anlage: Sichtschattenband A9, Station 31+000 bis 32+000, T Auge: 6.5 m, Defizite gemäß H ViSt



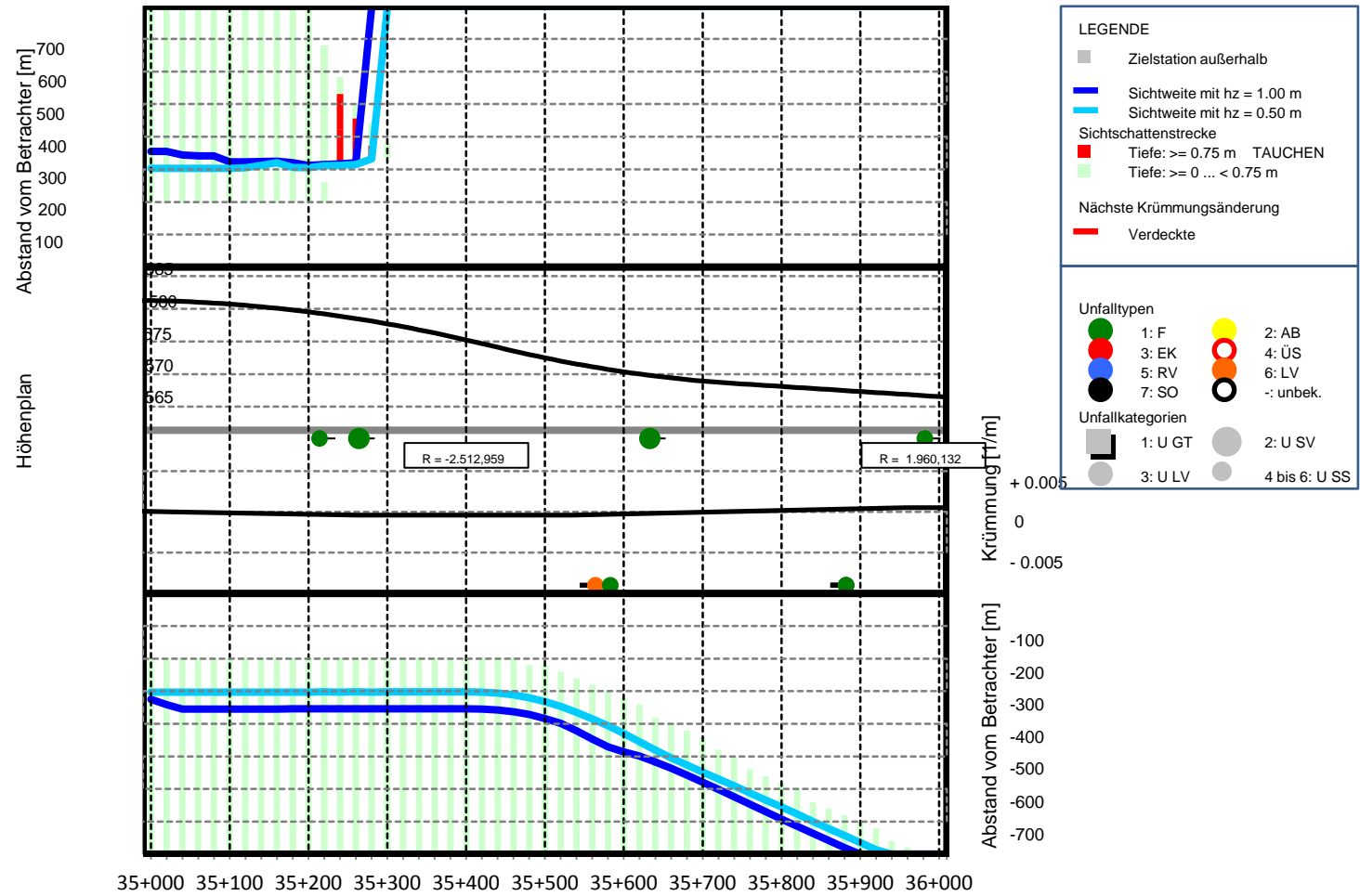
Anlage: Sichtschattenband A9, Station 32+000 bis 33+000, T Auge: 6.5 m, Defizite gemäß H ViSt



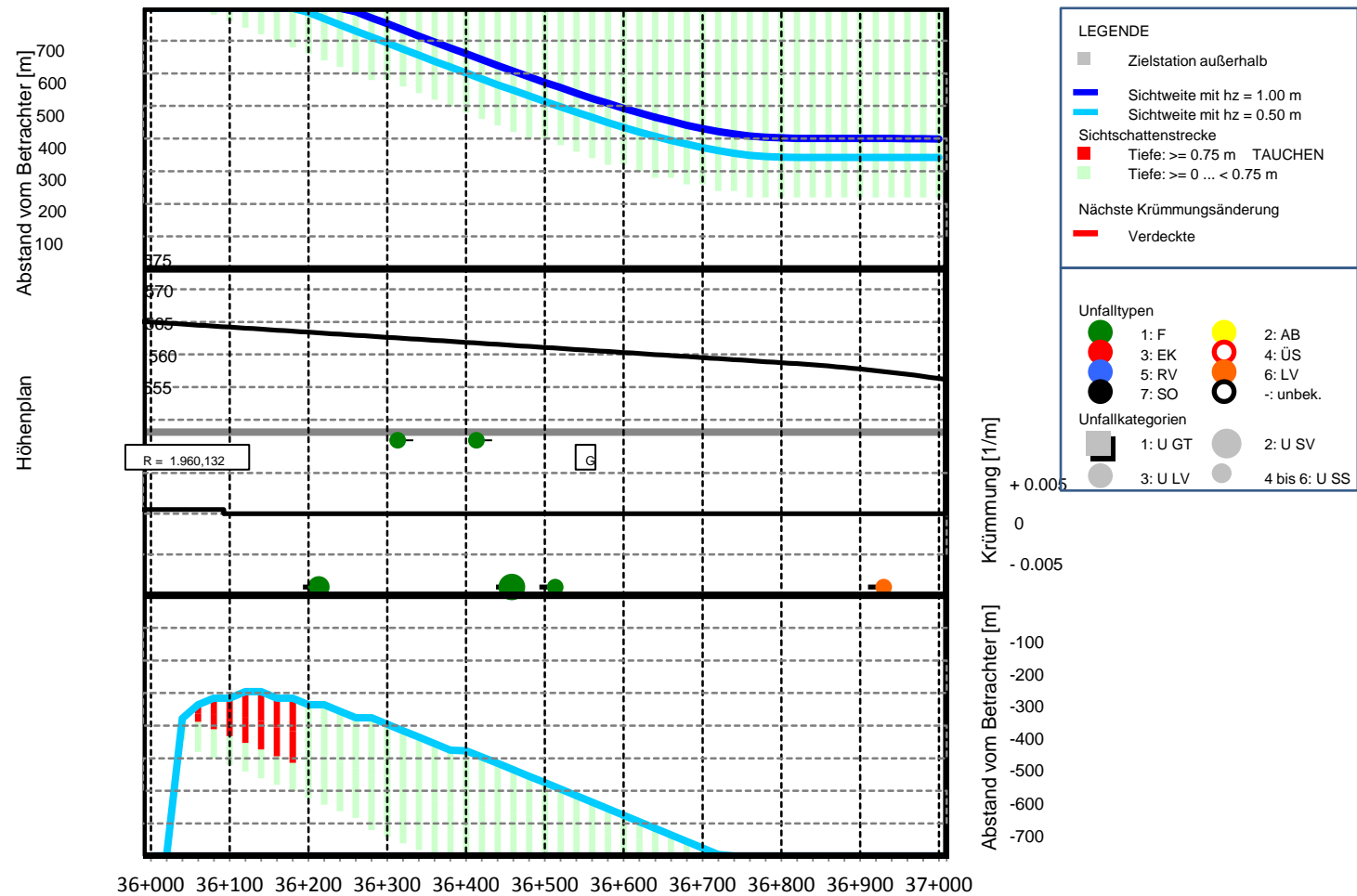
Anlage: Sichtschattenband A9, Station 33+000 bis 34+000, T Auge: 6.5 m, Defizite gemäß H ViSt



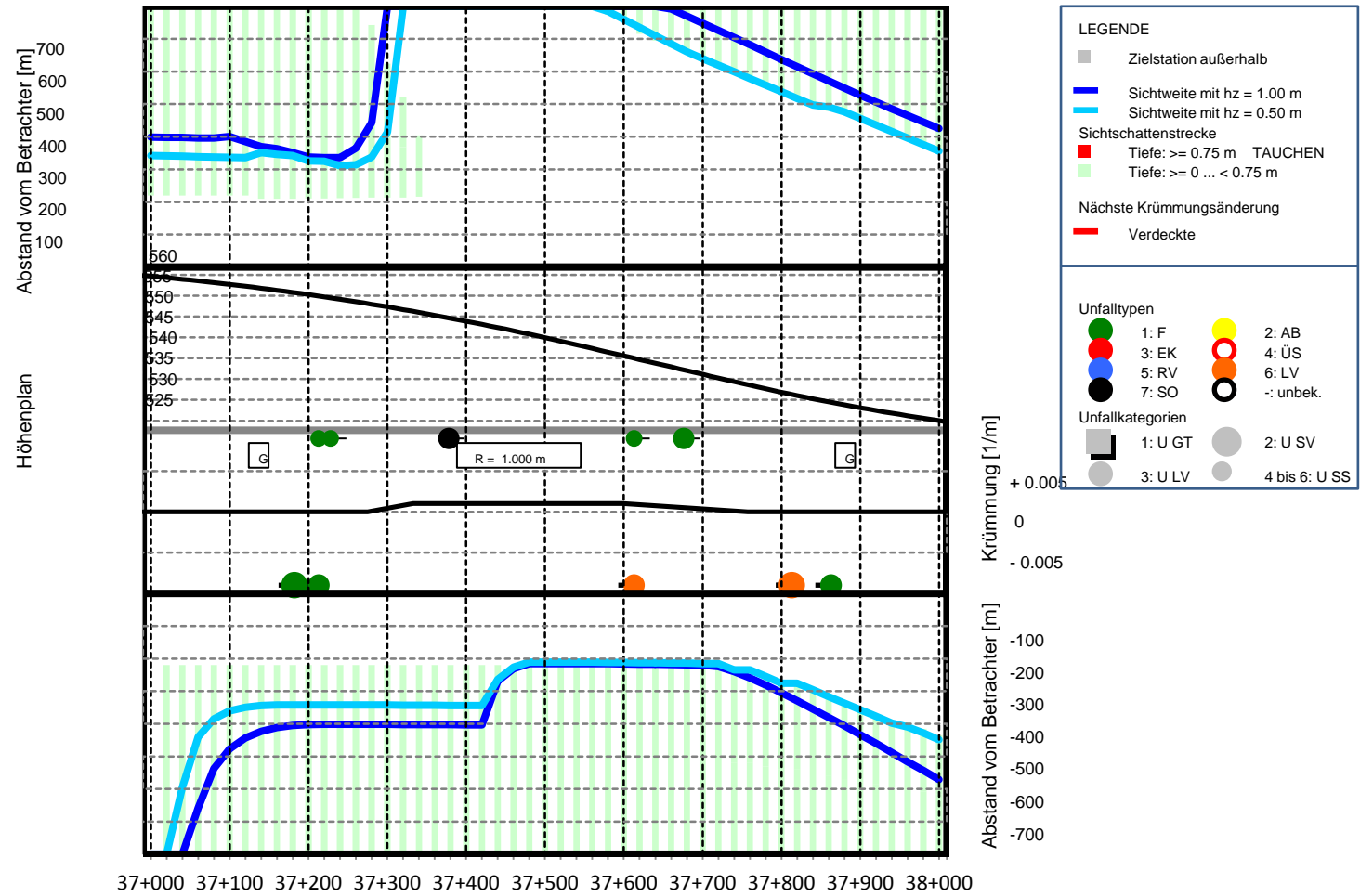
Anlage: Sichtschattenband A9, Station 34+000 bis 35+000, T Auge: 6.5 m, Defizite gemäß H ViSt



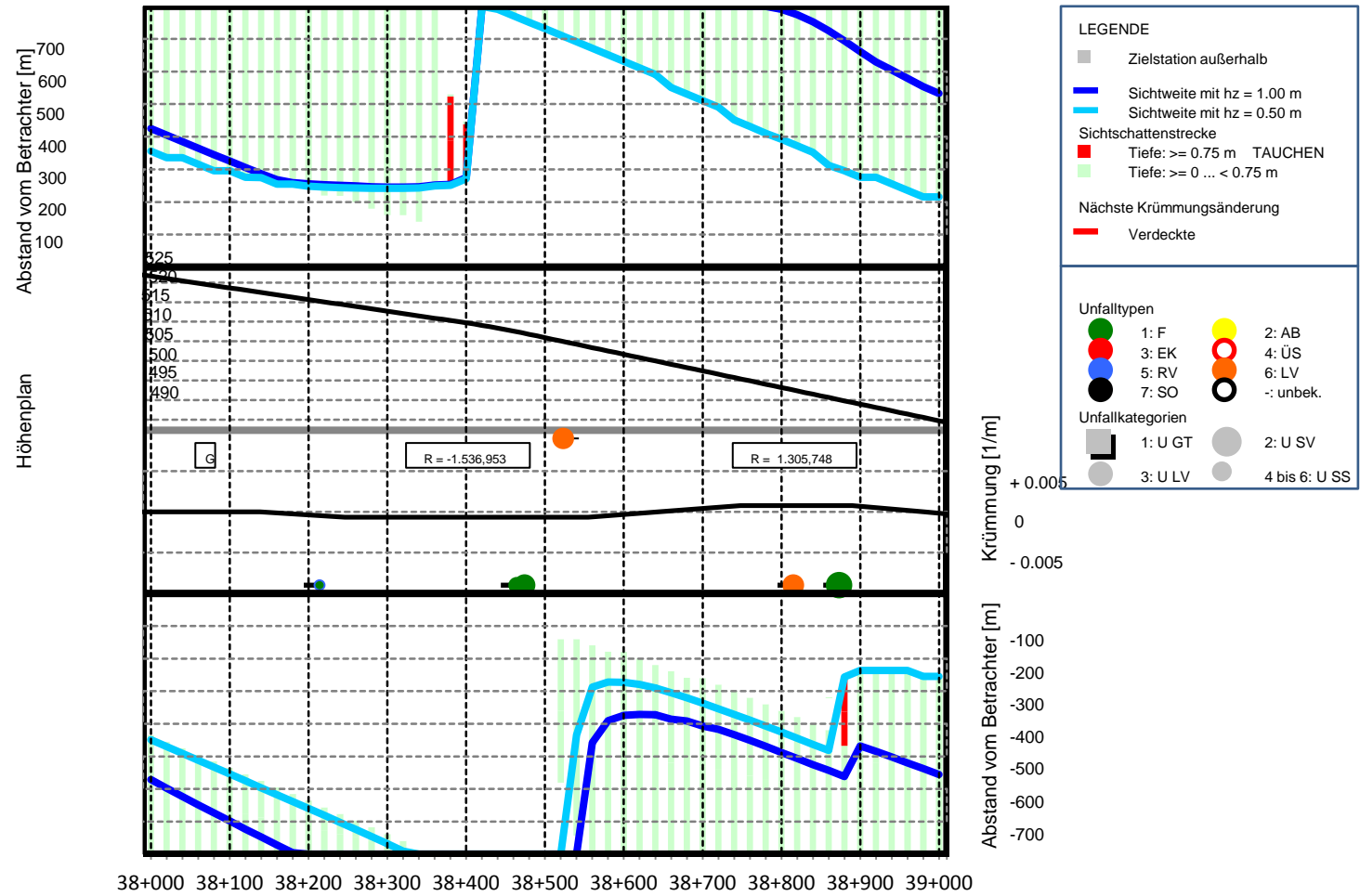
Anlage: Sichtschattenband A9, Station 35+000 bis 36+000, T Auge: 6.5 m, Defizite gemäß H ViSt



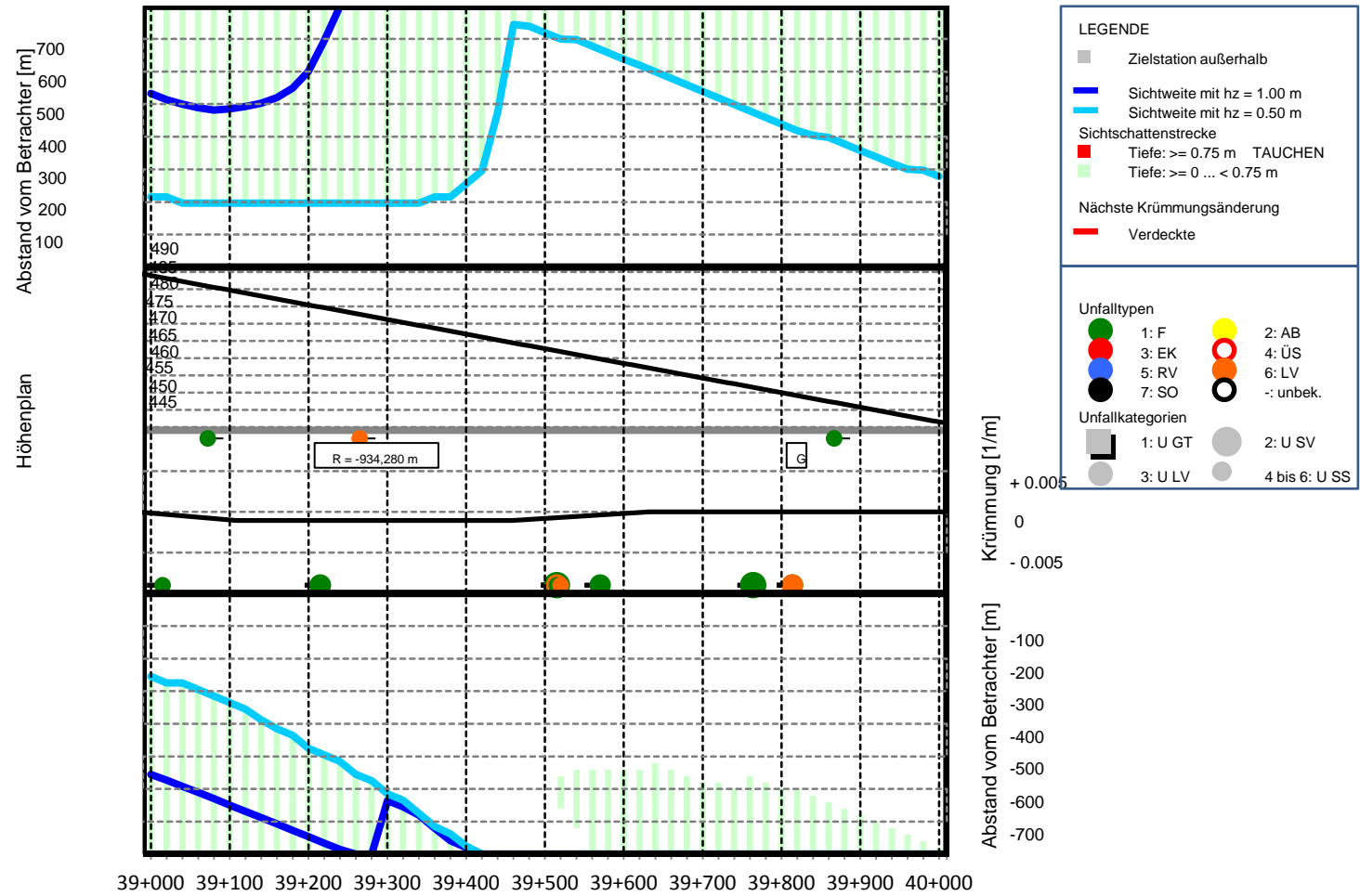
Anlage: Sichtschattenband A9, Station 36+000 bis 37+000, T Auge: 6.5 m, Defizite gemäß H ViSt



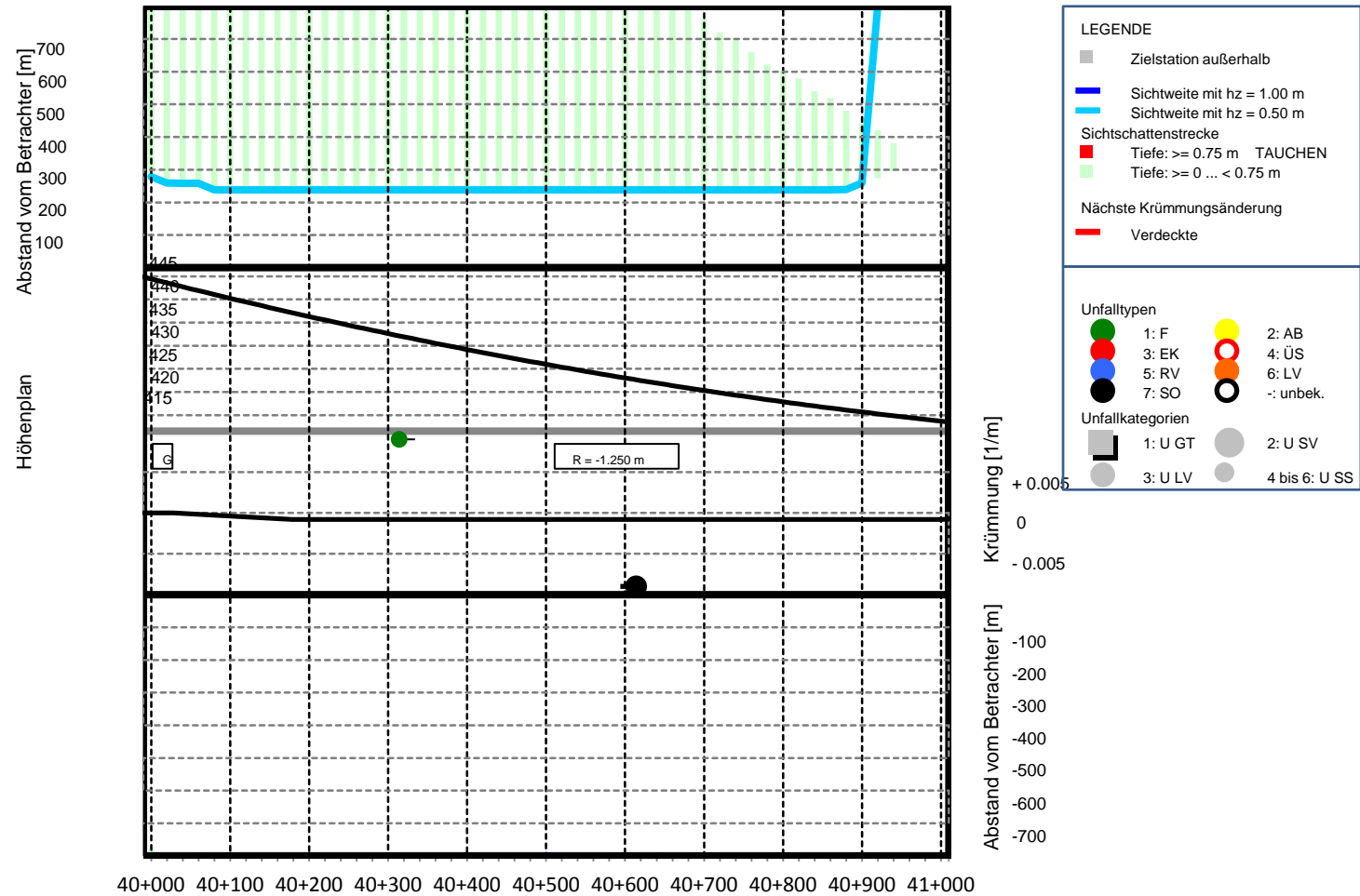
Anlage: Sichtschattenband A9, Station 37+000 bis 38+000, T Auge: 6.5 m, Defizite gemäß H ViSt



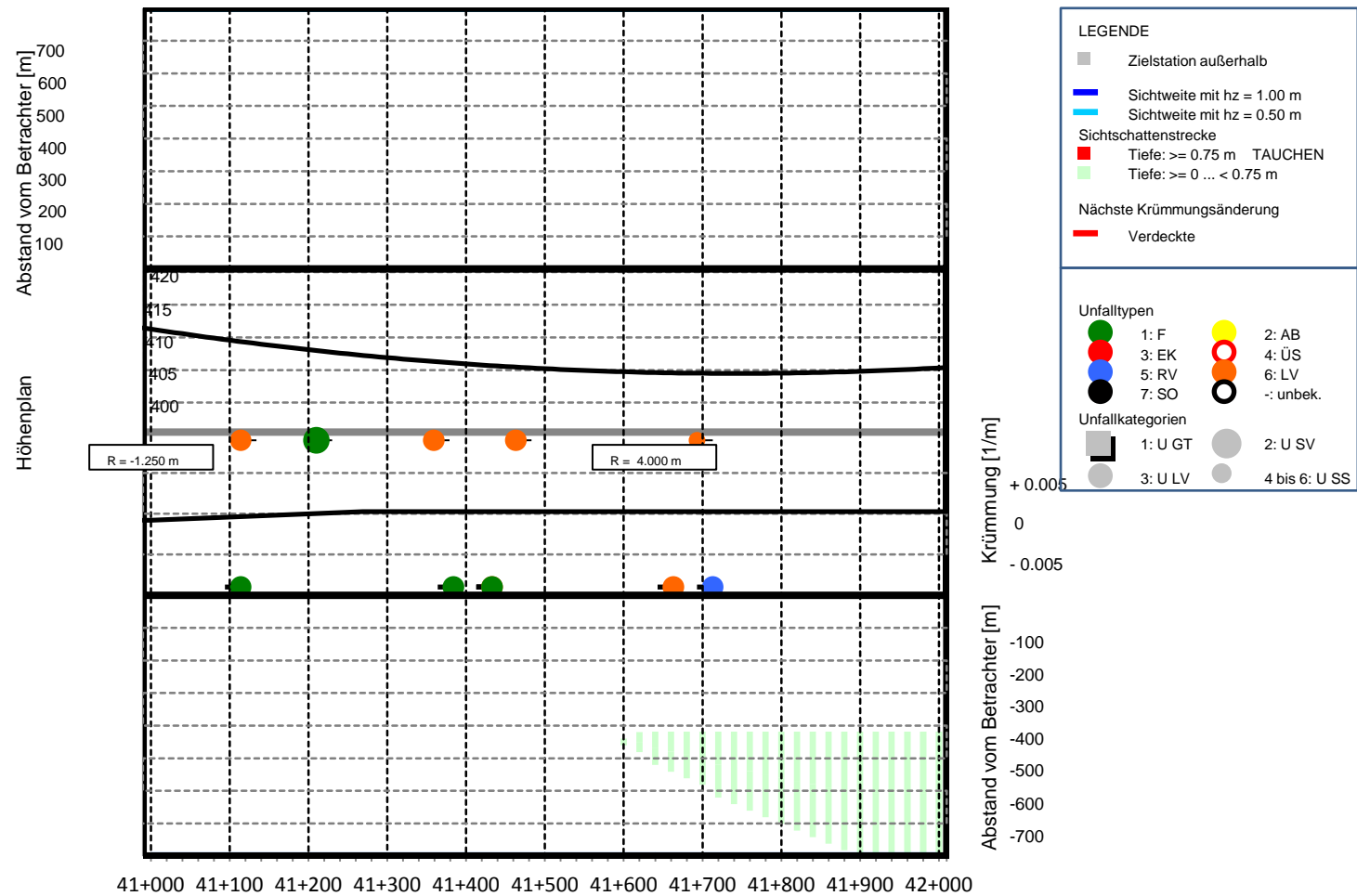
Anlage: Sichtschattenband A9, Station 38+000 bis 39+000, T Auge: 6.5 m, Defizite gemäß H ViSt



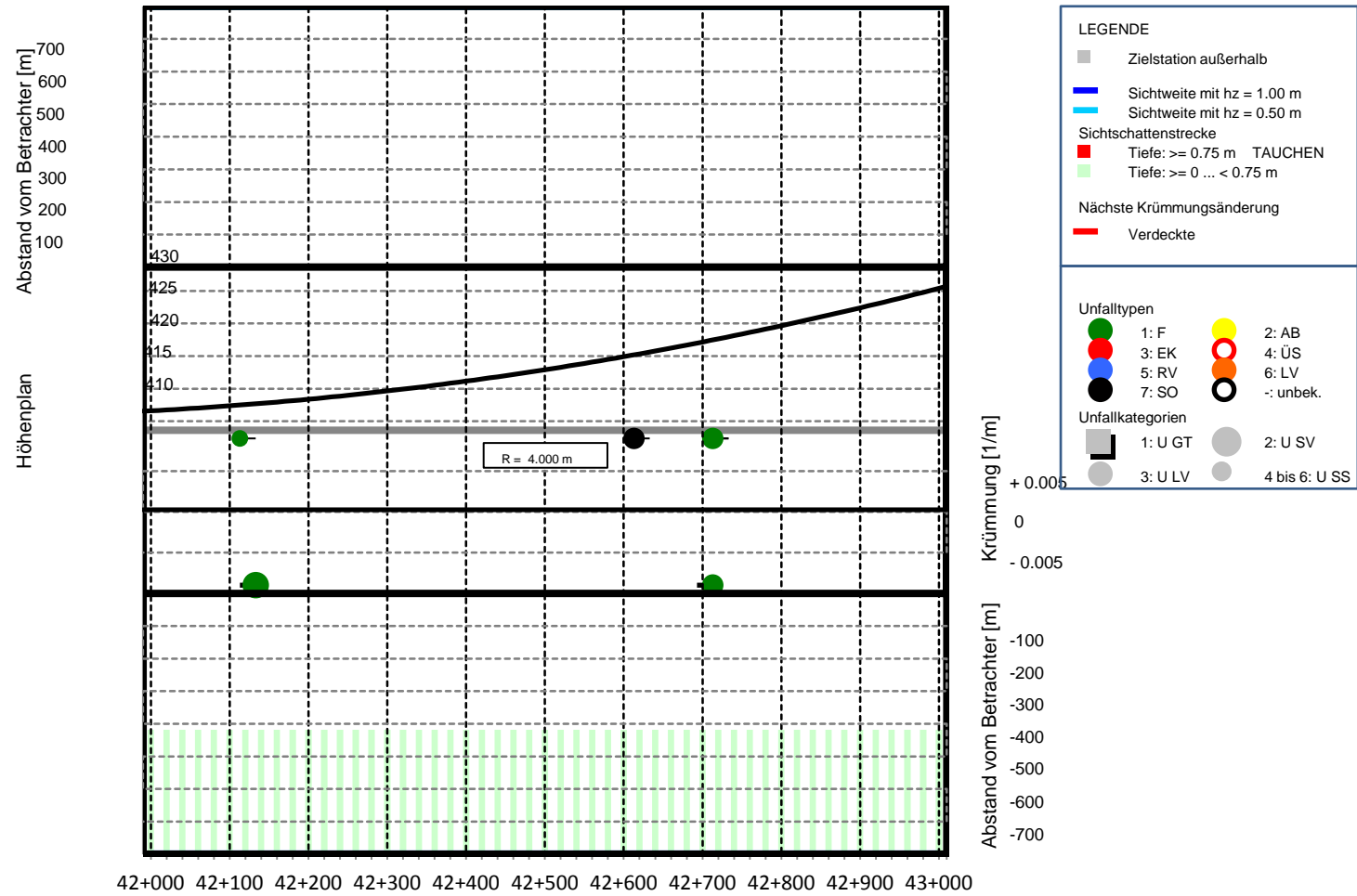
Anlage: Sichtschattenband A9, Station 39+000 bis 40+000, T Auge: 6.5 m, Defizite gemäß H ViSt



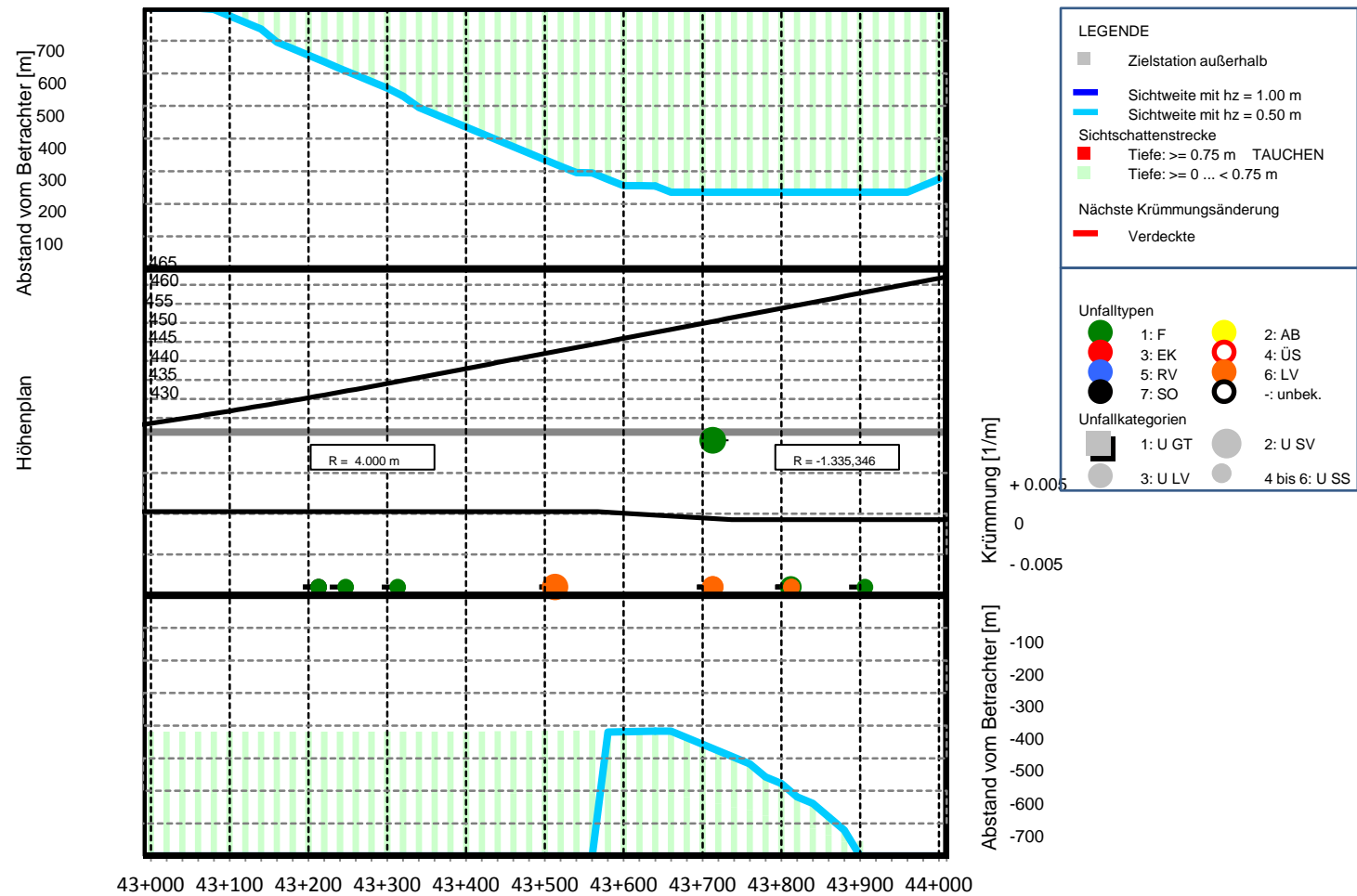
Anlage: Sichtschattenband A9, Station 40+000 bis 41+000, T Auge: 6.5 m, Defizite gemäß H ViSt



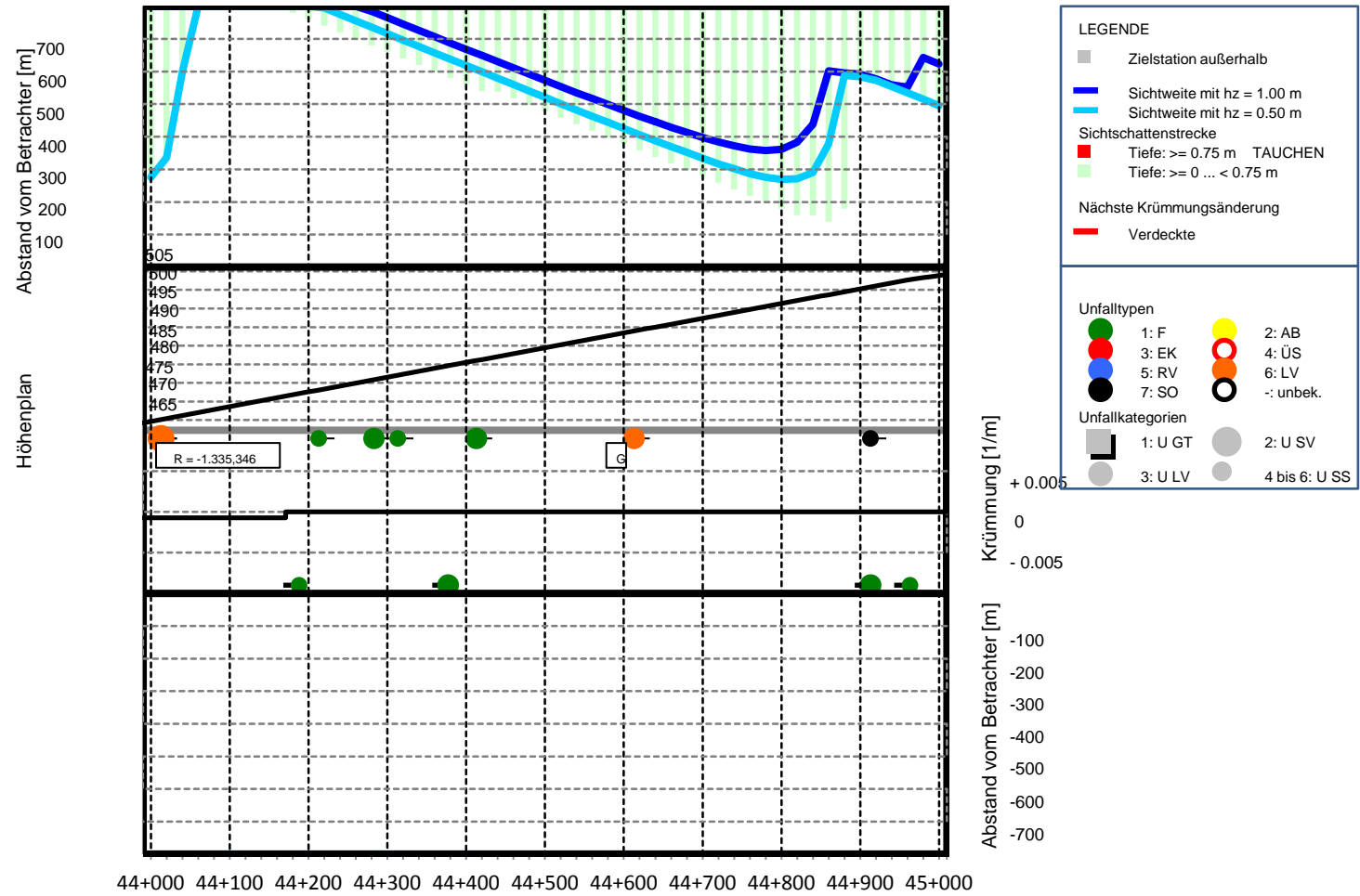
Anlage: Sichtschattenband A9, Station 41+000 bis 42+000, T Auge: 6.5 m, Defizite gemäß H ViSt



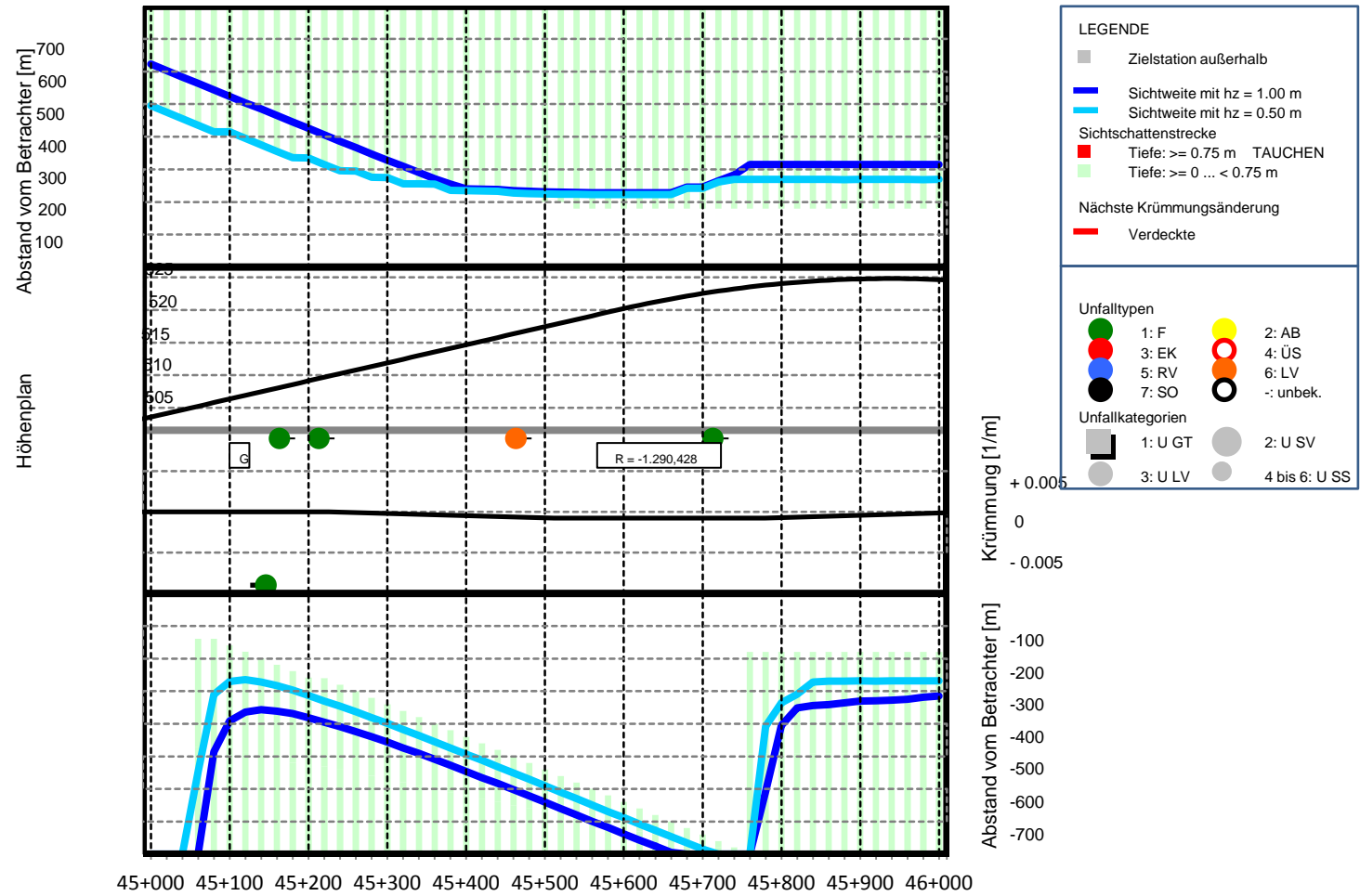
Anlage: Sichtschattenband A9, Station 42+000 bis 43+000, T Auge: 6.5 m, Defizite gemäß H ViSt



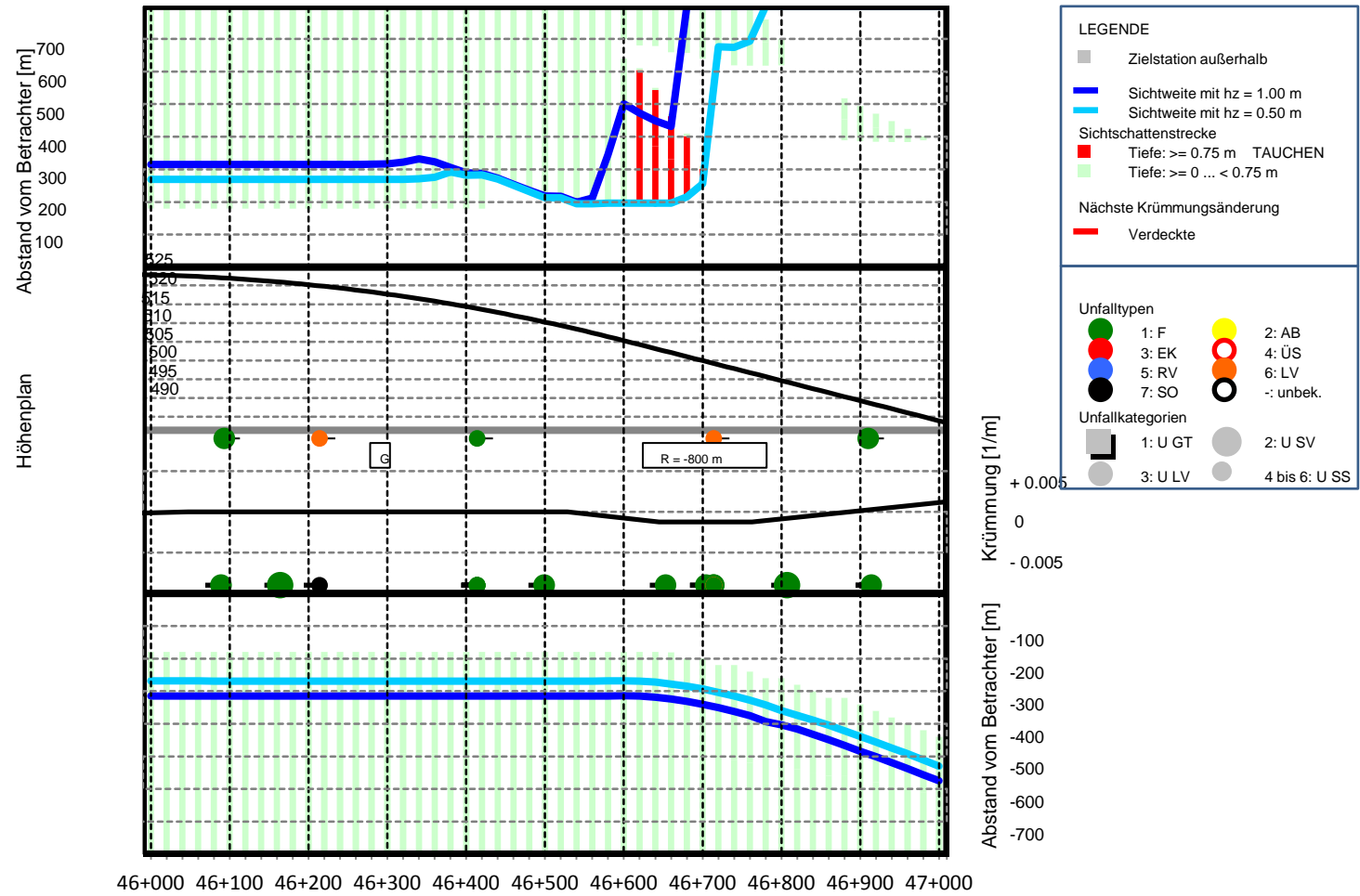
Anlage: Sichtschattenband A9, Station 43+000 bis 44+000, T Auge: 6.5 m, Defizite gemäß H ViSt



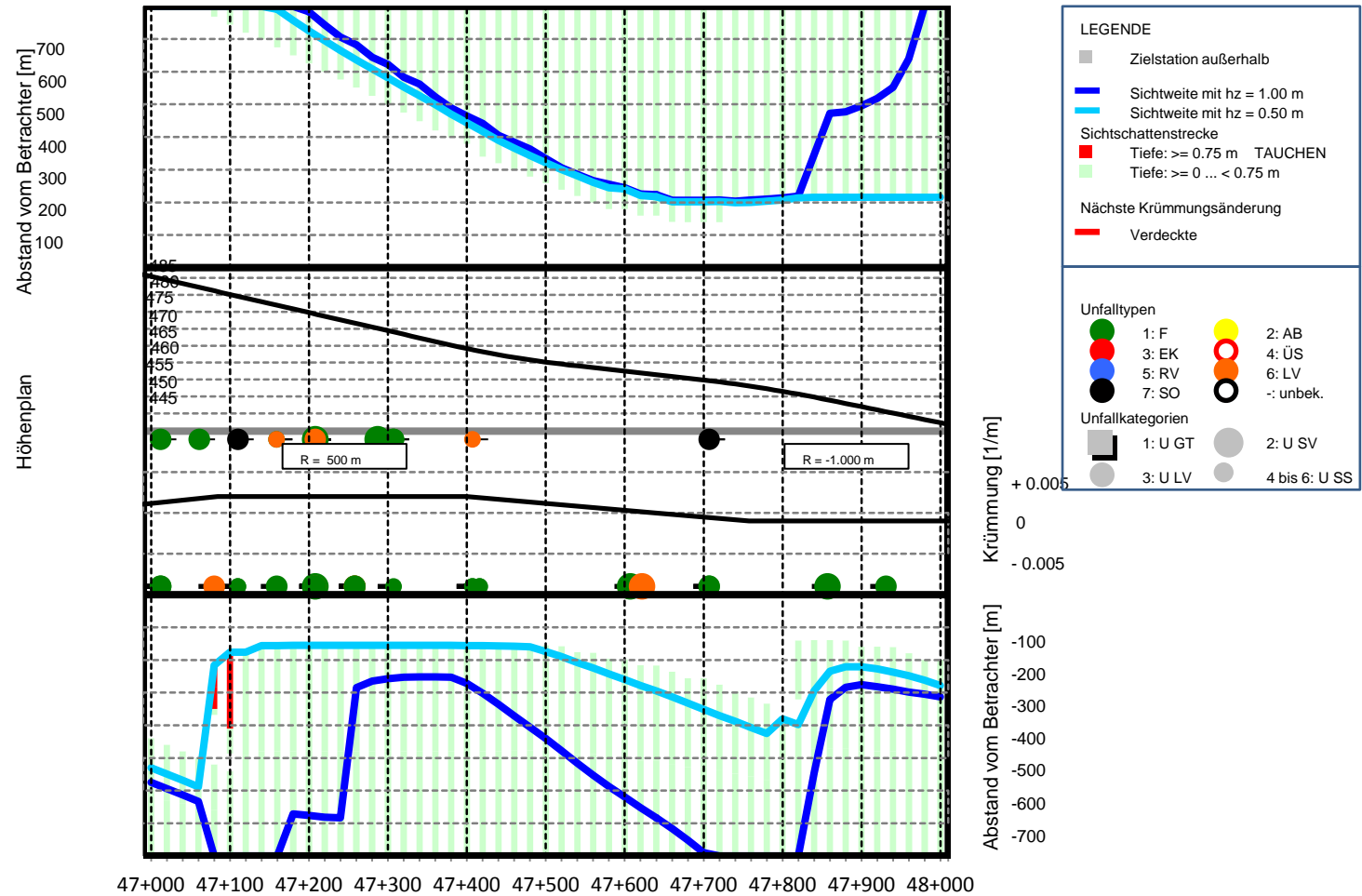
Anlage: Sichtschattenband A9, Station 44+000 bis 45+000, T Auge: 6.5 m, Defizite gemäß H ViSt



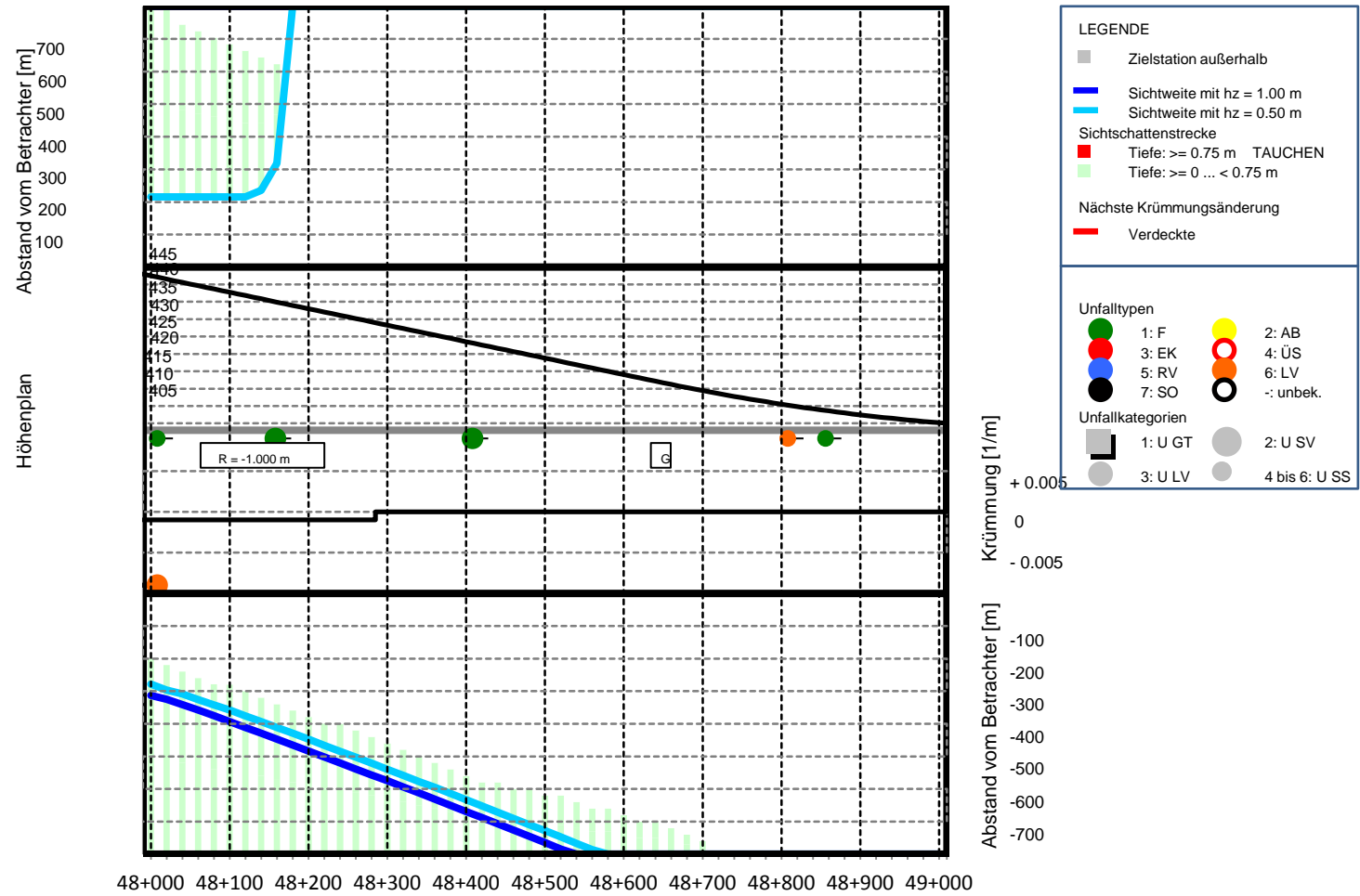
Anlage: Sichtschattenband A9, Station 45+000 bis 46+000, T Auge: 6.5 m, Defizite gemäß H ViSt



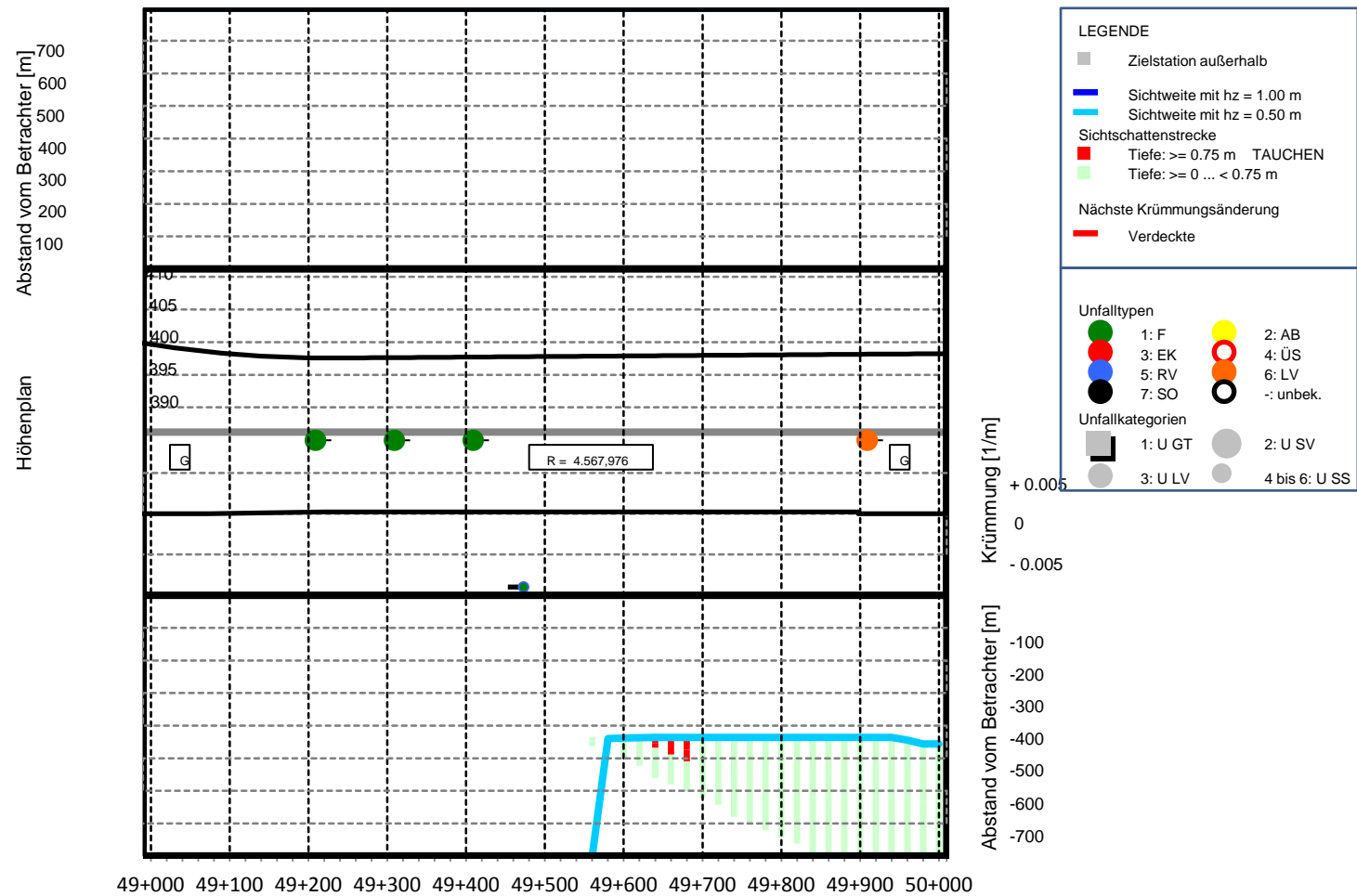
Anlage: Sichtschattenband A9, Station 46+000 bis 47+000, T Auge: 6.5 m, Defizite gemäß H ViSt



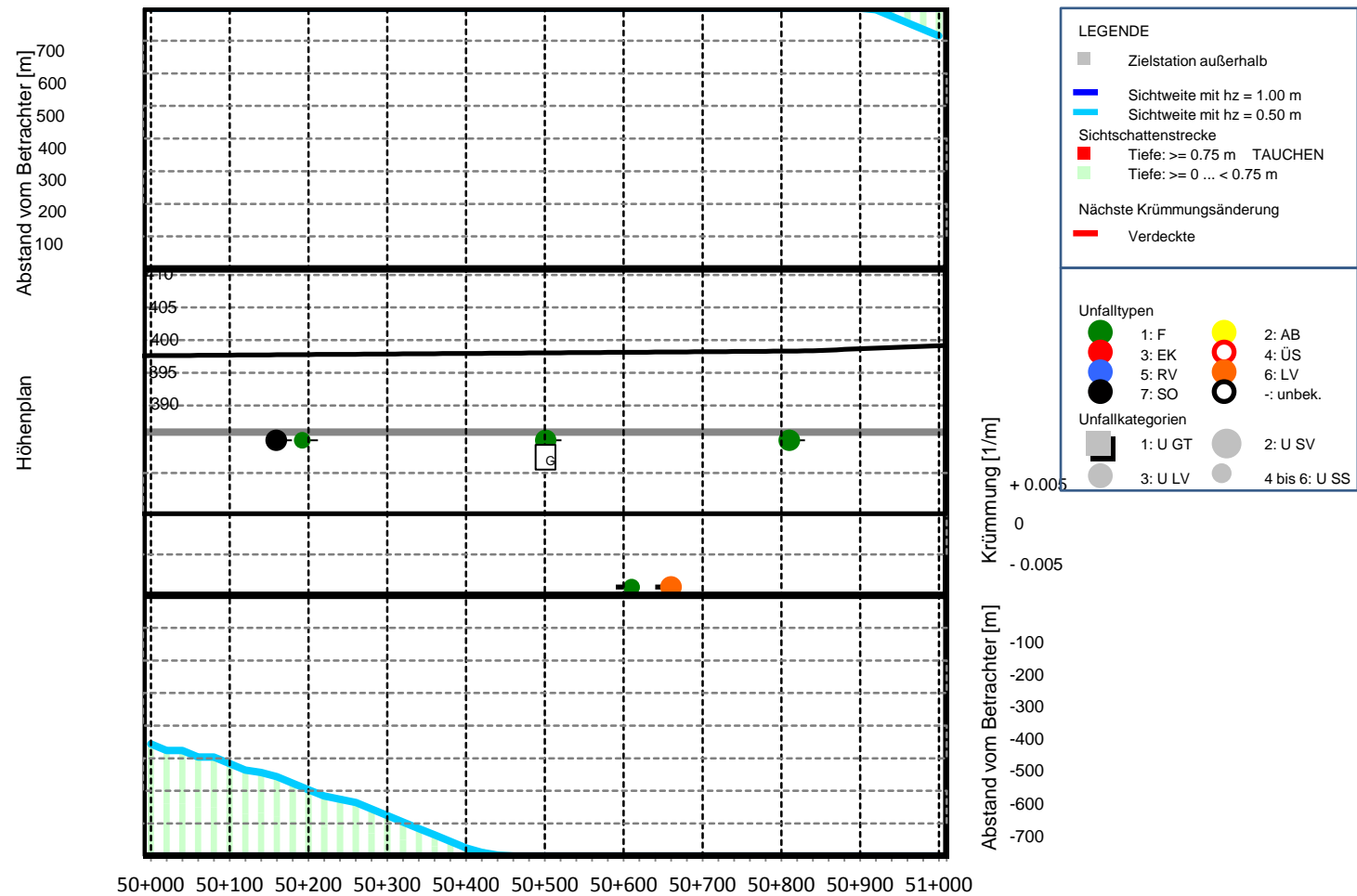
Anlage: Sichtschattenband A9, Station 47+000 bis 48+000, T Auge: 6.5 m, Defizite gemäß H ViSt



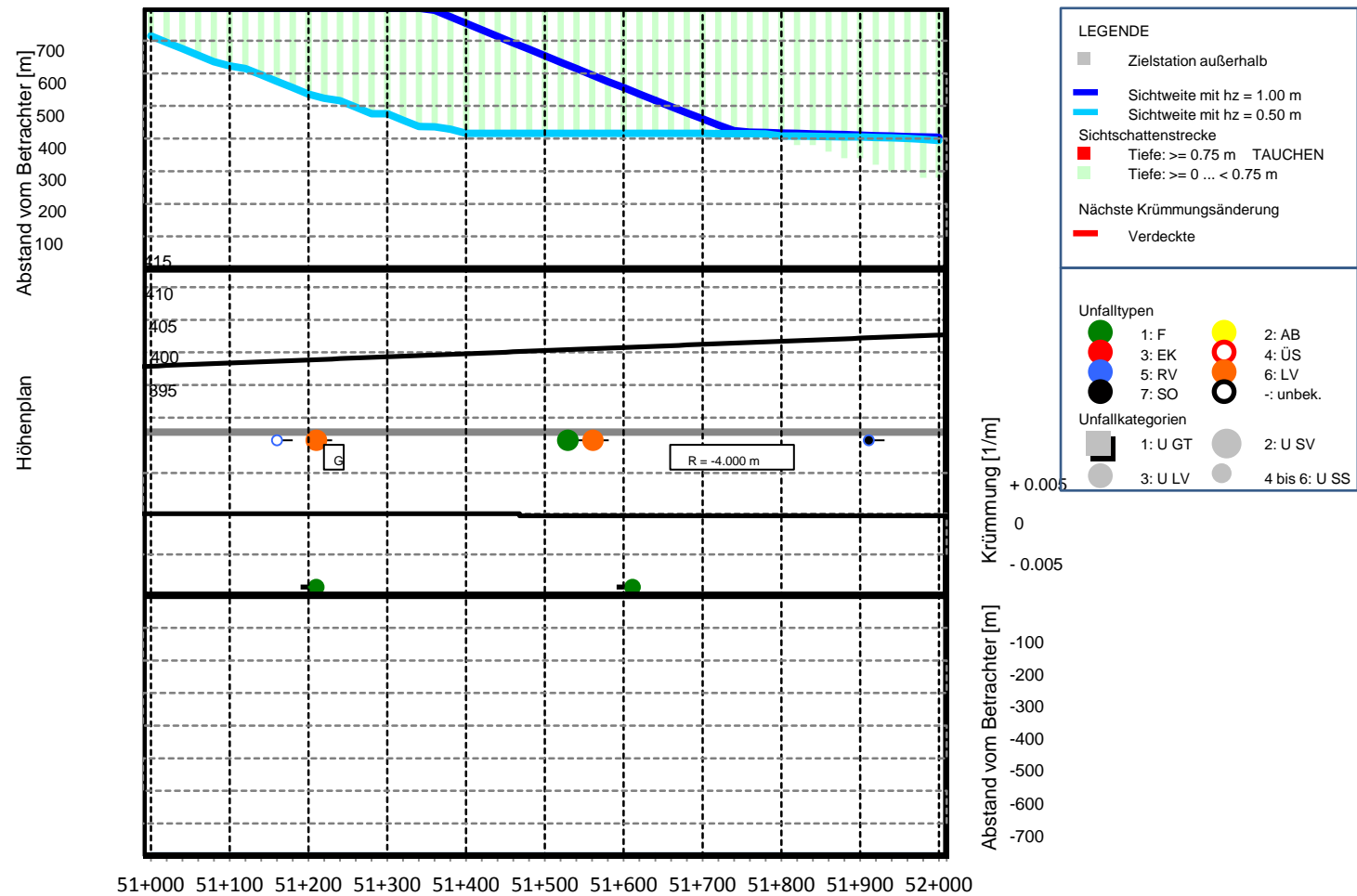
Anlage: Sichtschattenband A9, Station 48+000 bis 49+000, T Auge: 6.5 m, Defizite gemäß H ViSt



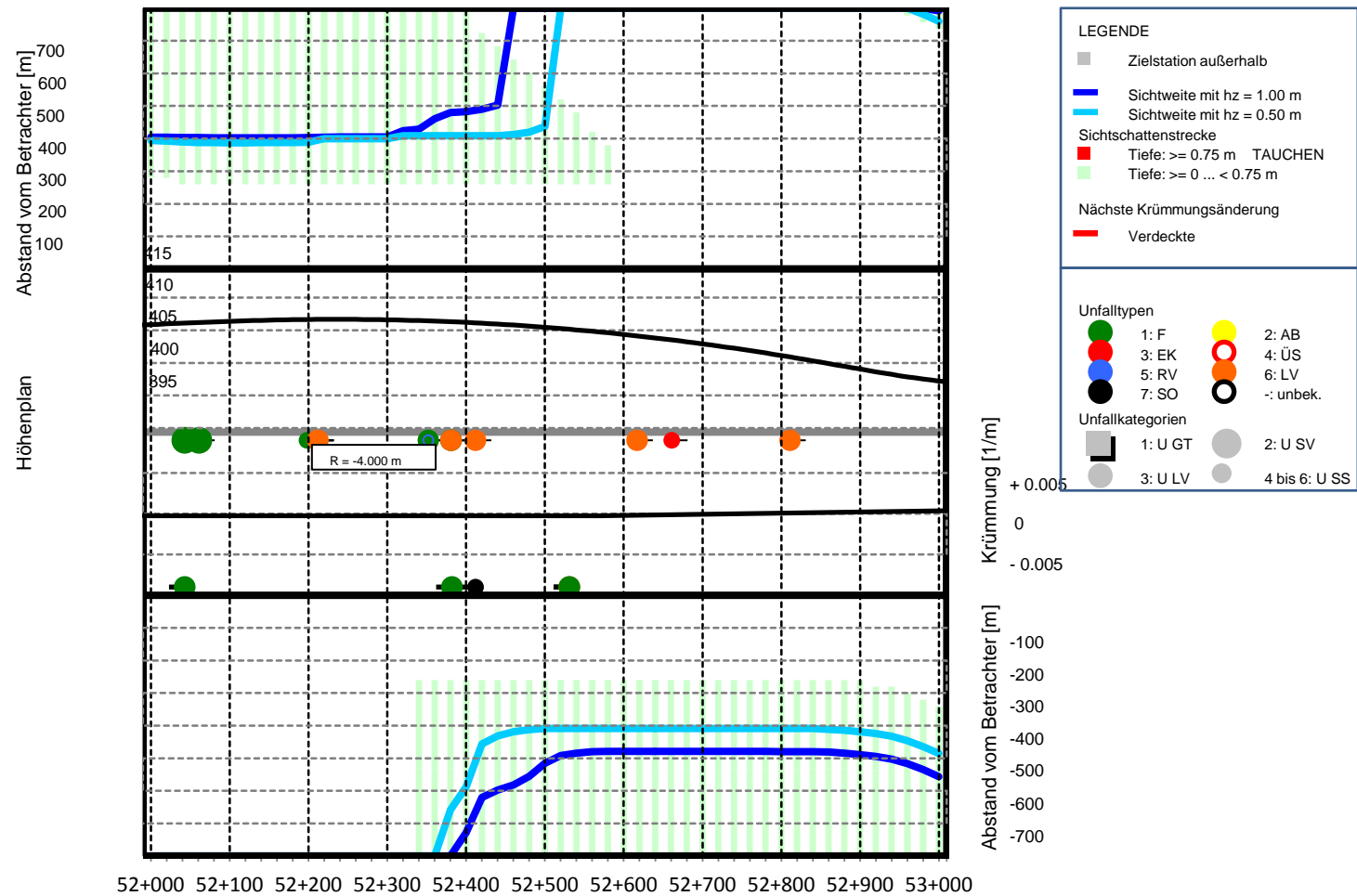
Anlage: Sichtschattenband A9, Station 49+000 bis 50+000, T Auge: 6.5 m, Defizite gemäß H ViSt



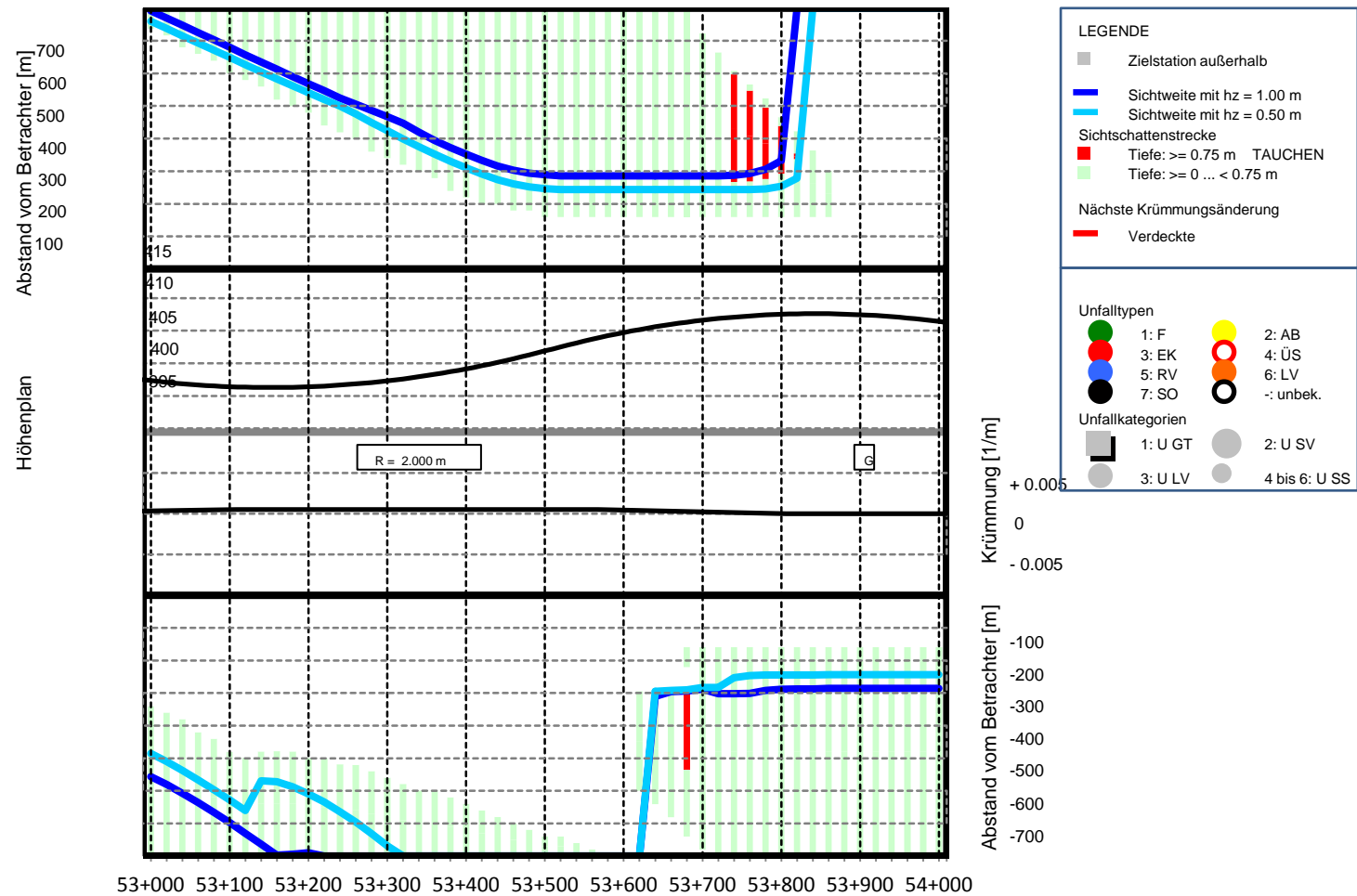
Anlage: Sichtschattenband A9, Station 50+000 bis 51+000, T Auge: 6.5 m, Defizite gemäß H ViSt



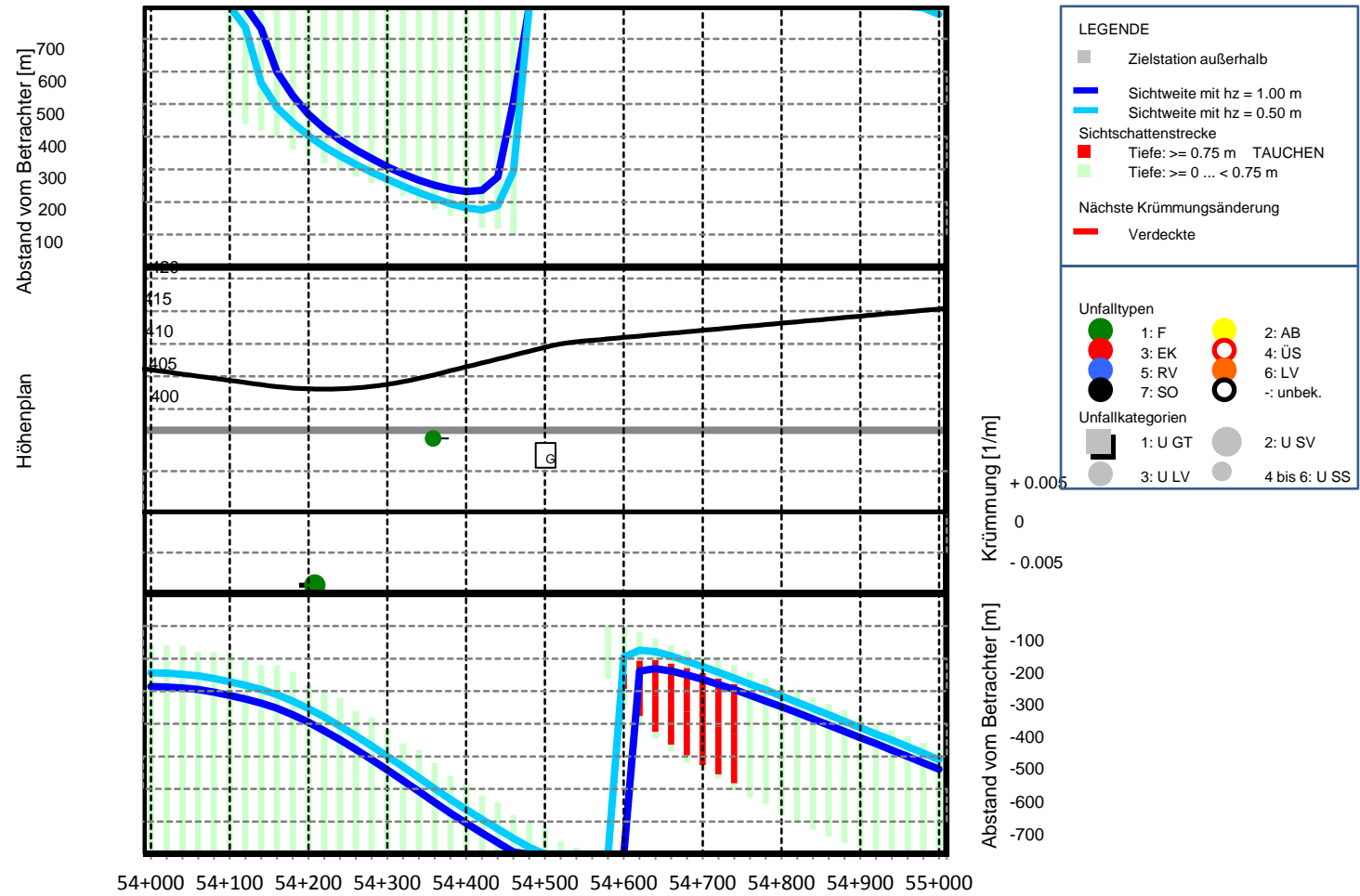
Anlage: Sichtschattenband A9, Station 51+000 bis 52+000, T Auge: 6.5 m, Defizite gemäß H ViSt



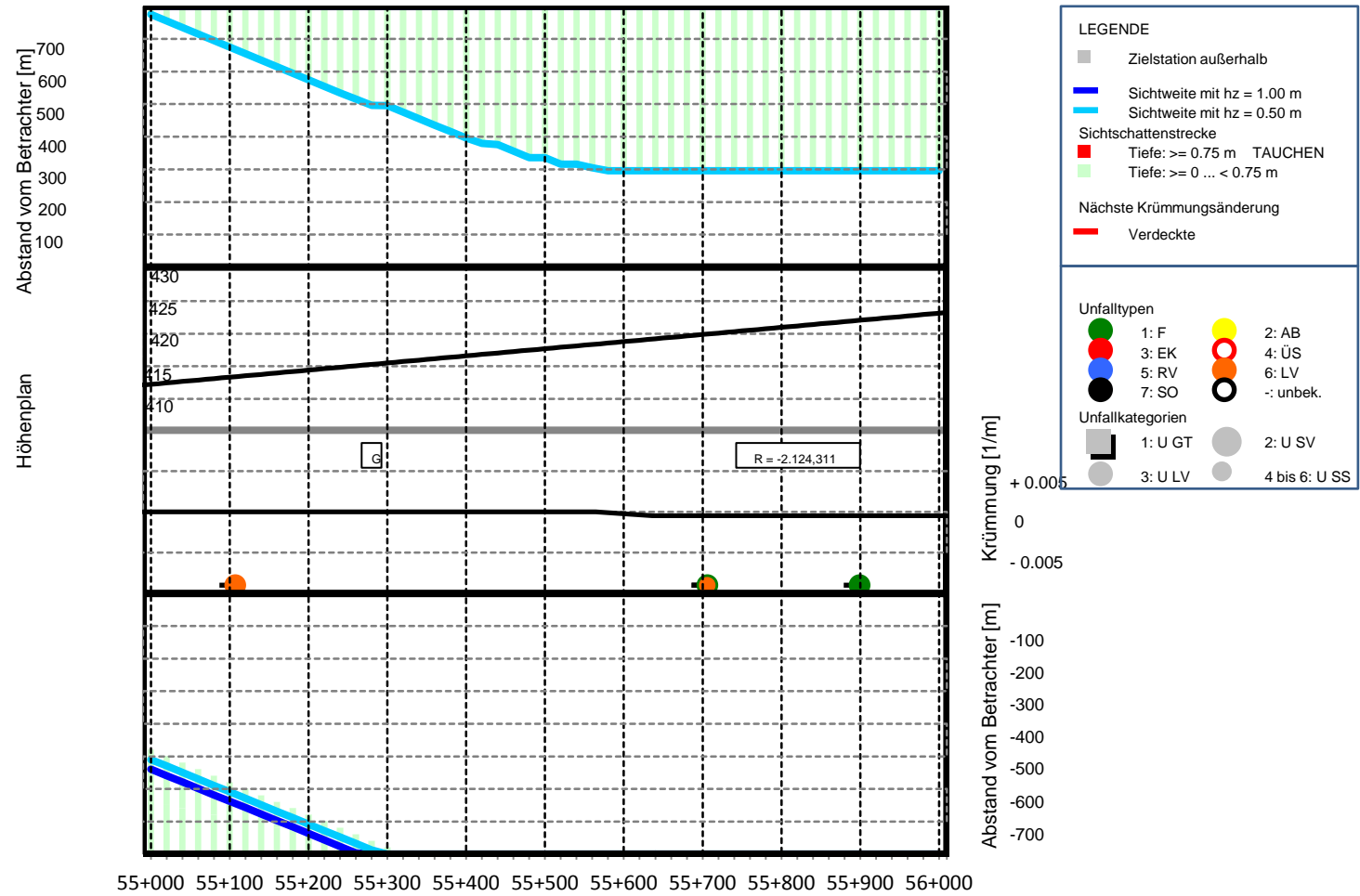
Anlage: Sichtschattenband A9, Station 52+000 bis 53+000, T Auge: 6.5 m, Defizite gemäß H ViSt



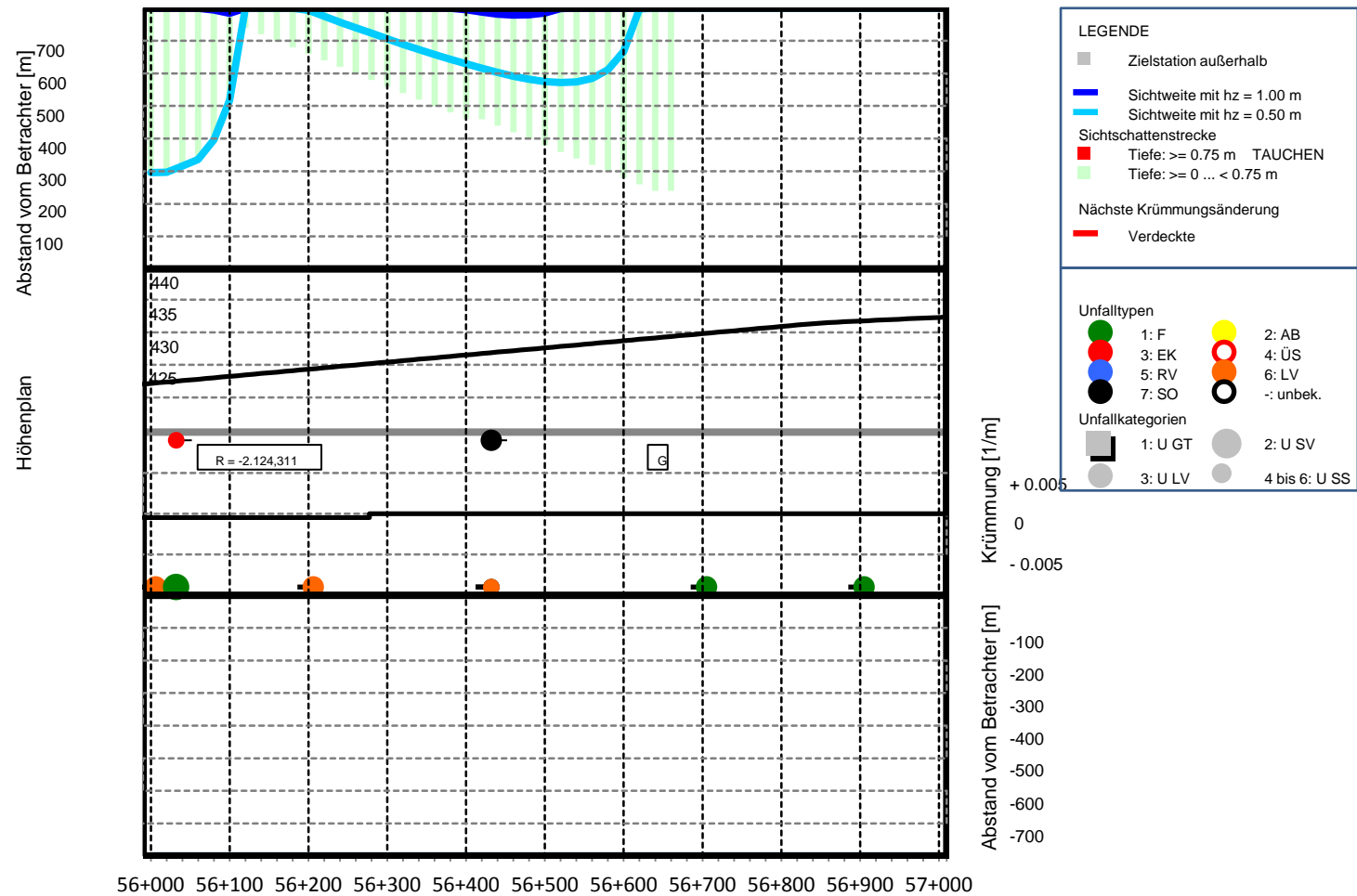
Anlage: Sichtschattenband A9, Station 53+000 bis 54+000, T Auge: 6.5 m, Defizite gemäß H ViSt



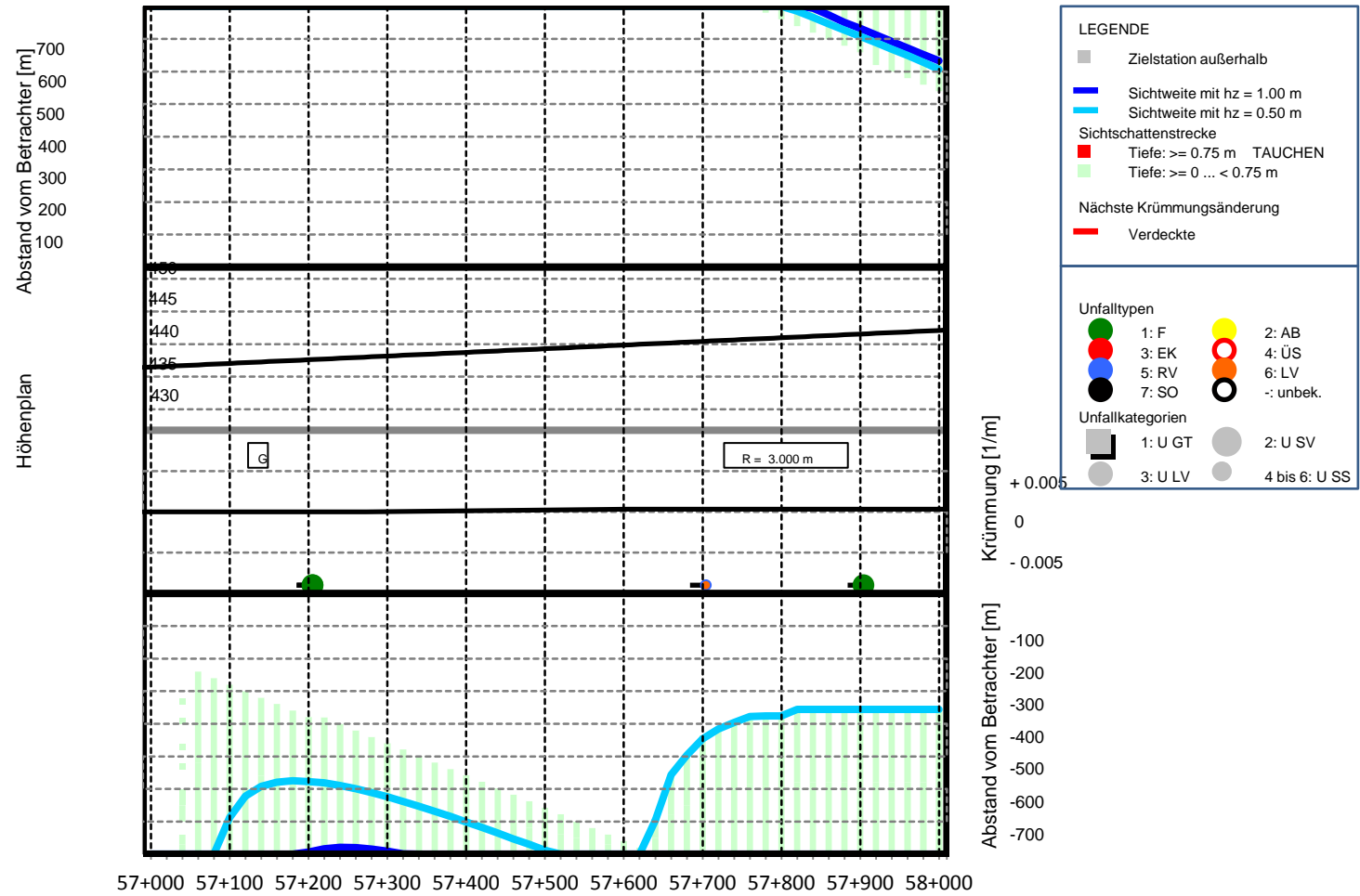
Anlage: Sichtschattenband A9, Station 54+000 bis 55+000, T Auge: 6.5 m, Defizite gemäß H ViSt



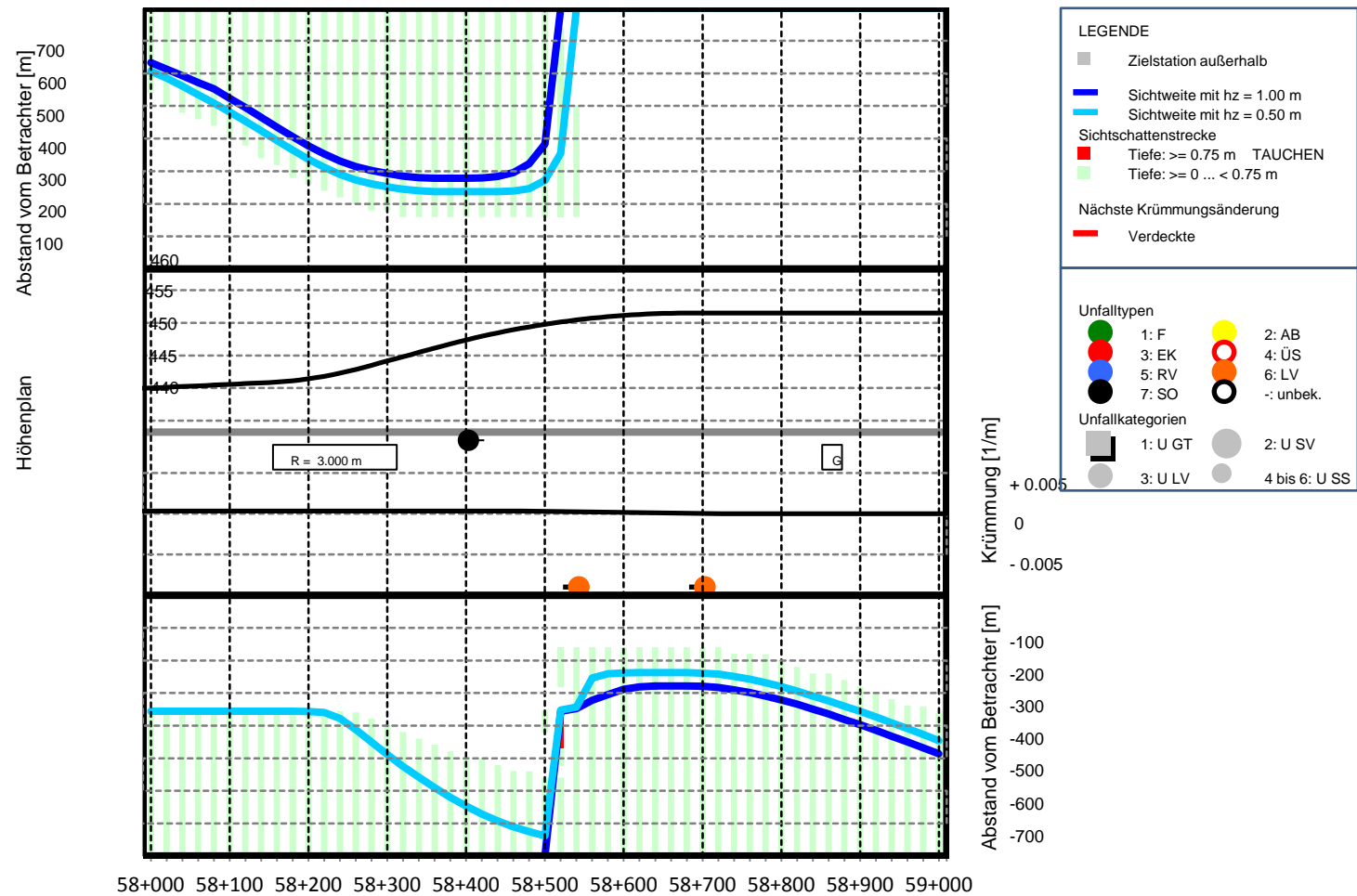
Anlage: Sichtschattenband A9, Station 55+000 bis 56+000, T Auge: 6.5 m, Defizite gemäß H ViSt



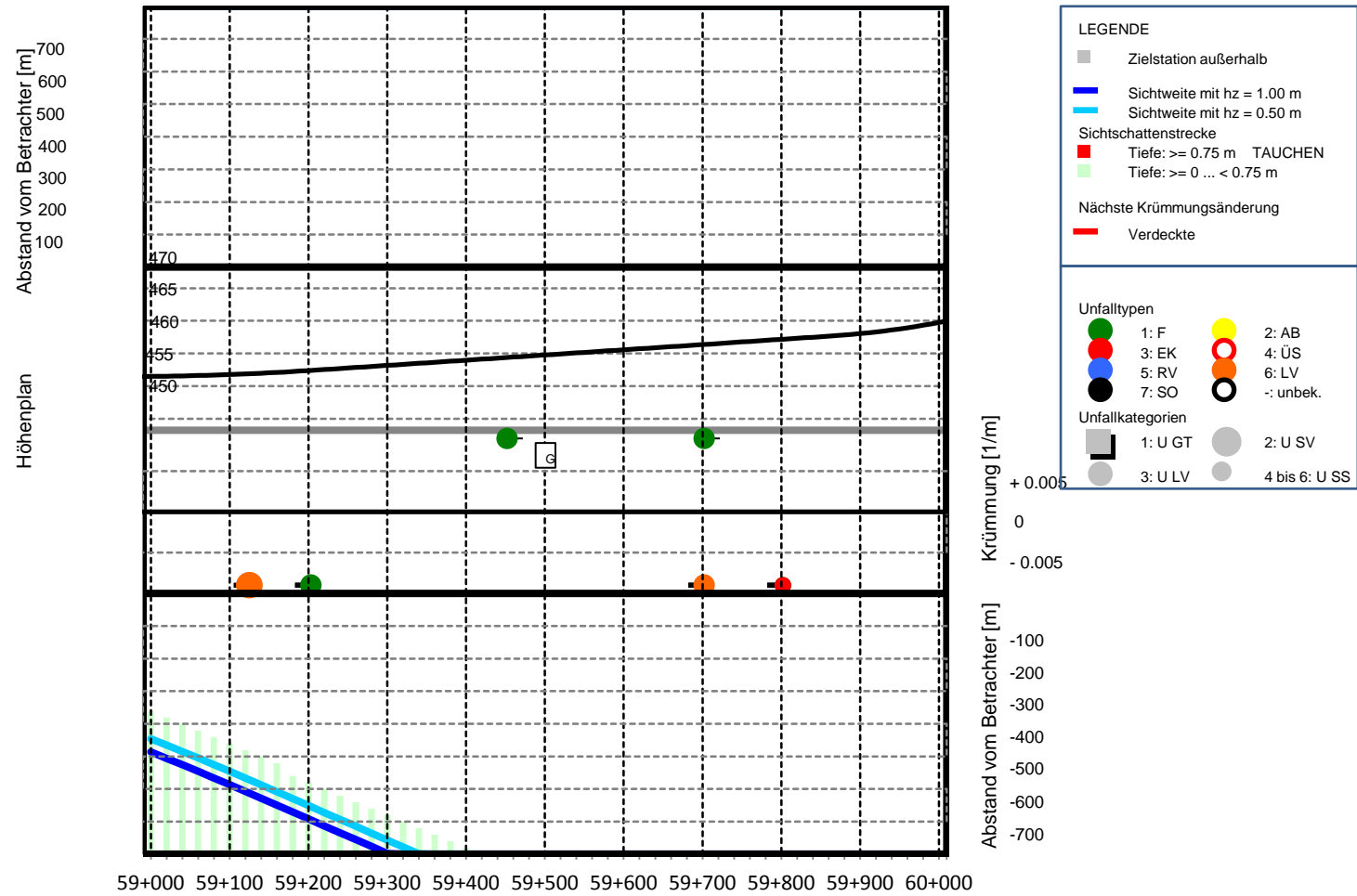
Anlage: Sichtschattenband A9, Station 56+000 bis 57+000, T Auge: 6.5 m, Defizite gemäß H ViSt



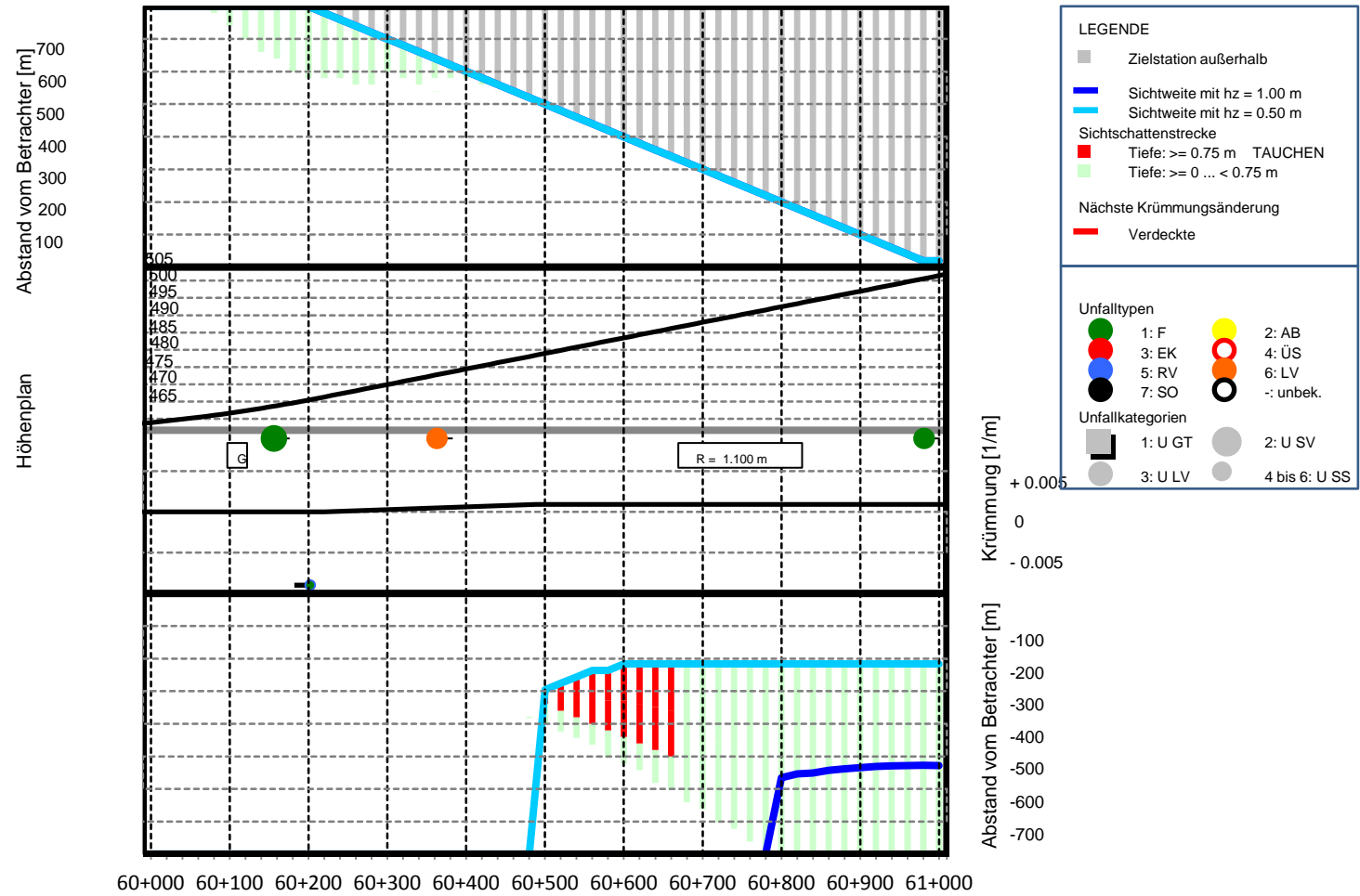
Anlage: Sichtschattenband A9, Station 57+000 bis 58+000, T Auge: 6.5 m, Defizite gemäß H ViSt



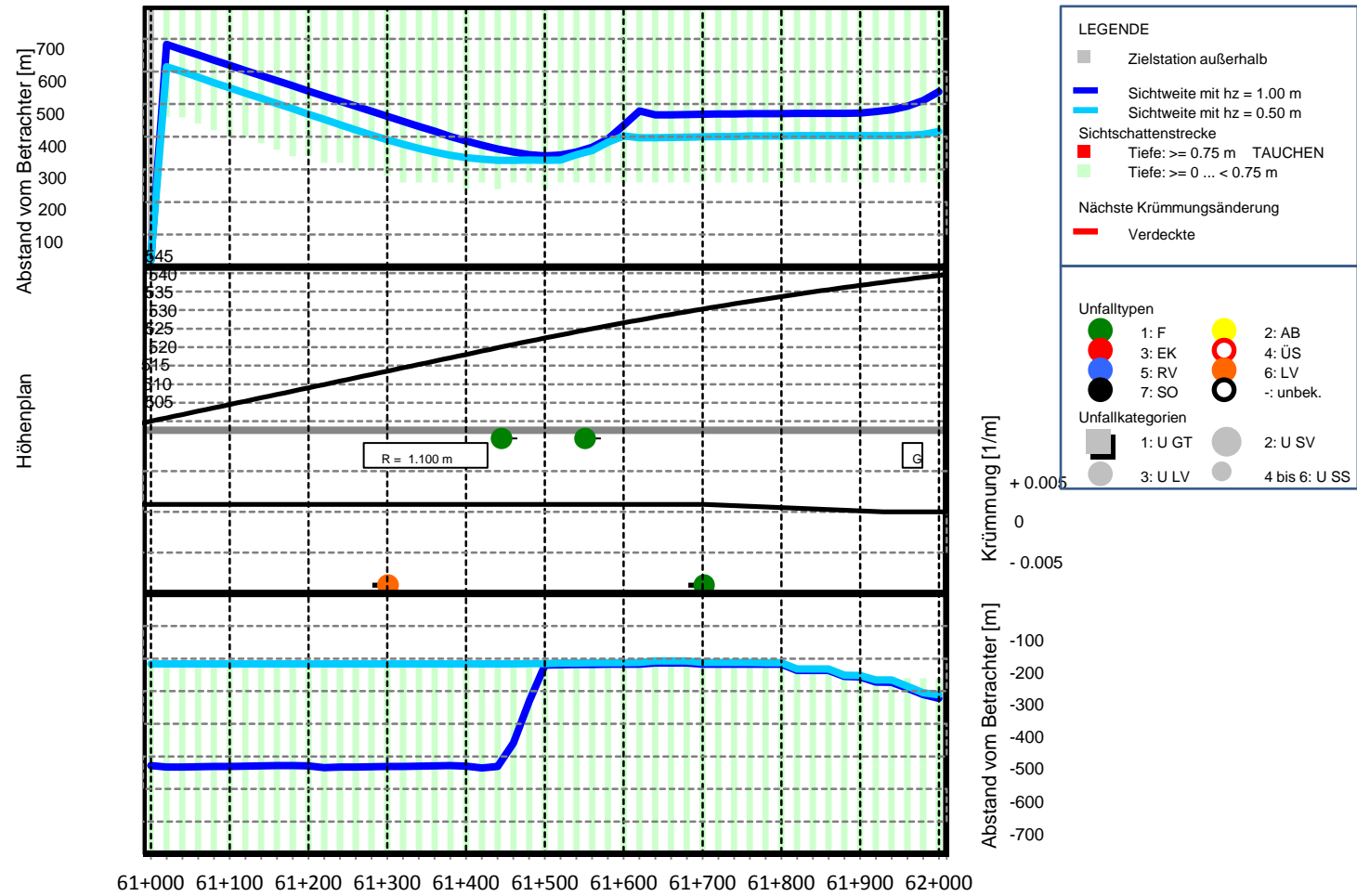
Anlage: Sichtschattenband A9, Station 58+000 bis 59+000, T Auge: 6.5 m, Defizite gemäß H ViSt



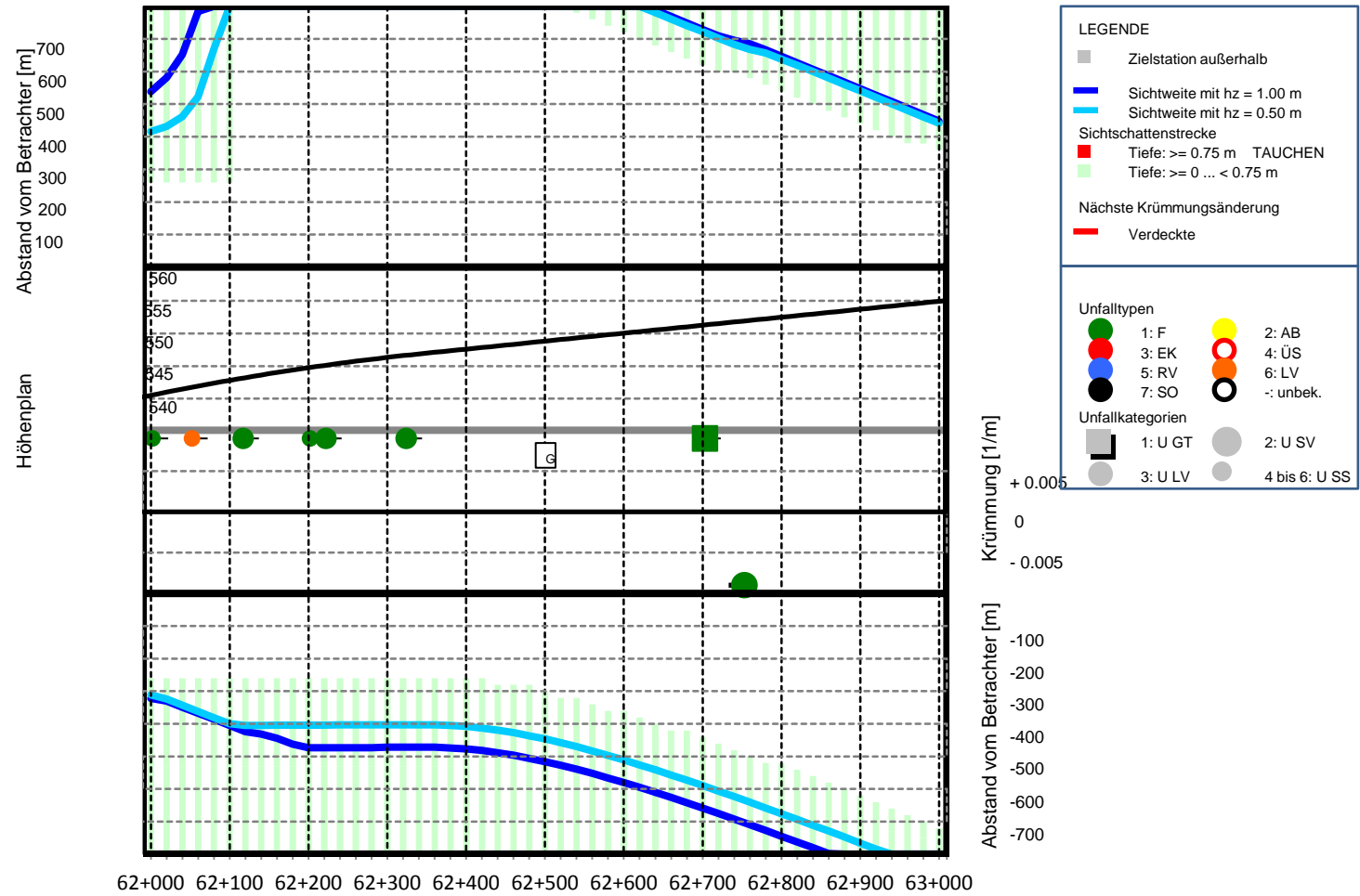
Anlage: Sichtschattenband A9, Station 59+000 bis 60+000, T Auge: 6.5 m, Defizite gemäß H ViSt



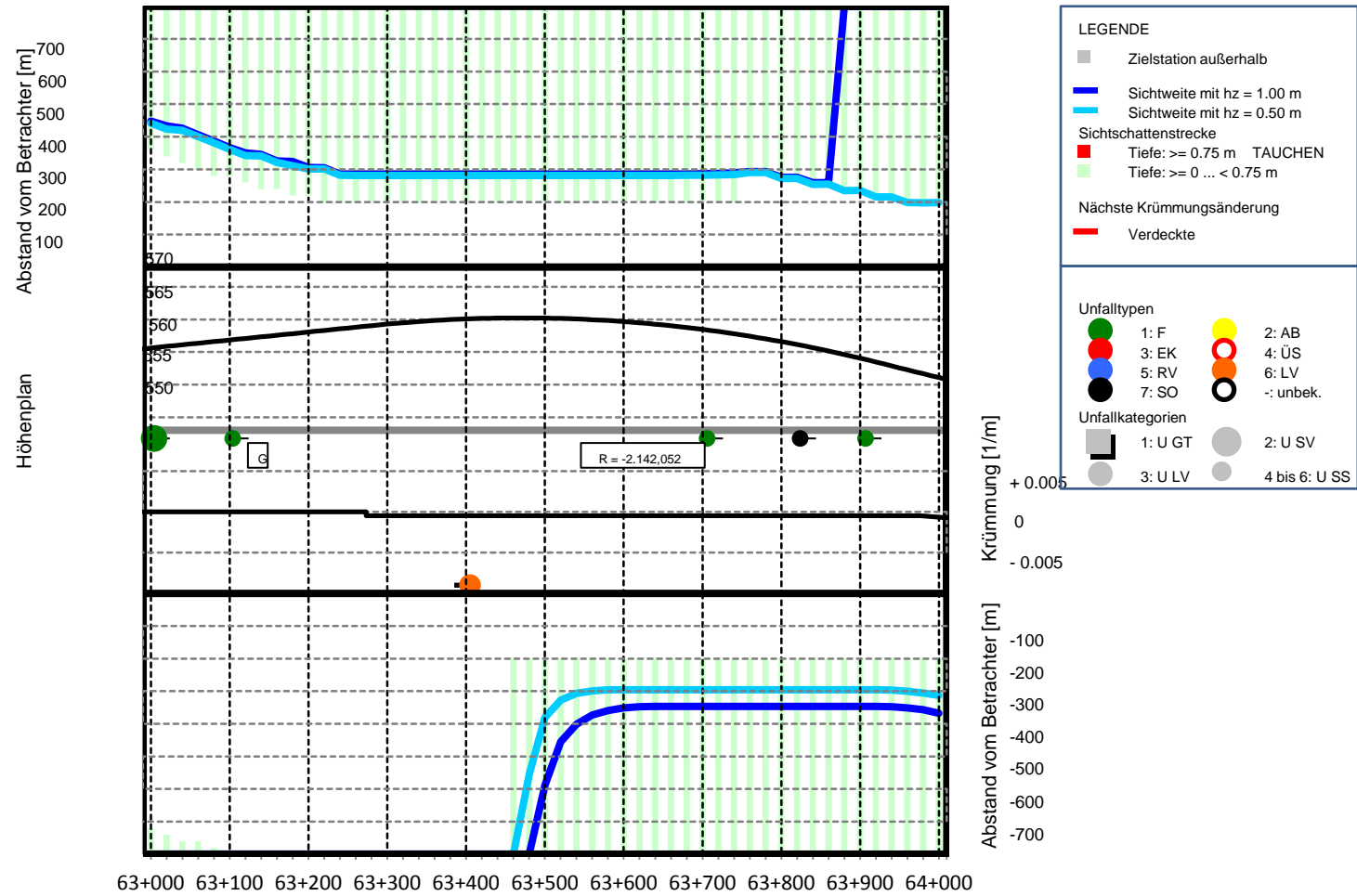
Anlage: Sichtschattenband A9, Station 60+000 bis 61+000, T Auge: 6.5 m, Defizite gemäß H ViSt



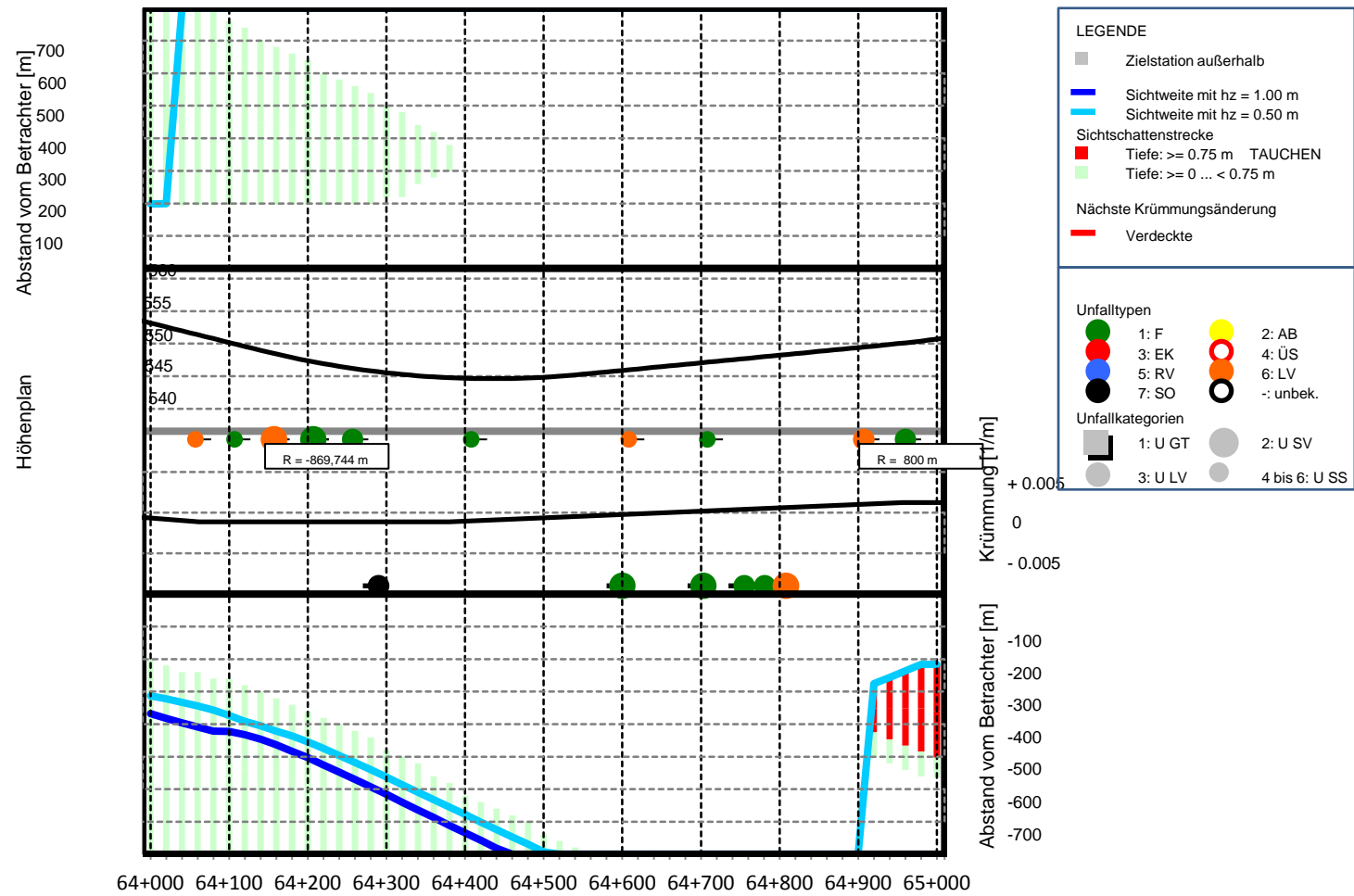
Anlage: Sichtschattenband A9, Station 61+000 bis 62+000, T Auge: 6.5 m, Defizite gemäß H ViSt



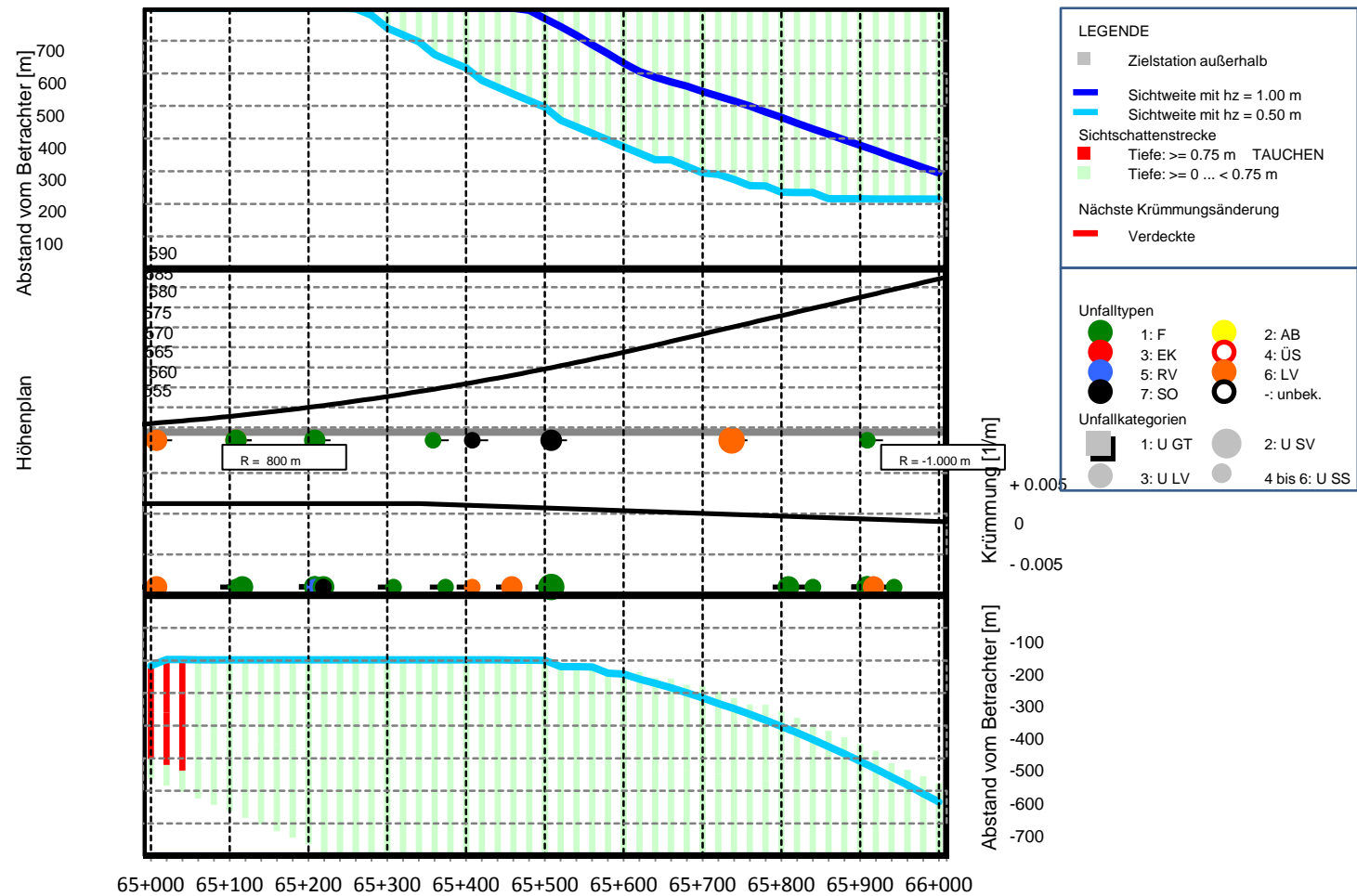
Anlage: Sichtschattenband A9, Station 62+000 bis 63+000, T Auge: 6.5 m, Defizite gemäß H ViSt



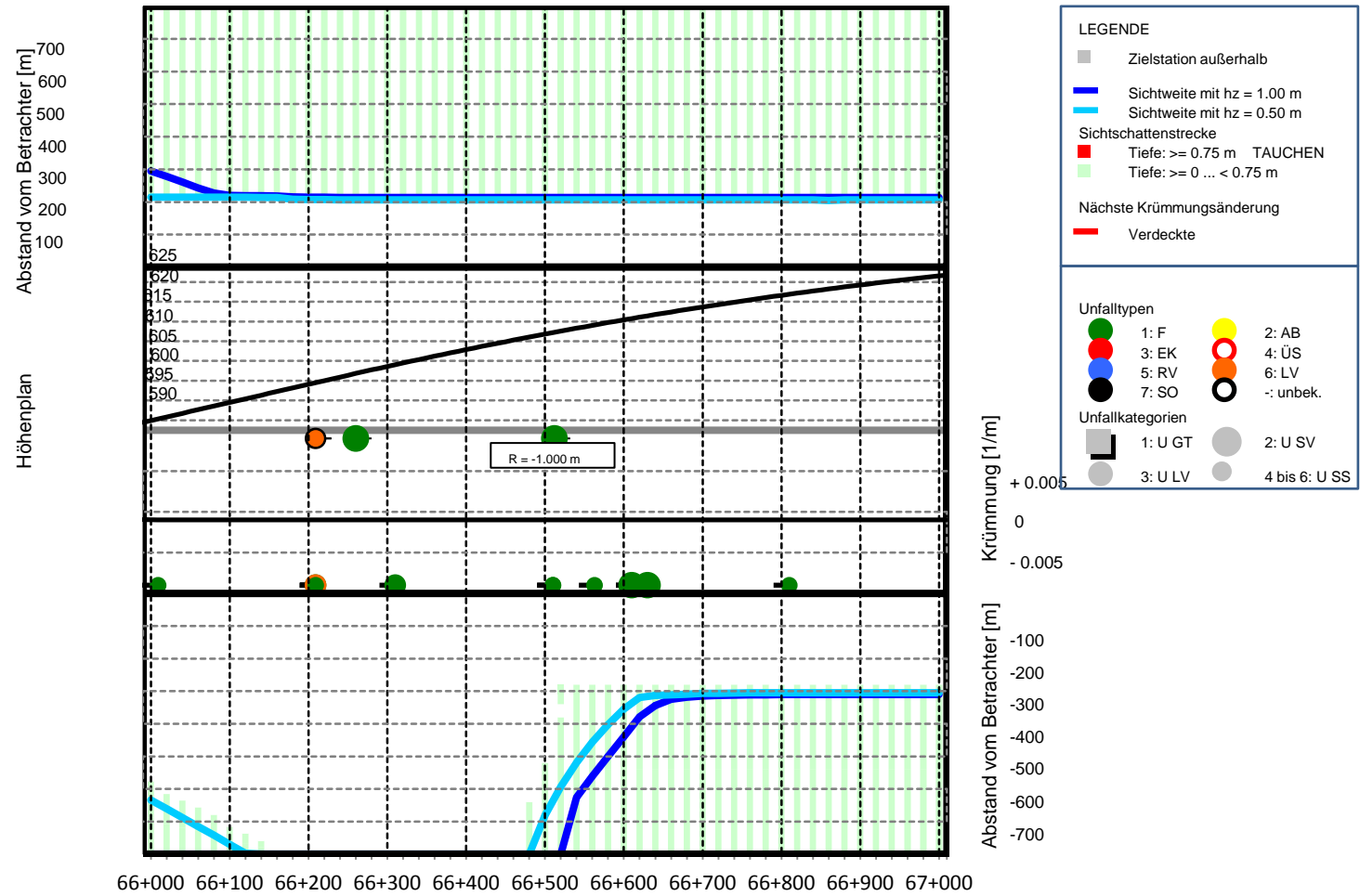
Anlage: Sichtschattenband A9, Station 63+000 bis 64+000, T Auge: 6.5 m, Defizite gemäß H ViSt



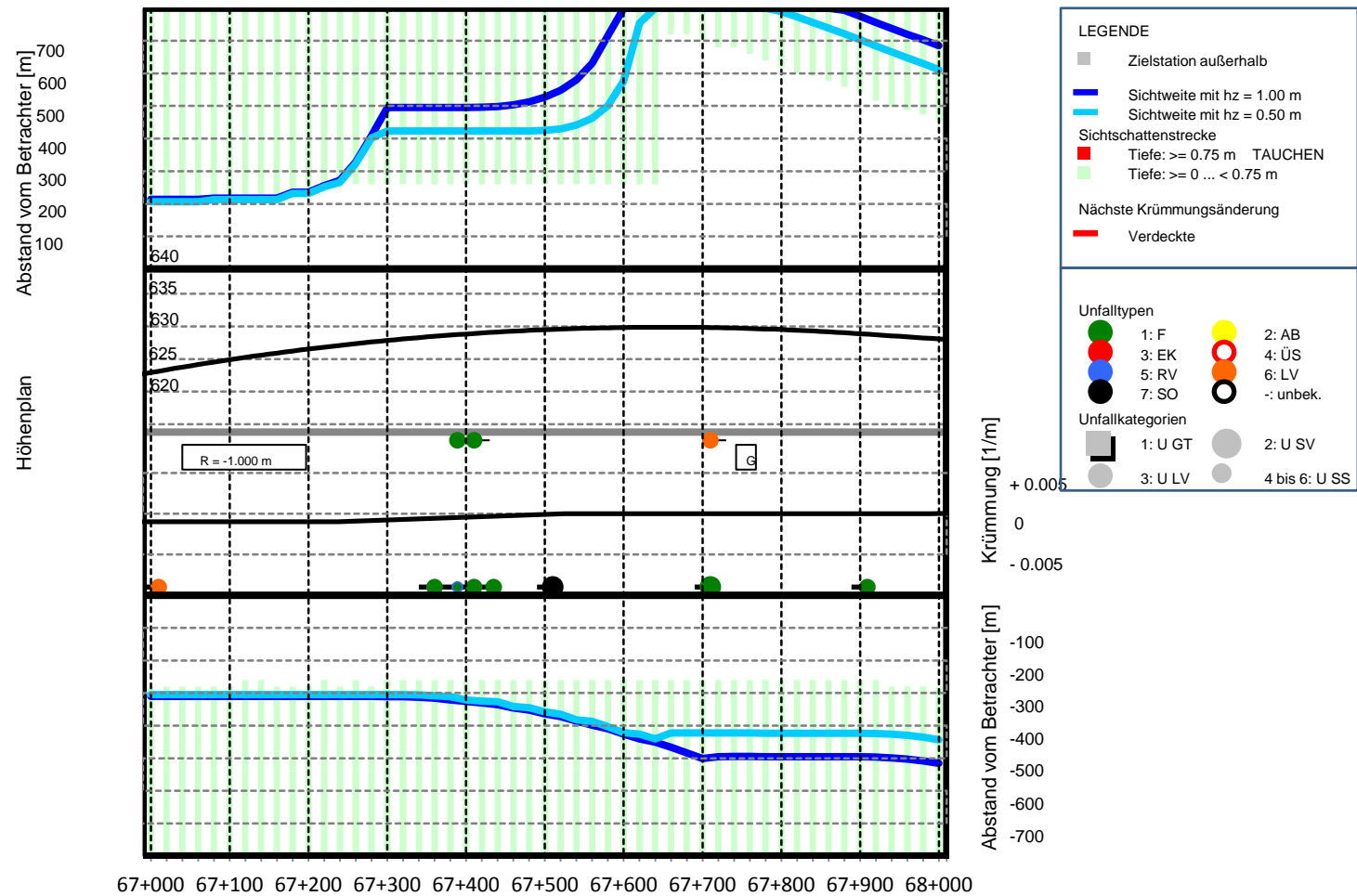
Anlage: Sichtschattenband A9, Station 64+000 bis 65+000, T Auge: 6.5 m, Defizite gemäß H ViSt



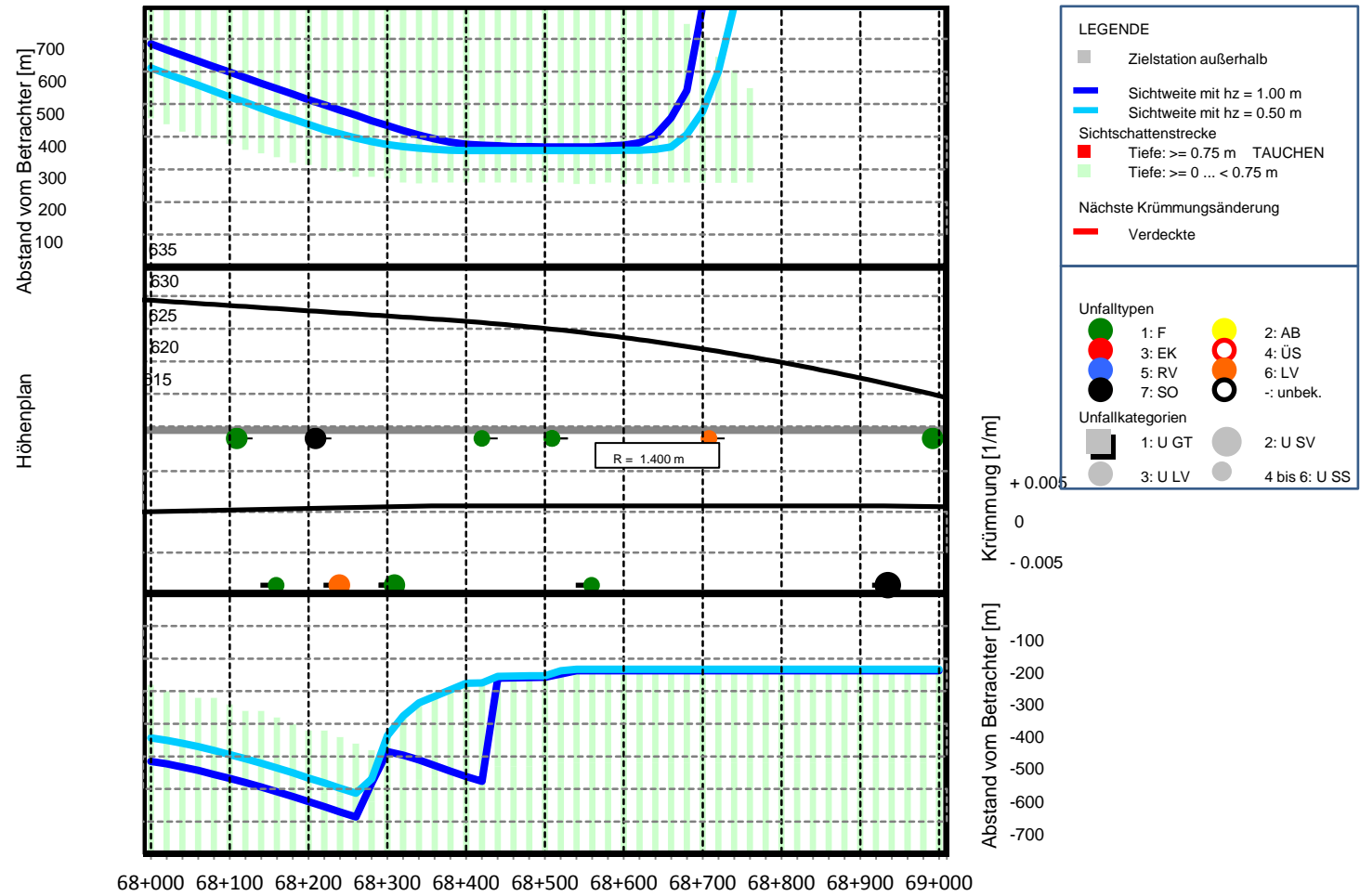
Anlage: Sichtschattenband A9, Station 65+000 bis 66+000, T Auge: 6.5 m, Defizite gemäß H ViSt



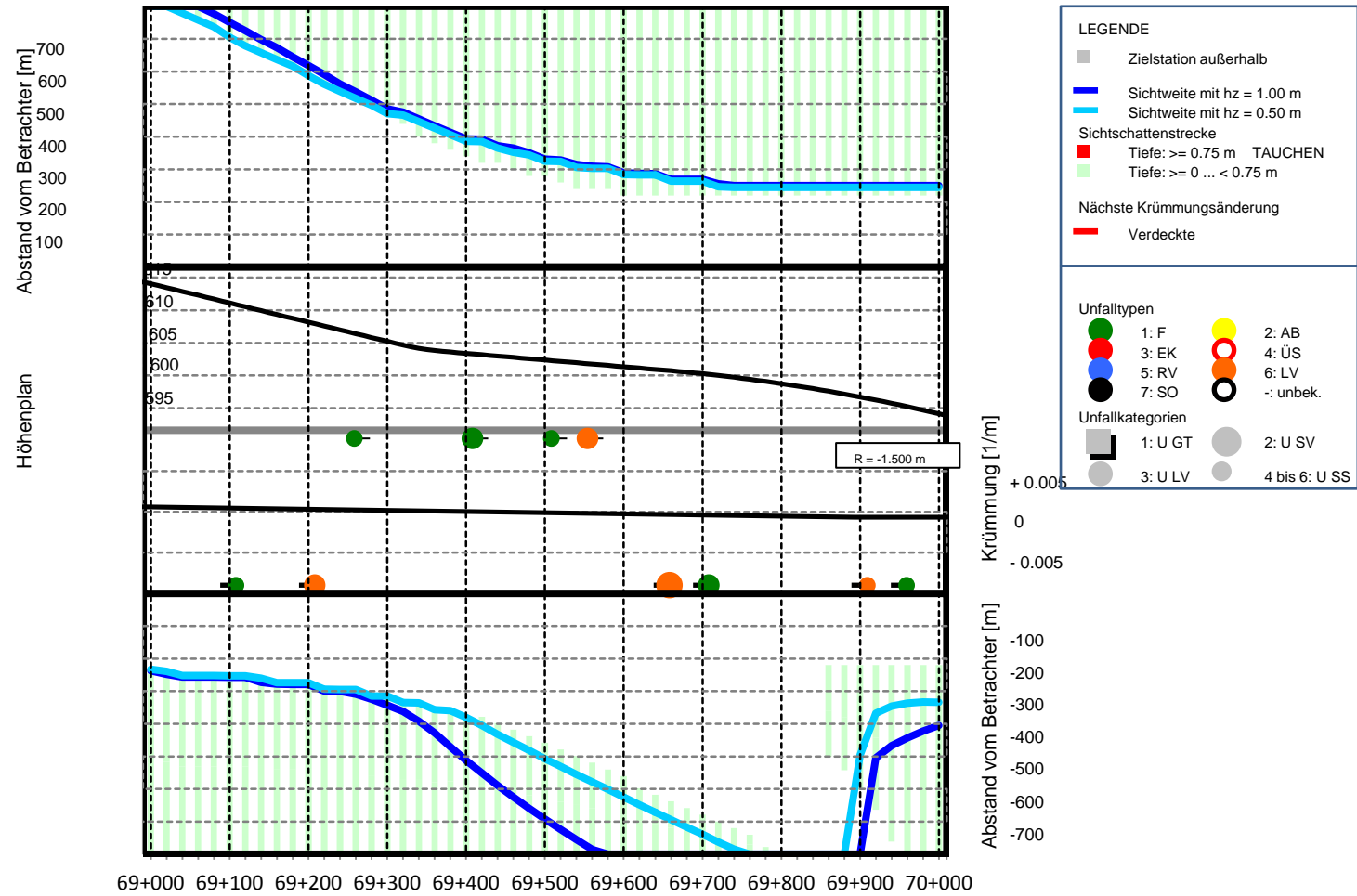
Anlage: Sichtschattenband A9, Station 66+000 bis 67+000, T Auge: 6.5 m, Defizite gemäß H ViSt



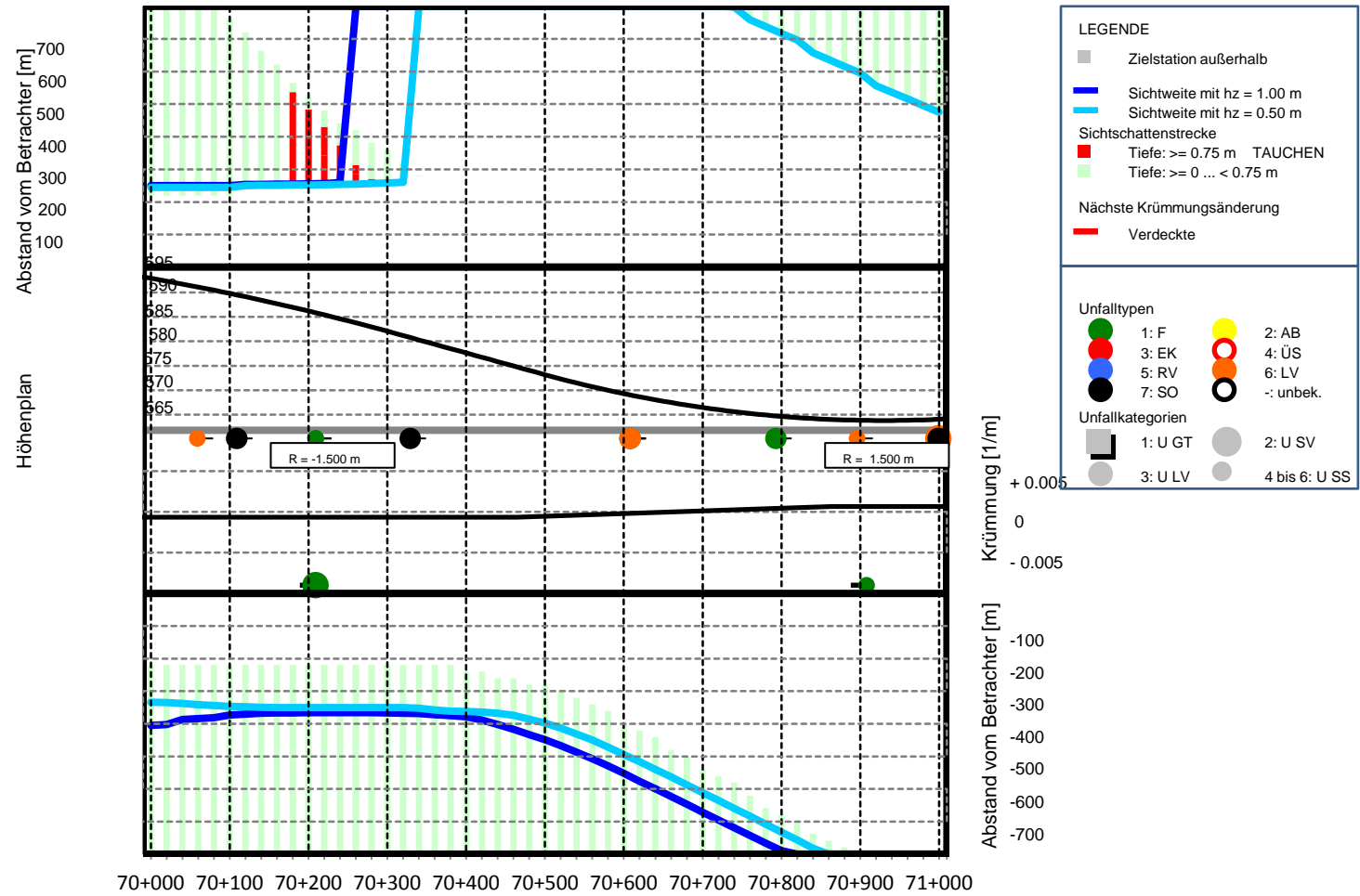
Anlage: Sichtschattenband A9, Station 67+000 bis 68+000, T Auge: 6.5 m, Defizite gemäß H ViSt



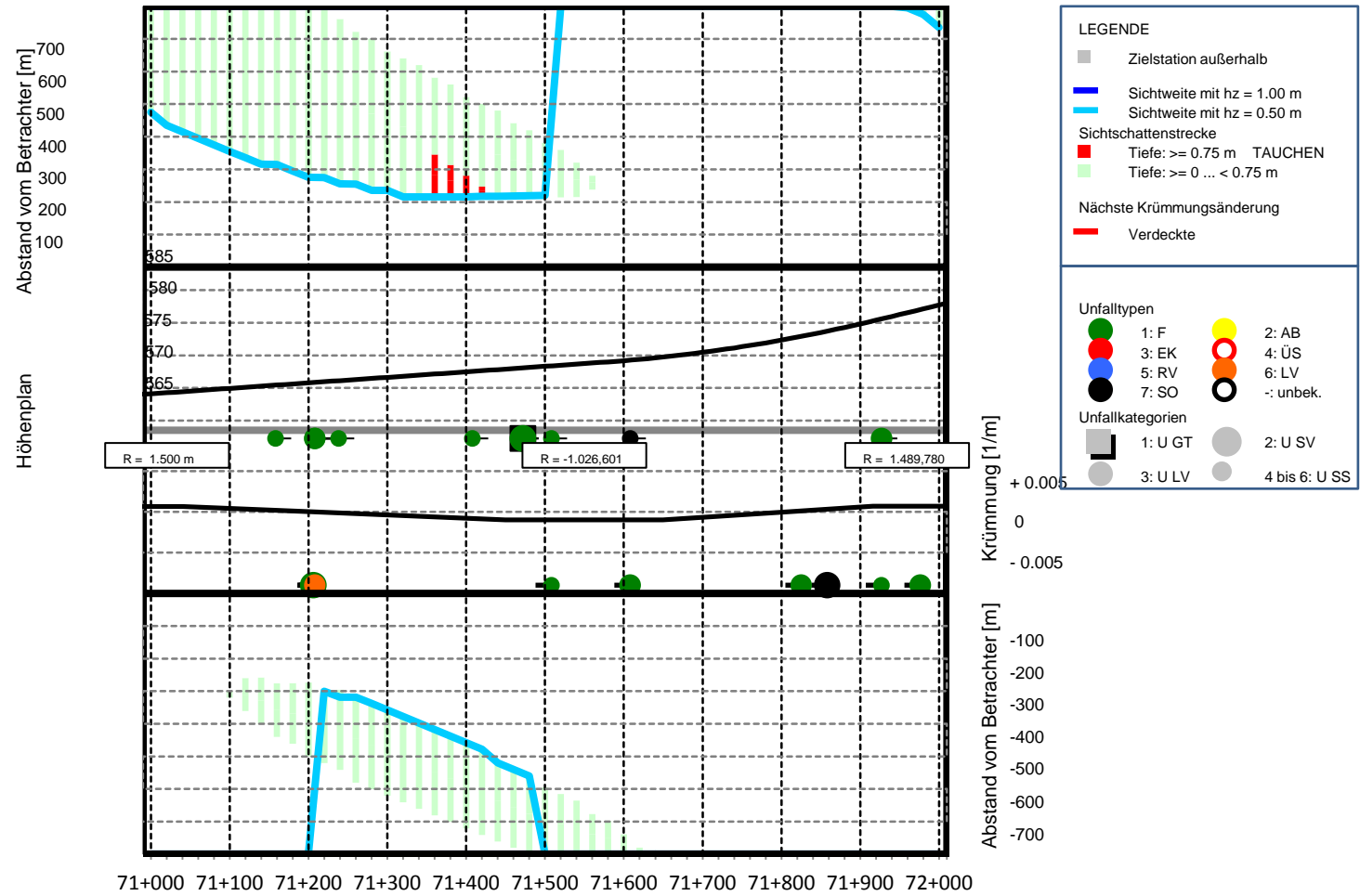
Anlage: Sichtschattenband A9, Station 68+000 bis 69+000, T Auge: 6.5 m, Defizite gemäß H ViSt



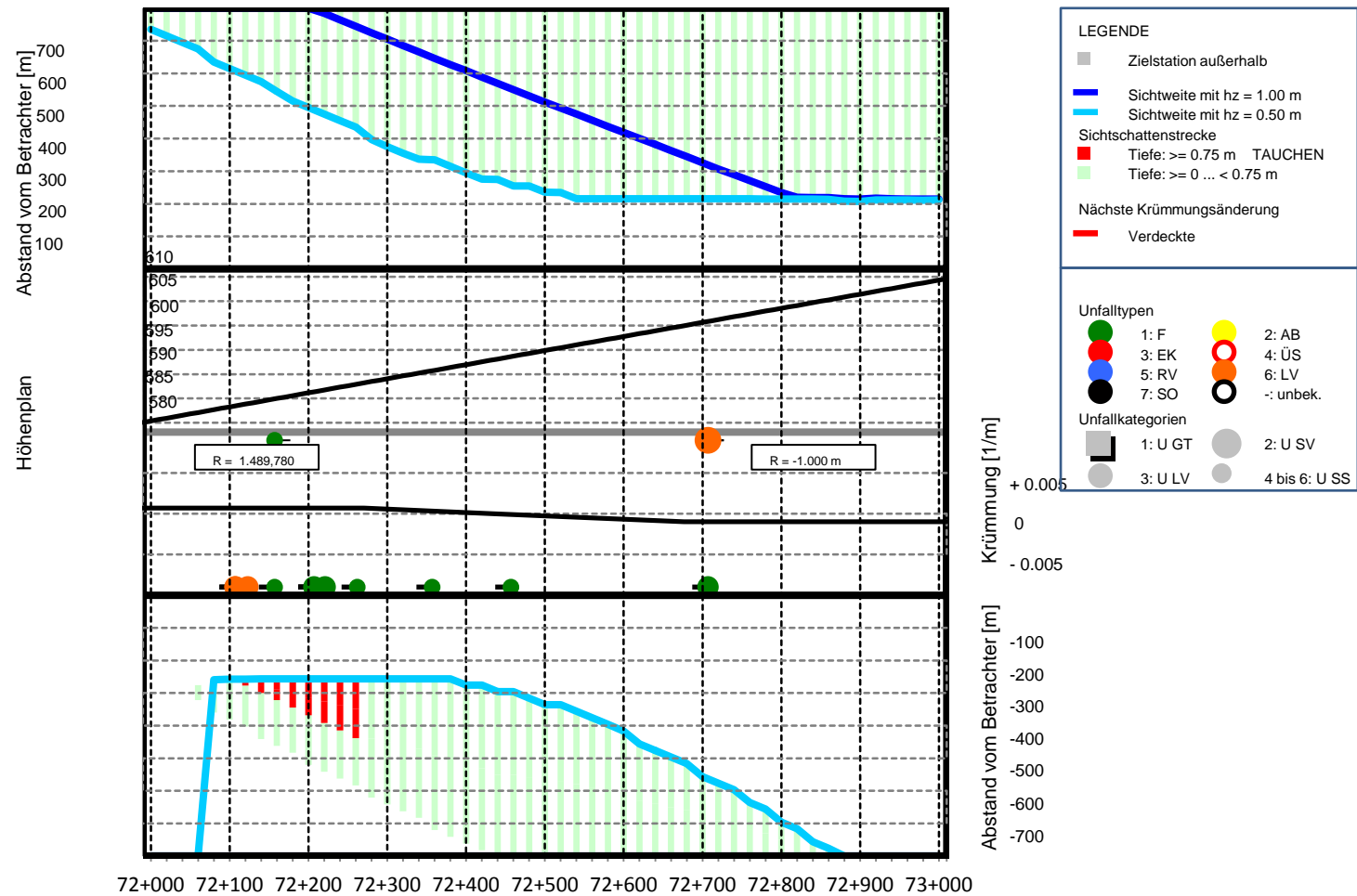
Anlage: Sichtschattenband A9, Station 69+000 bis 70+000, T Auge: 6.5 m, Defizite gemäß H ViSt



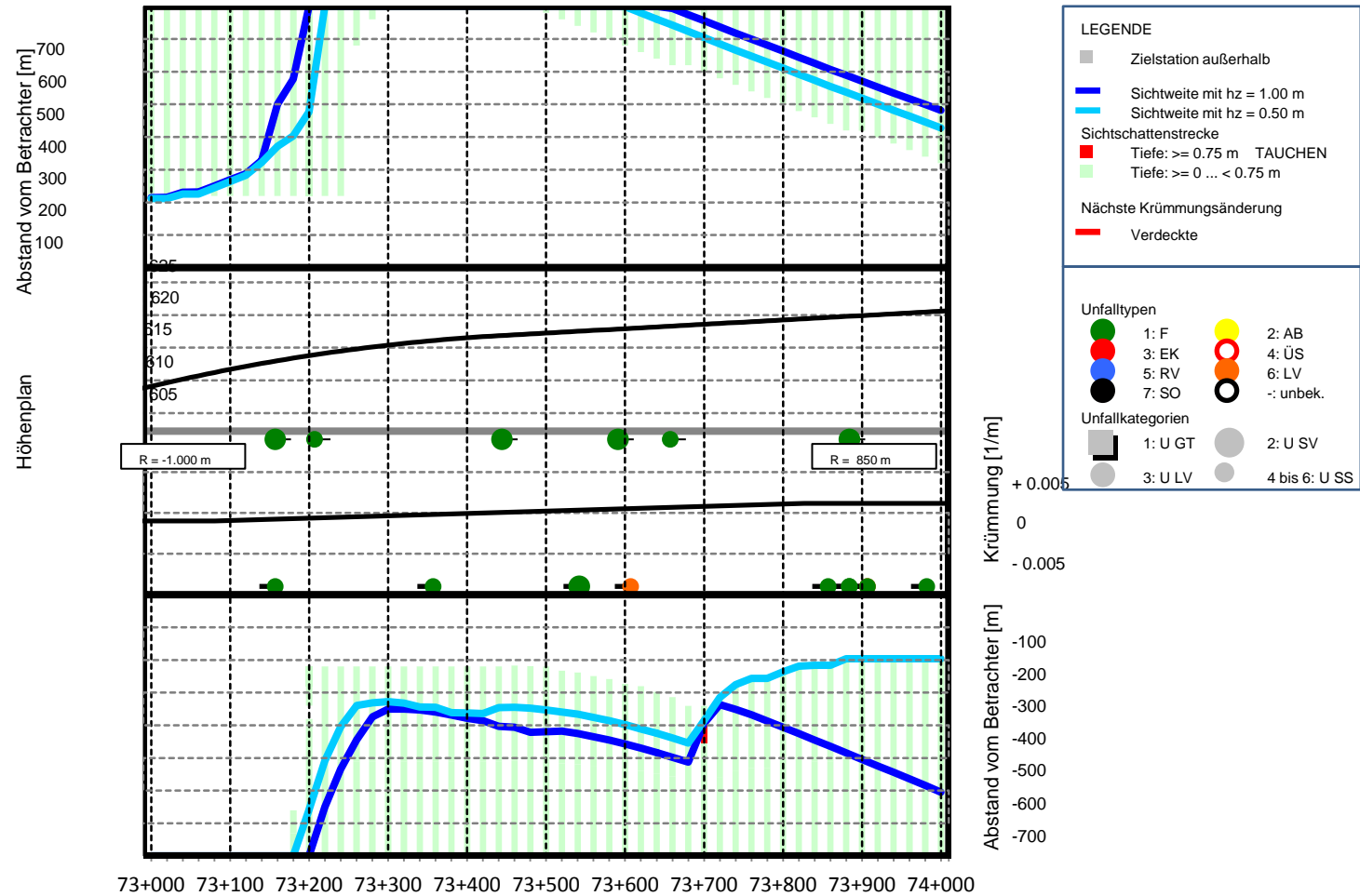
Anlage: Sichtschattenband A9, Station 70+000 bis 71+000, T Auge: 6.5 m, Defizite gemäß H ViSt



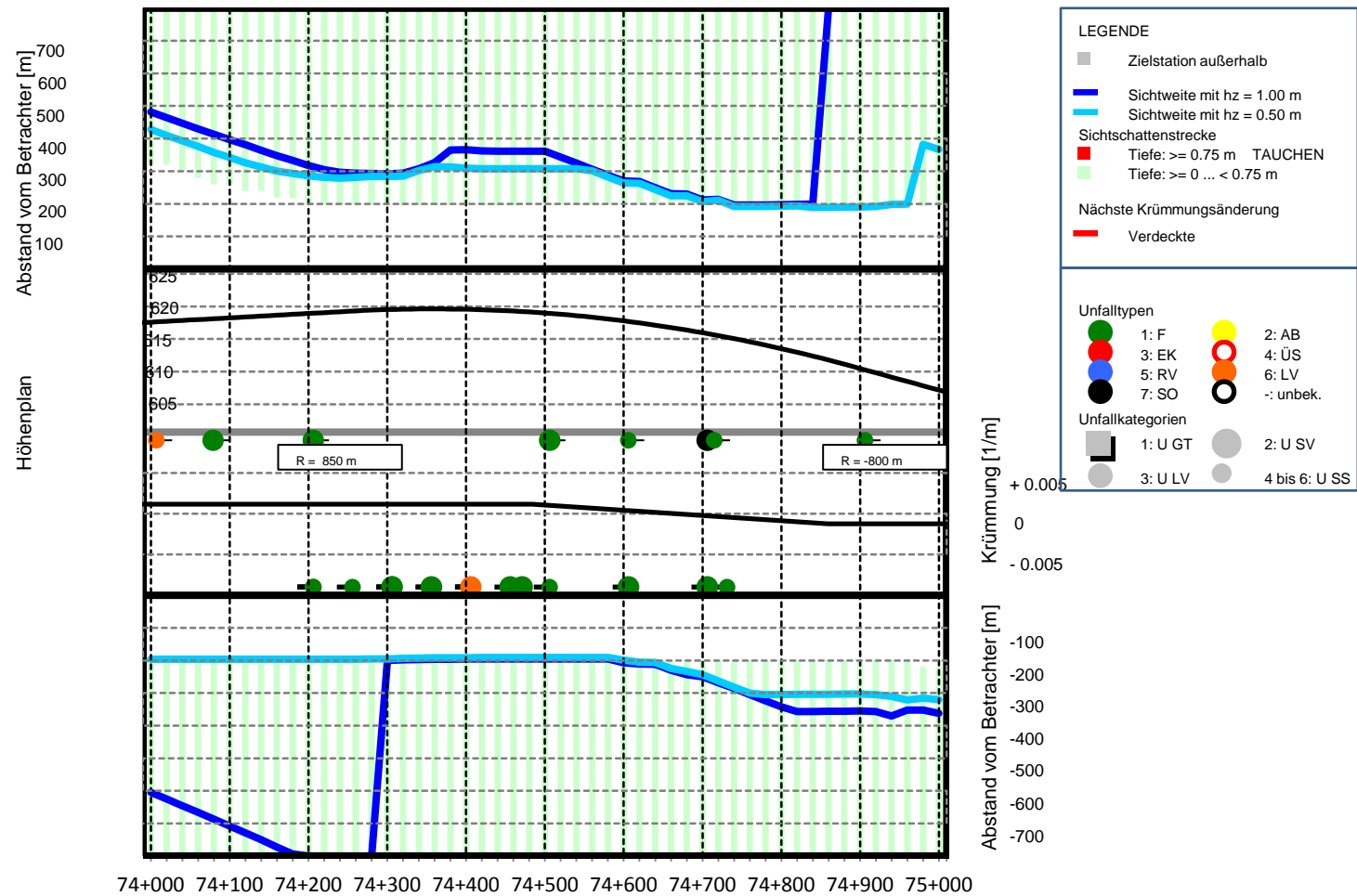
Anlage: Sichtschattenband A9, Station 71+000 bis 72+000, T Auge: 6.5 m, Defizite gemäß H ViSt



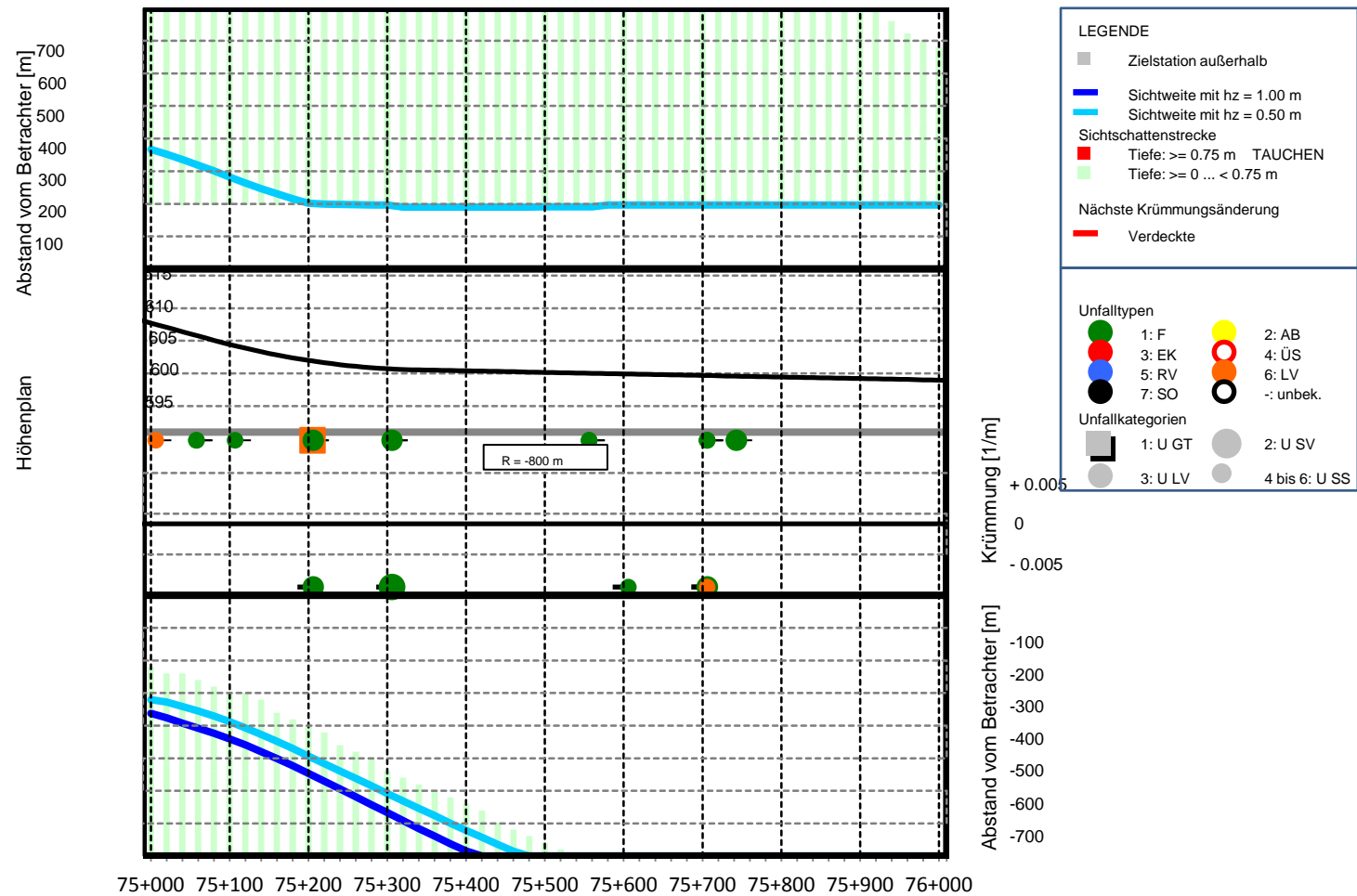
Anlage: Sichtschattenband A9, Station 72+000 bis 73+000, T Auge: 6.5 m, Defizite gemäß H ViSt



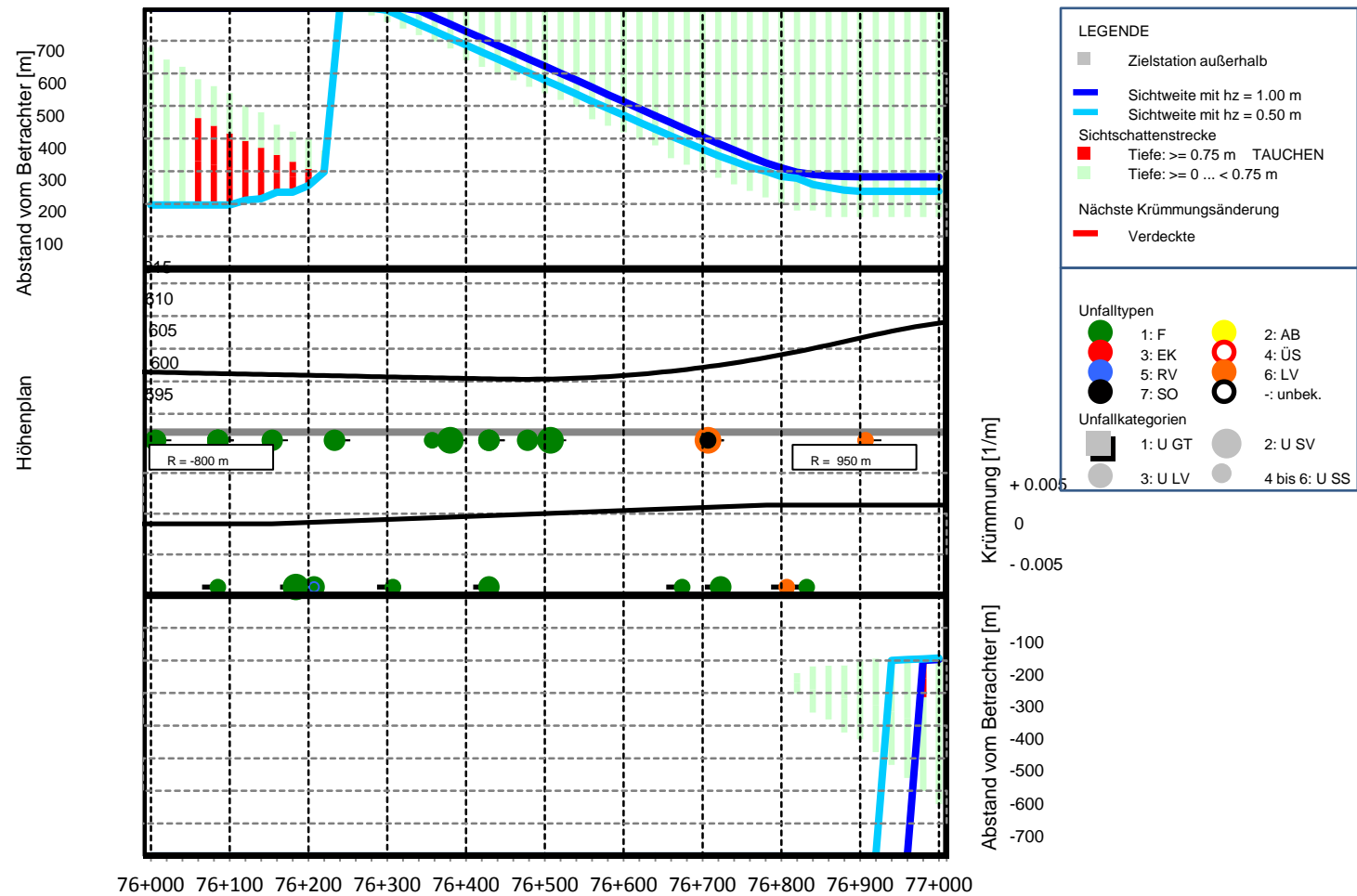
Anlage: Sichtschattenband A9, Station 73+000 bis 74+000, T Auge: 6.5 m, Defizite gemäß H ViSt



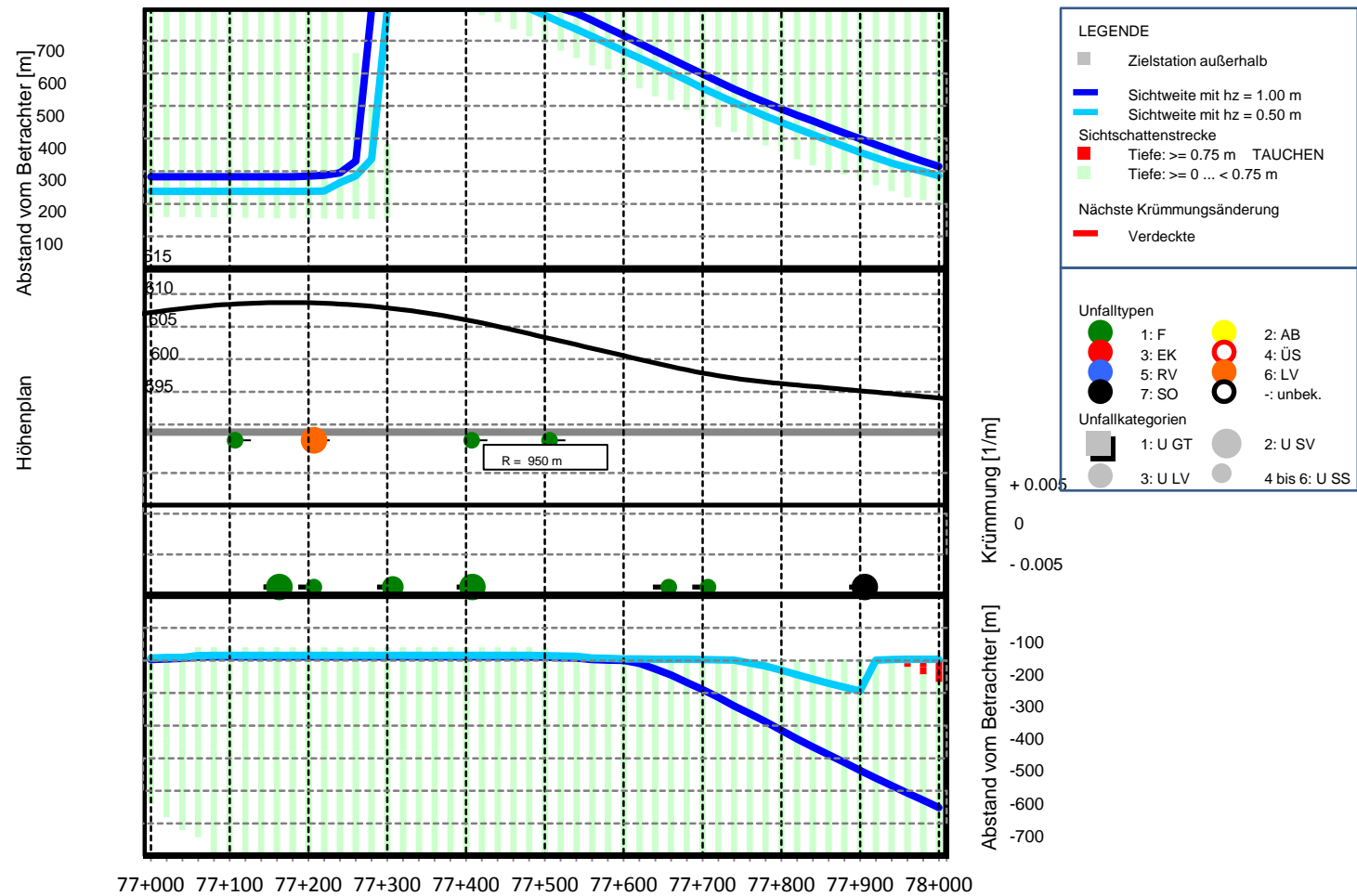
Anlage: Sichtschattenband A9, Station 74+000 bis 75+000, T Auge: 6.5 m, Defizite gemäß H ViSt



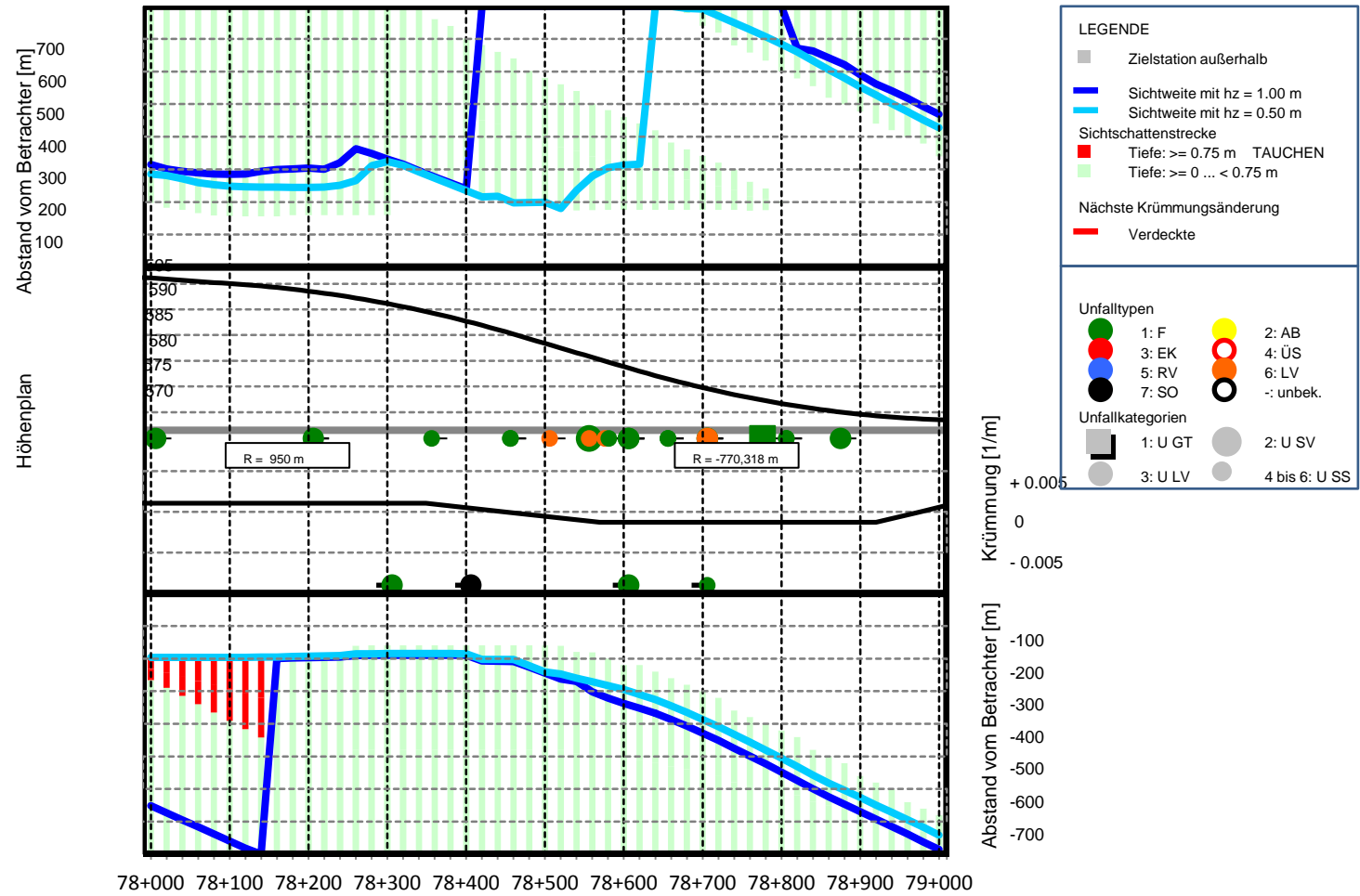
Anlage: Sichtschattenband A9, Station 75+000 bis 76+000, T Auge: 6.5 m, Defizite gemäß H ViSt



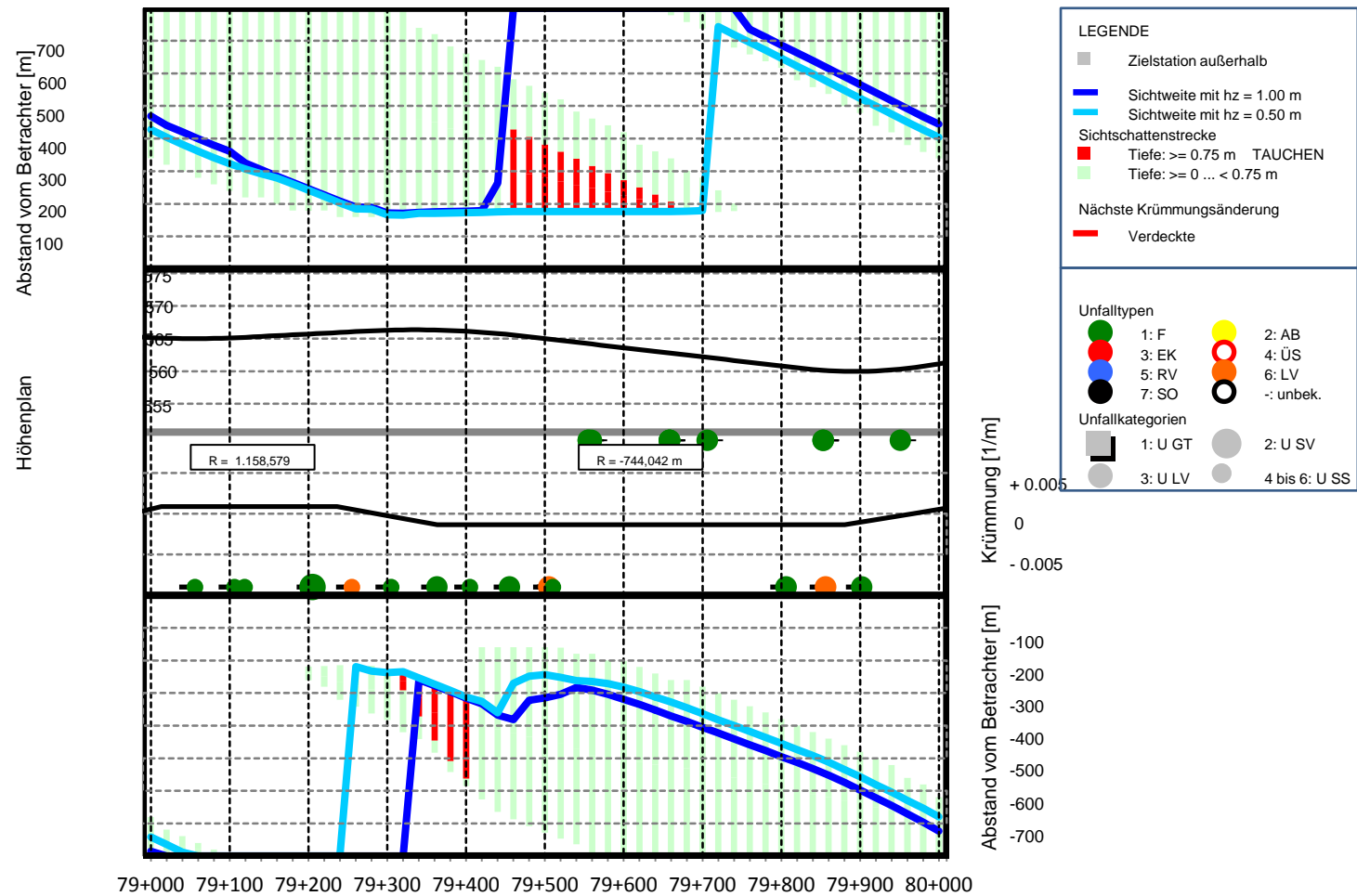
Anlage: Sichtschattenband A9, Station 76+000 bis 77+000, T Auge: 6.5 m, Defizite gemäß H ViSt



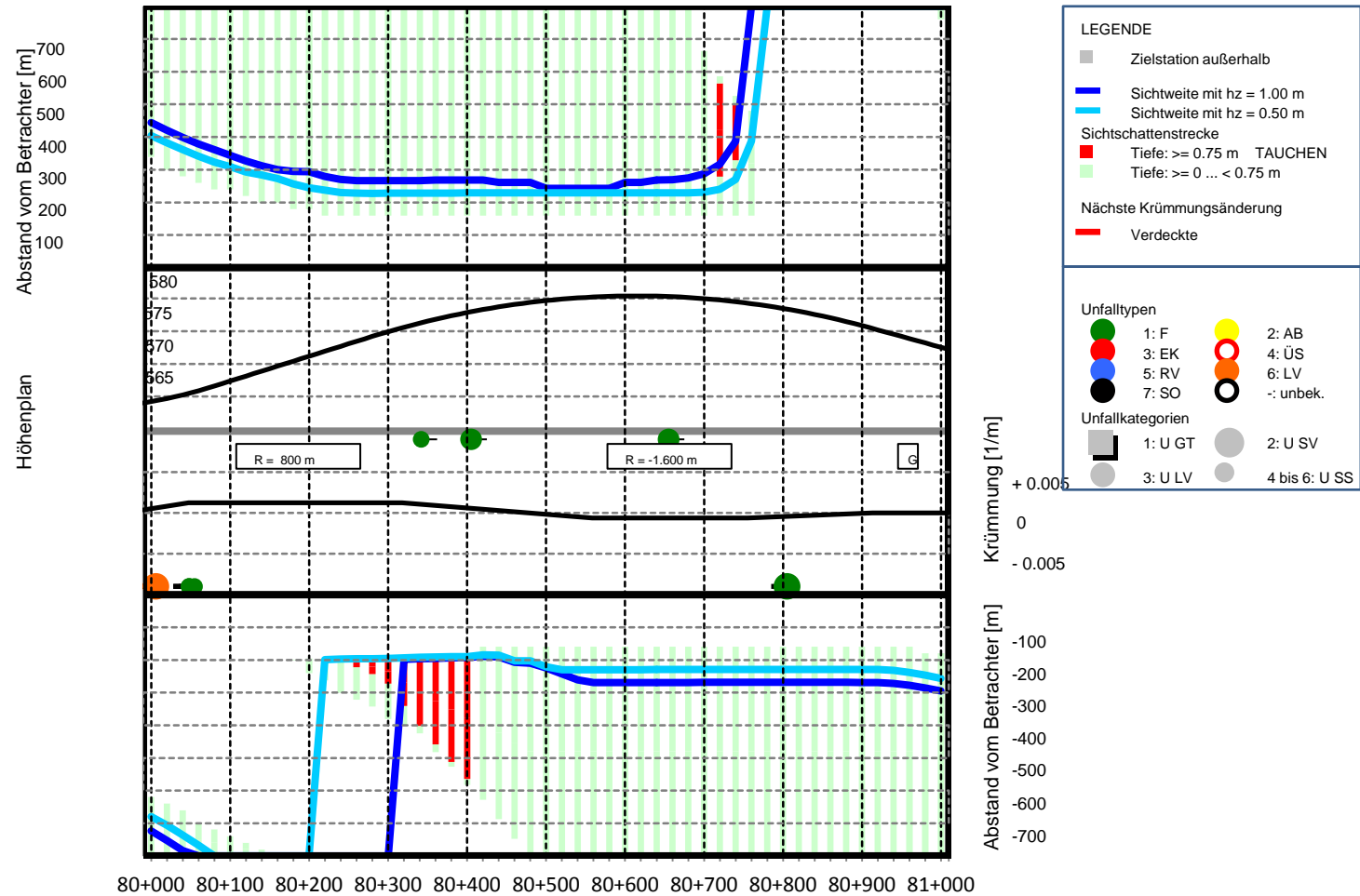
Anlage: Sichtschattenband A9, Station 77+000 bis 78+000, T Auge: 6.5 m, Defizite gemäß H ViSt



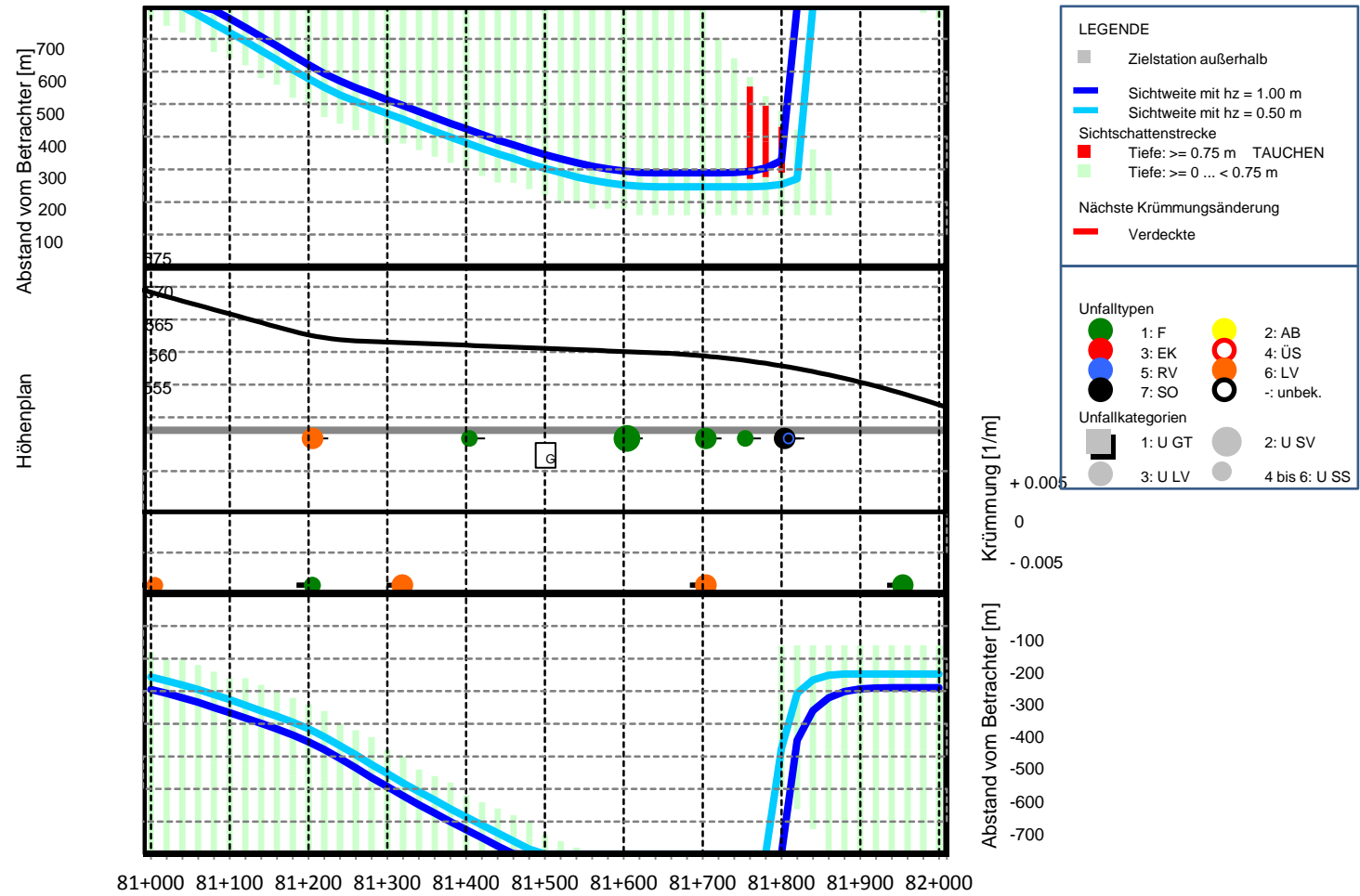
Anlage: Sichtschattenband A9, Station 78+000 bis 79+000, T Auge: 6.5 m, Defizite gemäß H ViSt



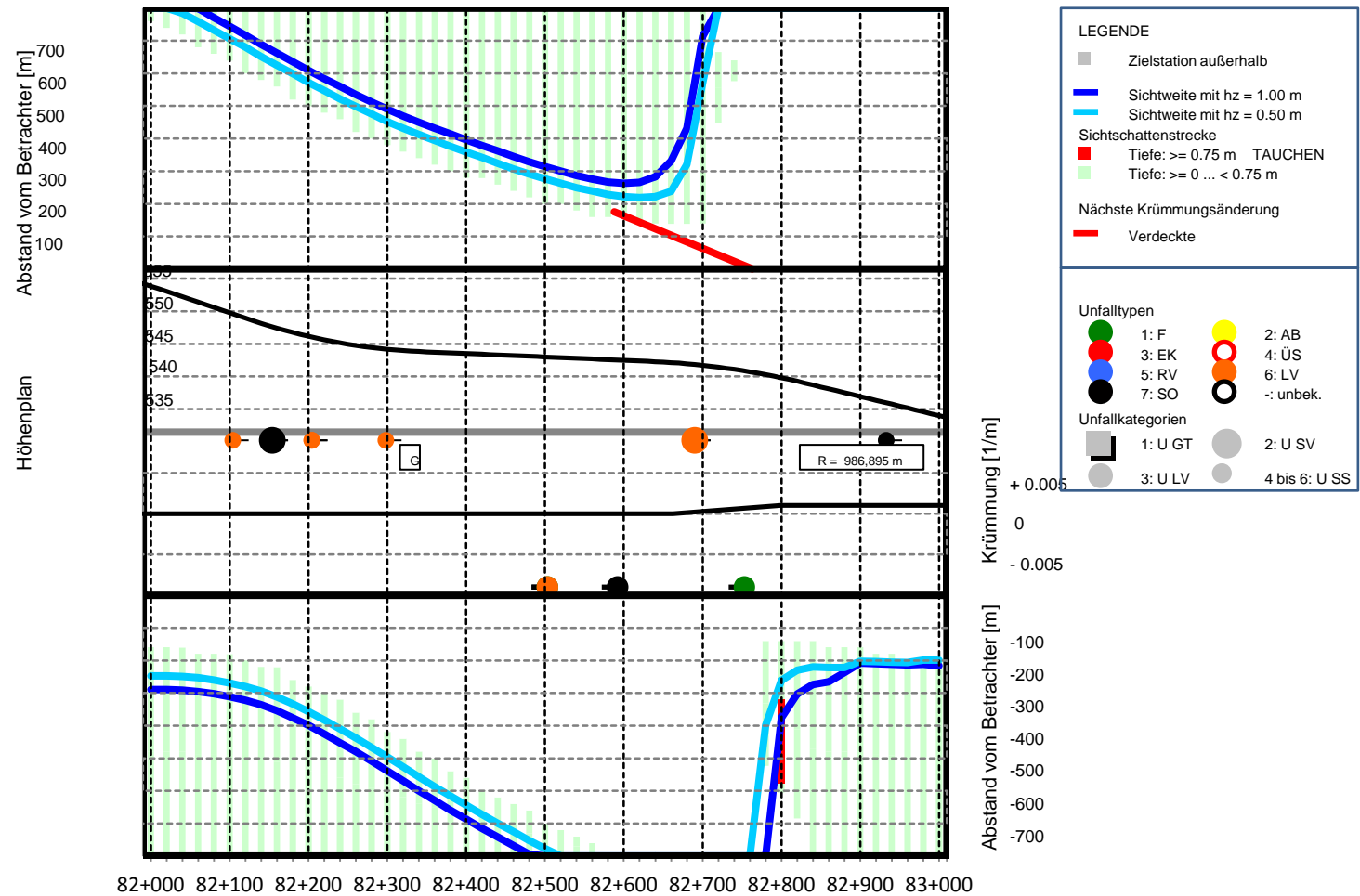
Anlage: Sichtschattenband A9, Station 79+000 bis 80+000, T Auge: 6.5 m, Defizite gemäß H ViSt



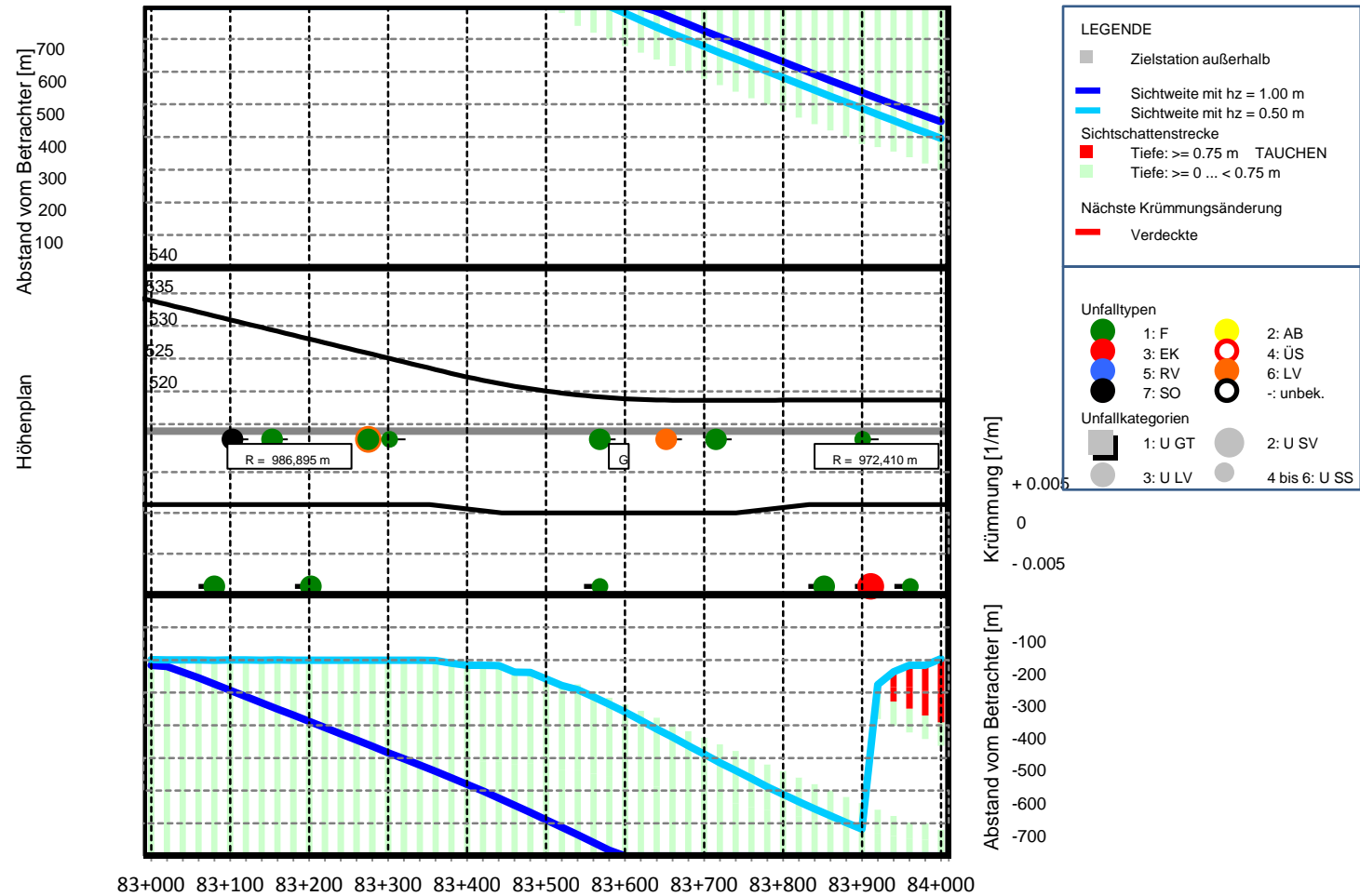
Anlage: Sichtschattenband A9, Station 80+000 bis 81+000, T Auge: 6.5 m, Defizite gemäß H ViSt



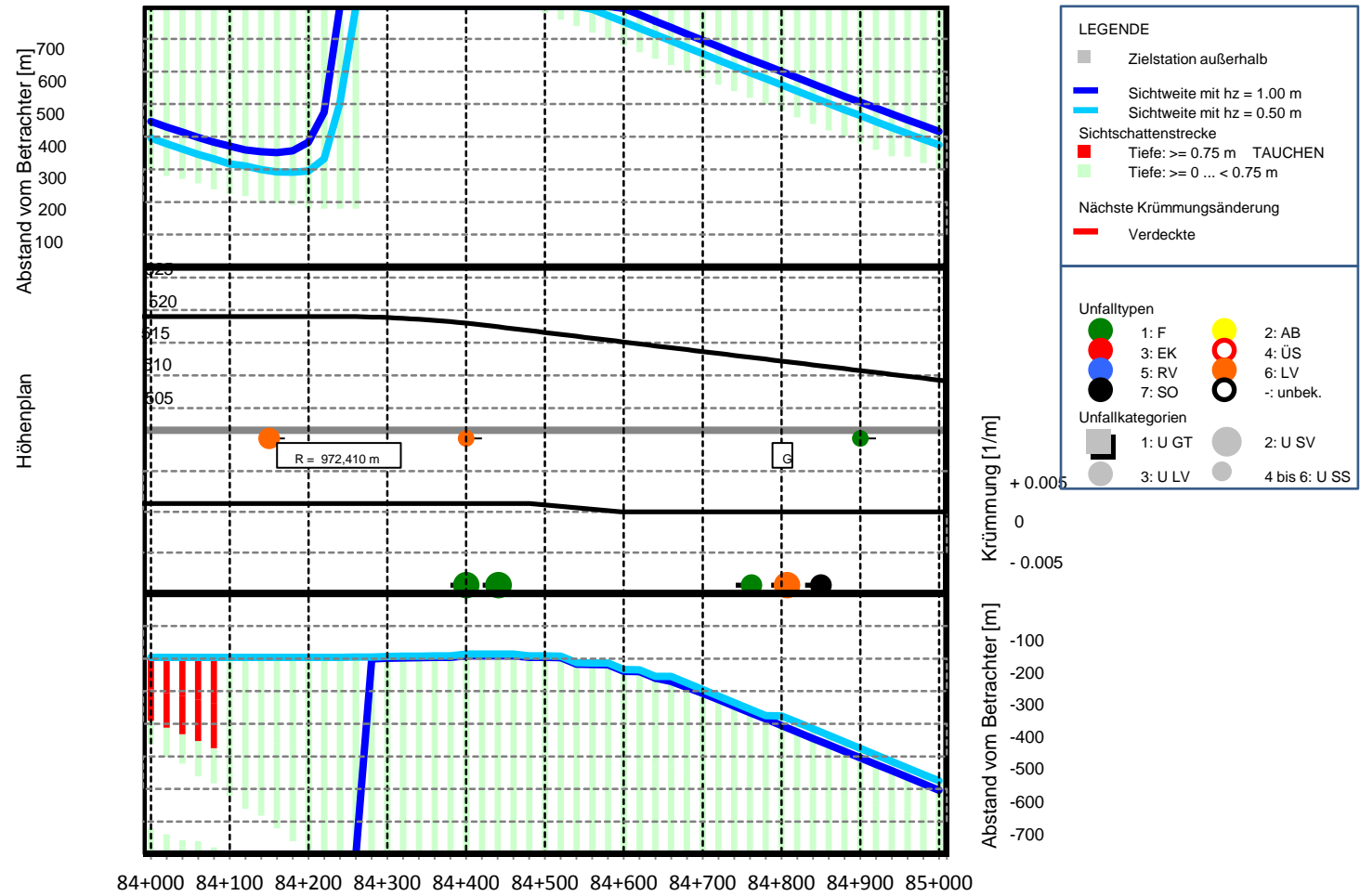
Anlage: Sichtschattenband A9, Station 81+000 bis 82+000, T Auge: 6.5 m, Defizite gemäß H ViSt



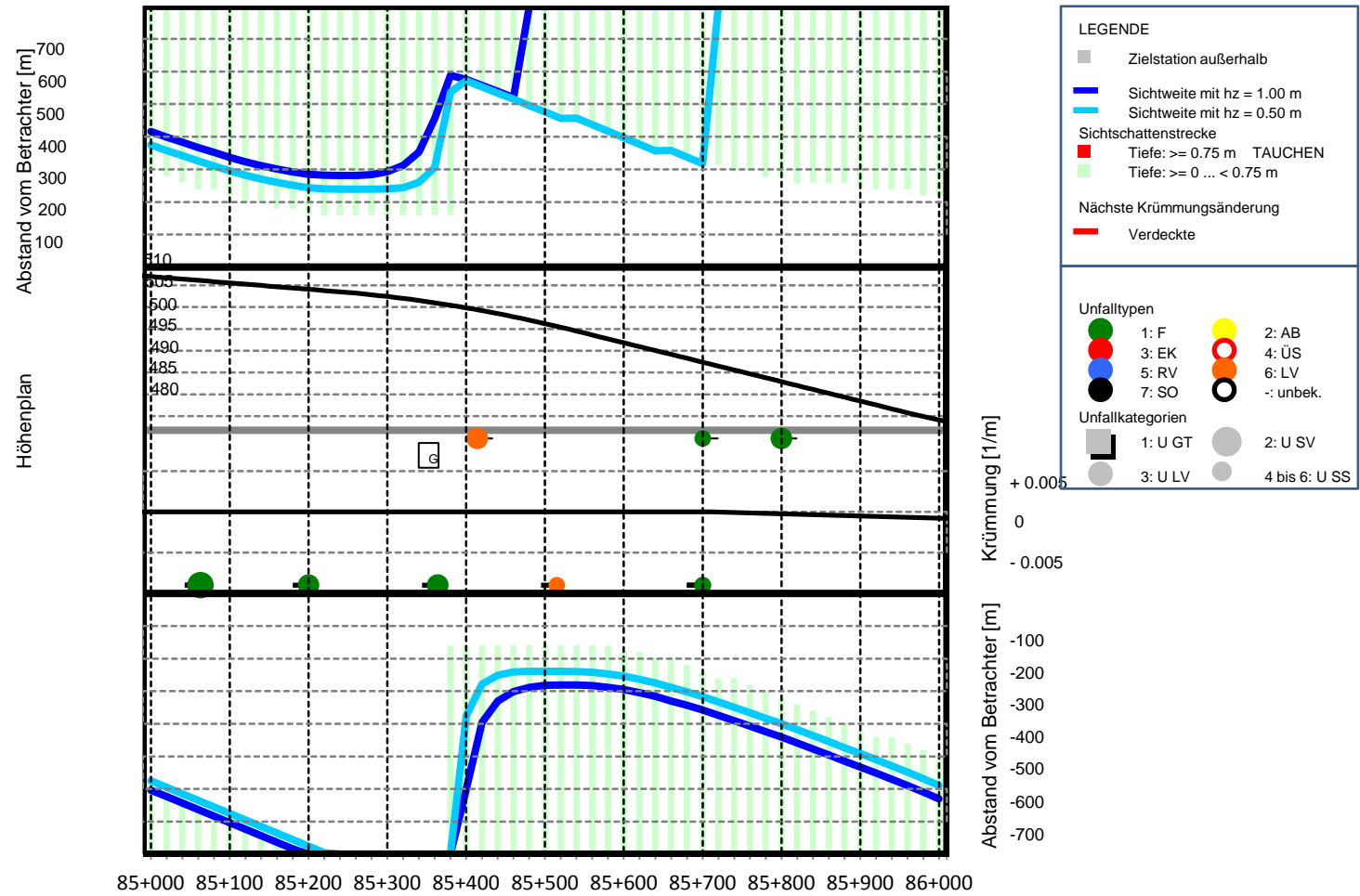
Anlage: Sichtschattenband A9, Station 82+000 bis 83+000, T Auge: 6.5 m, Defizite gemäß H ViSt



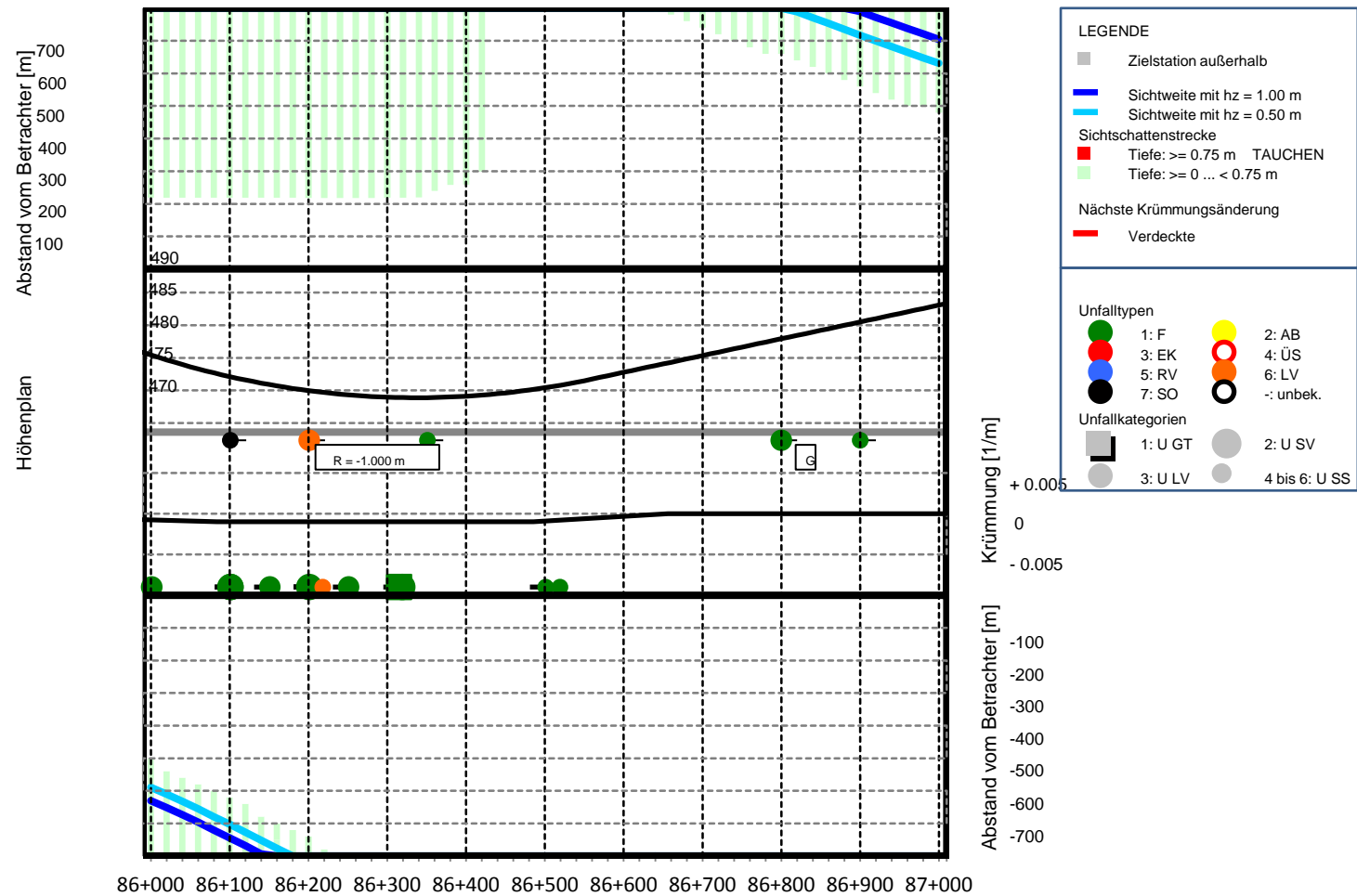
Anlage: Sichtschattenband A9, Station 83+000 bis 84+000, T Auge: 6.5 m, Defizite gemäß H ViSt



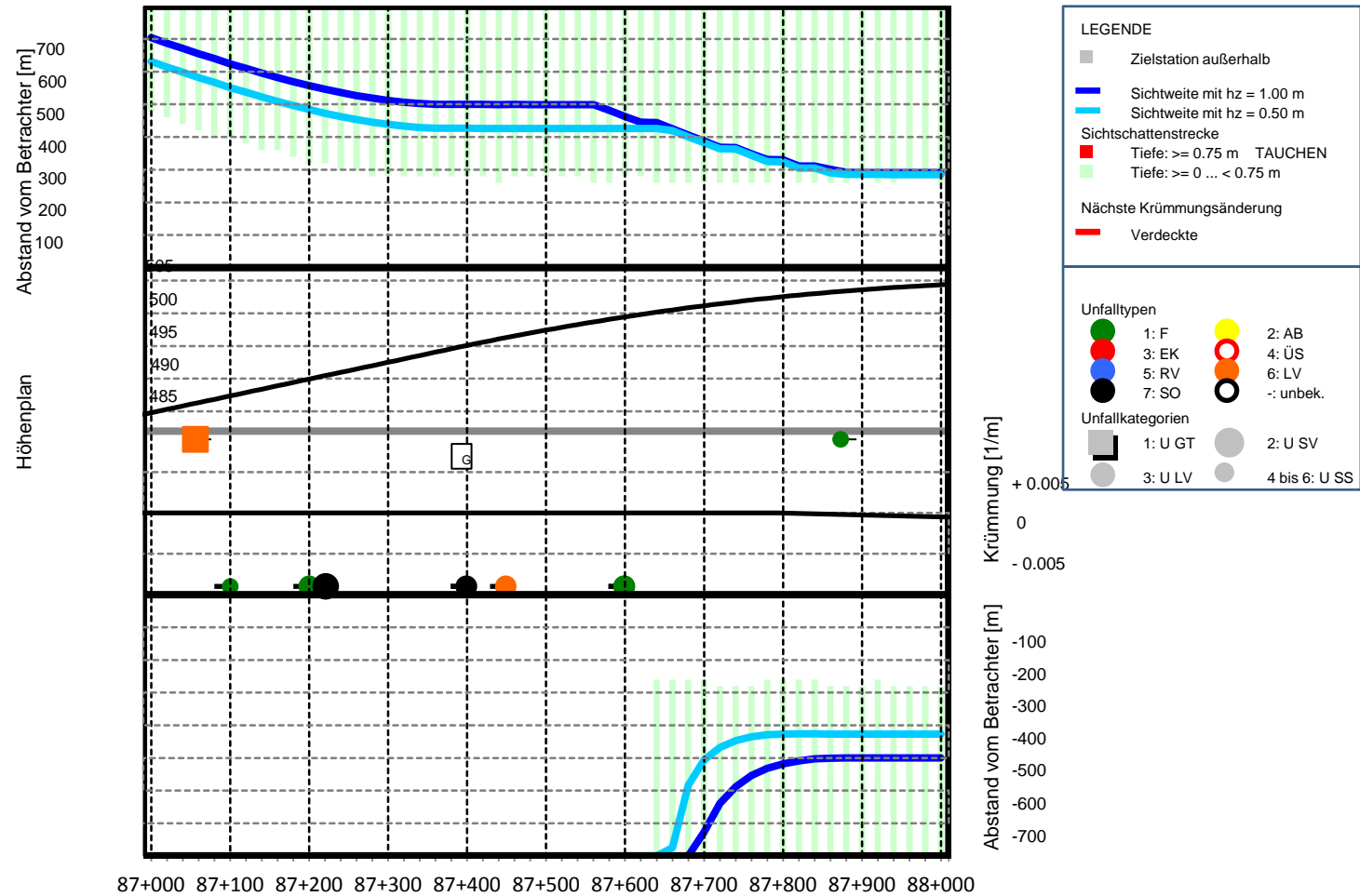
Anlage: Sichtschattenband A9, Station 84+000 bis 85+000, T Auge: 6.5 m, Defizite gemäß H ViSt



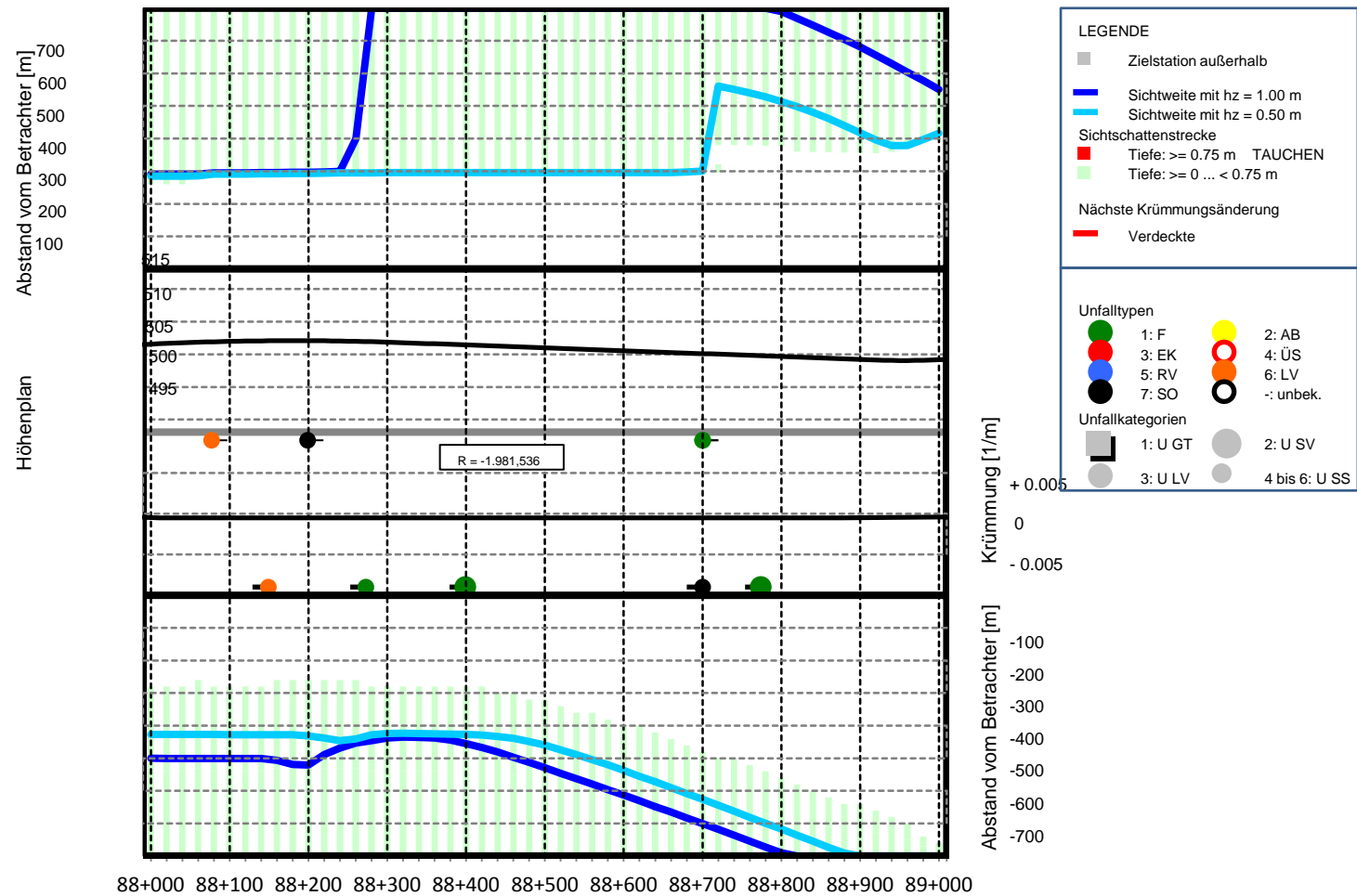
Anlage: Sichtschattenband A9, Station 85+000 bis 86+000, T Auge: 6.5 m, Defizite gemäß H ViSt



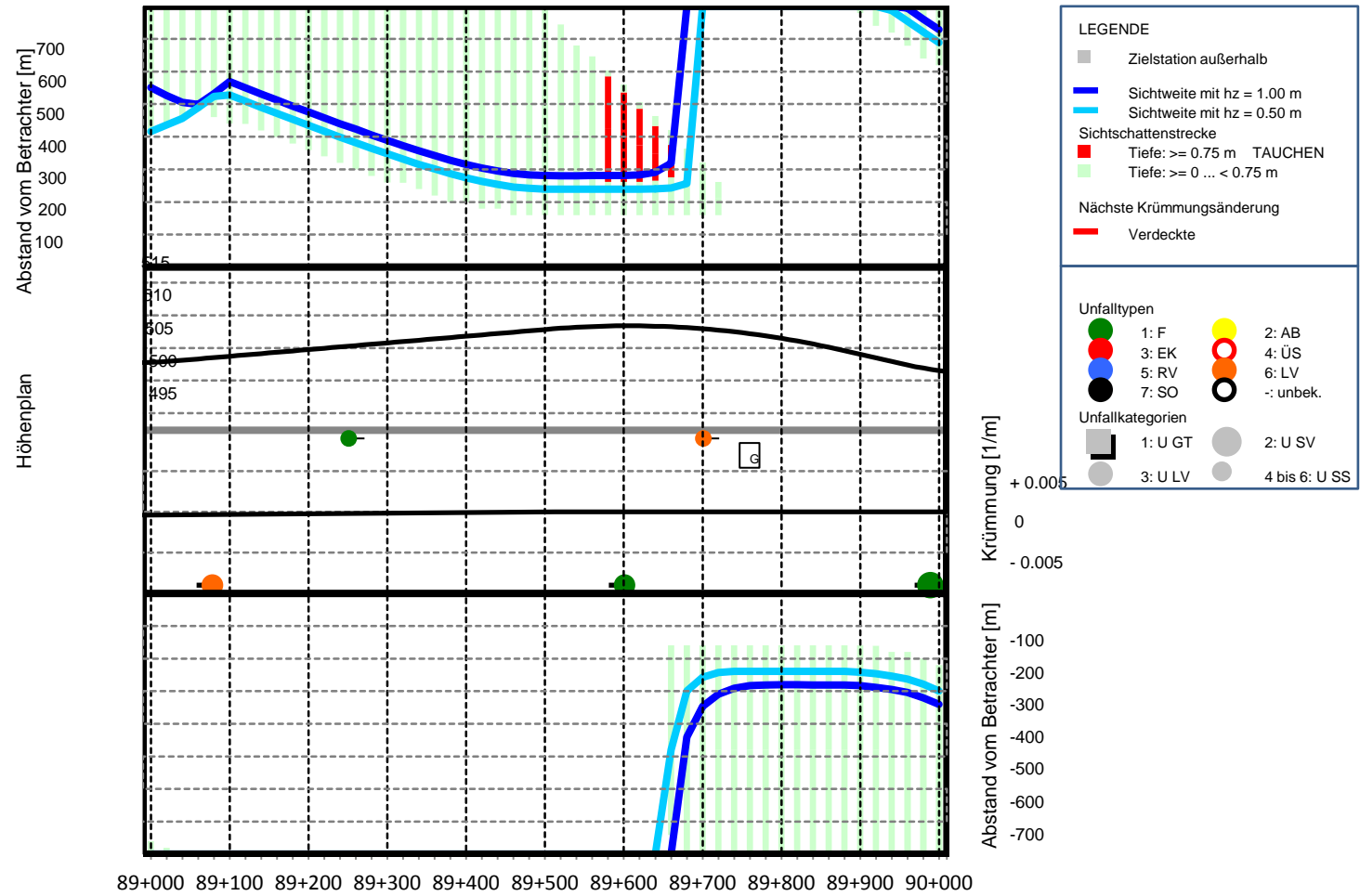
Anlage: Sichtschattenband A9, Station 86+000 bis 87+000, T Auge: 6.5 m, Defizite gemäß H ViSt



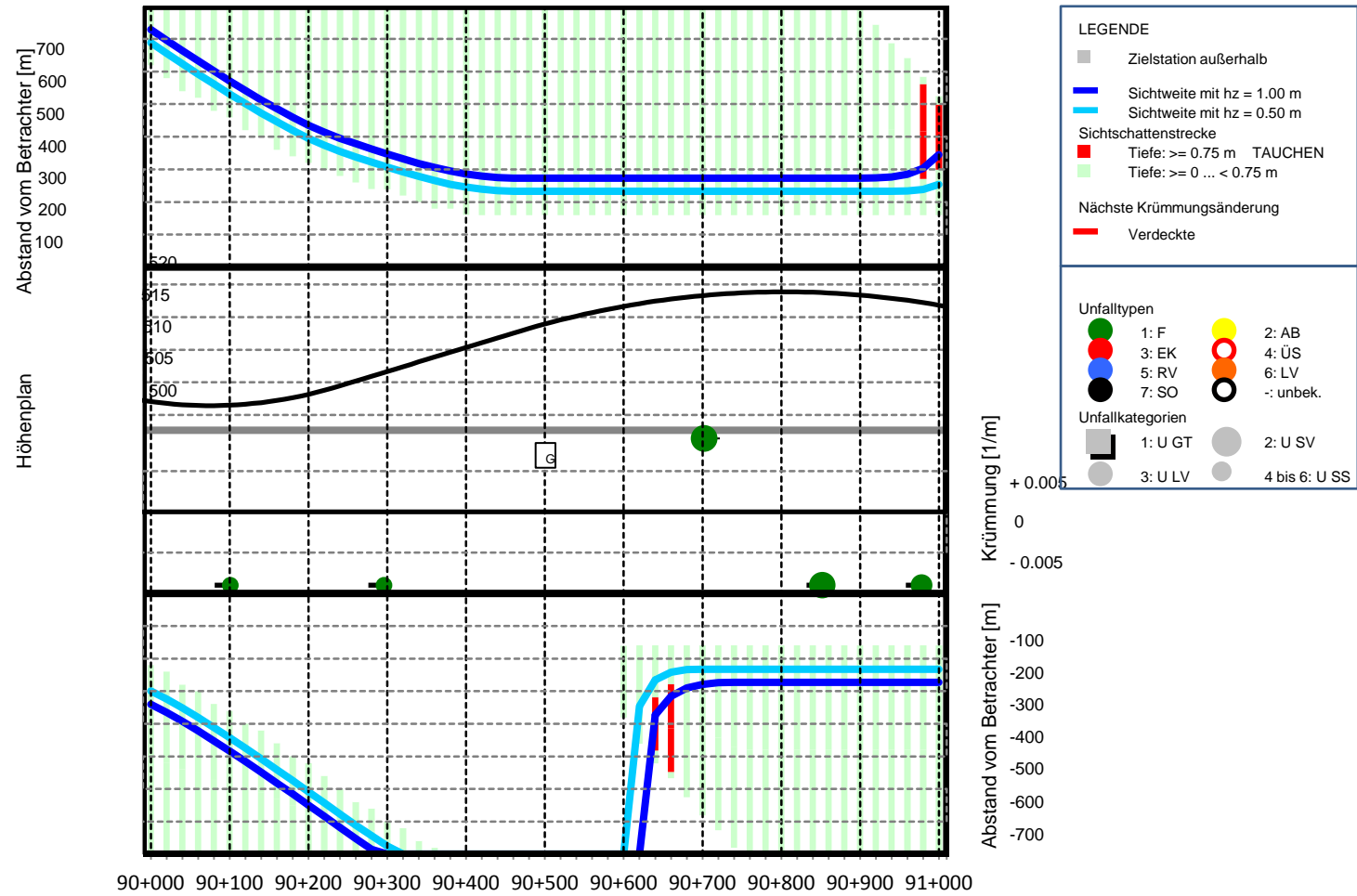
Anlage: Sichtschattenband A9, Station 87+000 bis 88+000, T Auge: 6.5 m, Defizite gemäß H ViSt



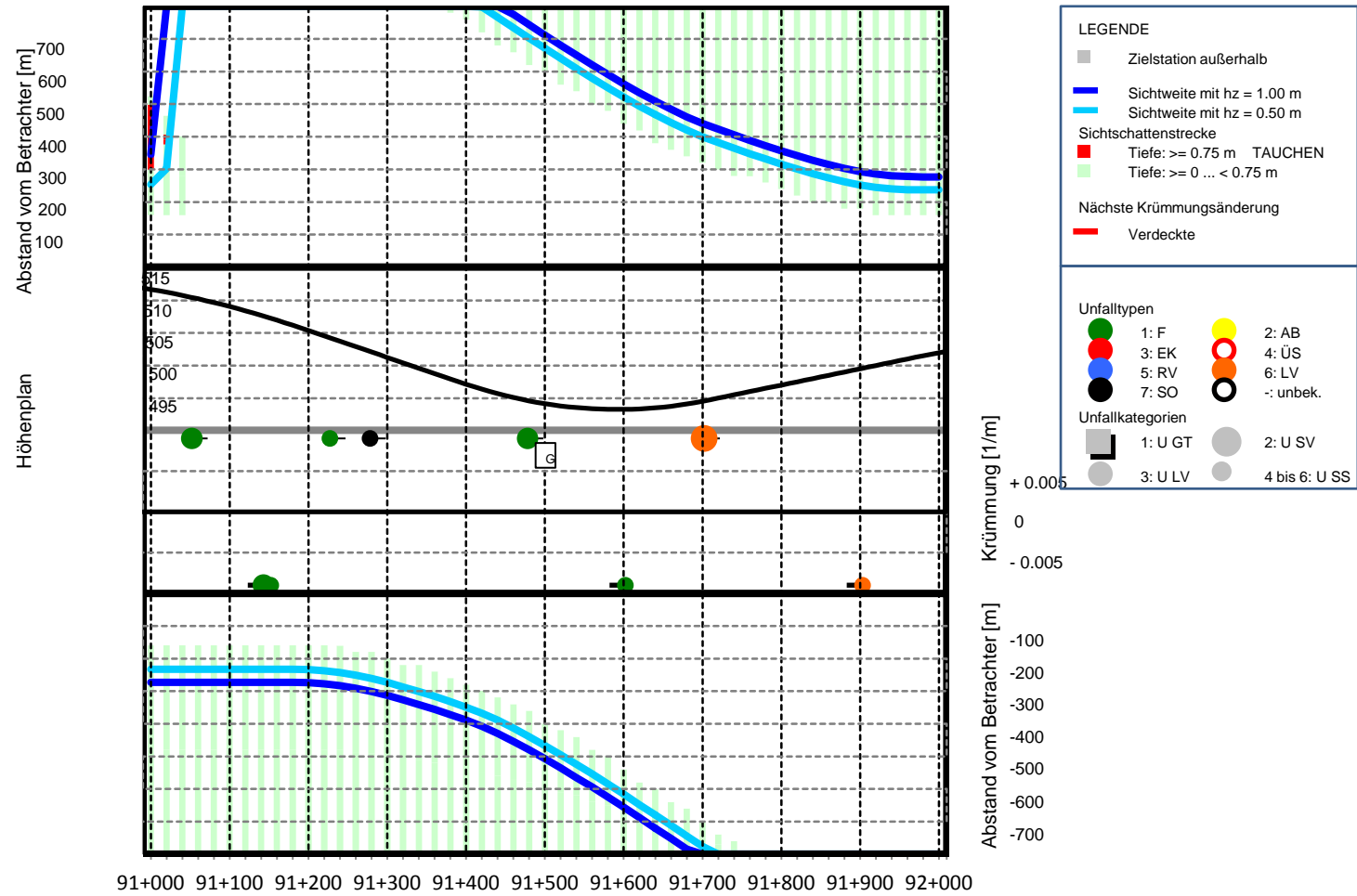
Anlage: Sichtschattenband A9, Station 88+000 bis 89+000, T Auge: 6.5 m, Defizite gemäß H ViSt



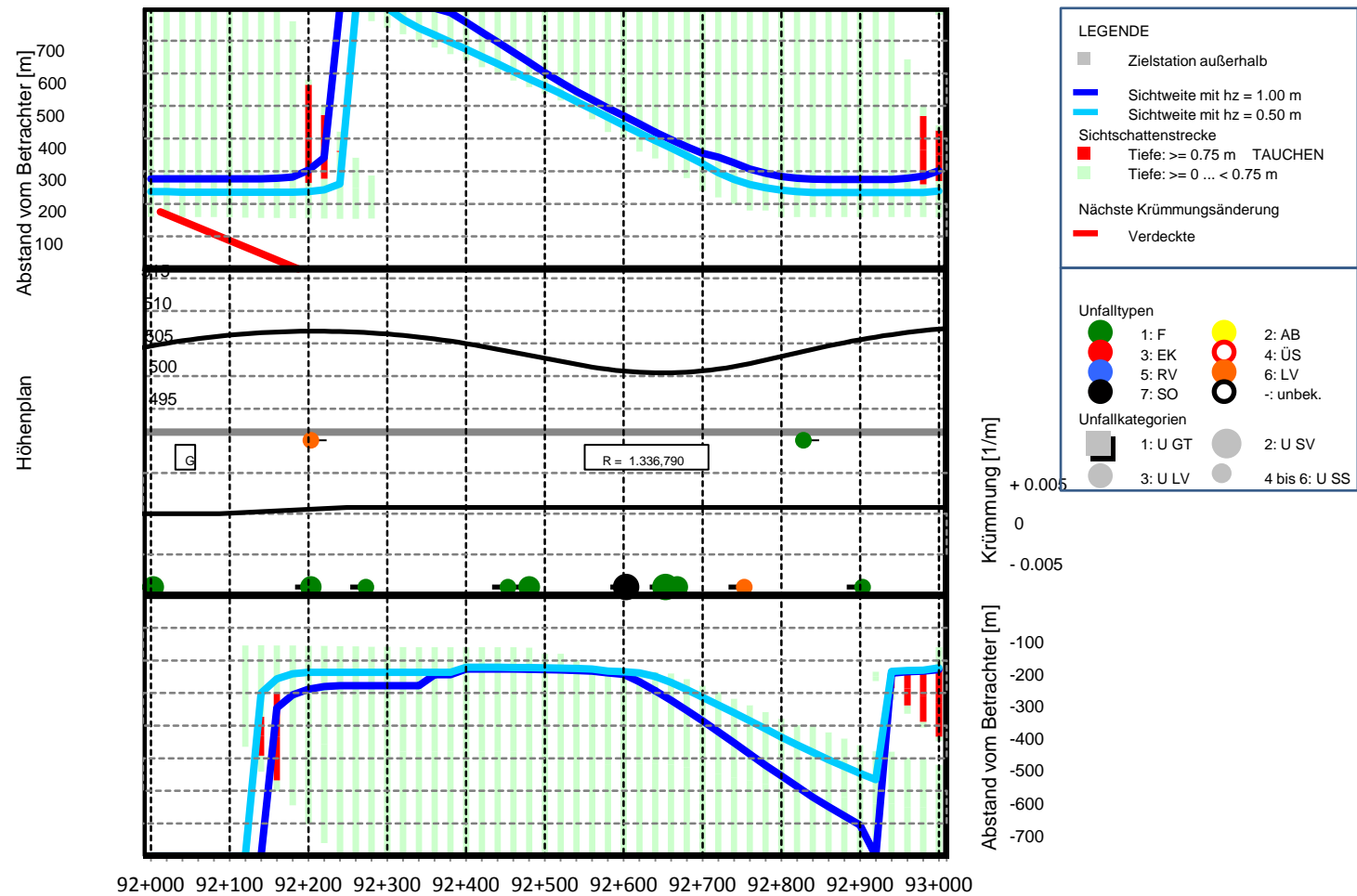
Anlage: Sichtschattenband A9, Station 89+000 bis 90+000, T Auge: 6.5 m, Defizite gemäß H ViSt



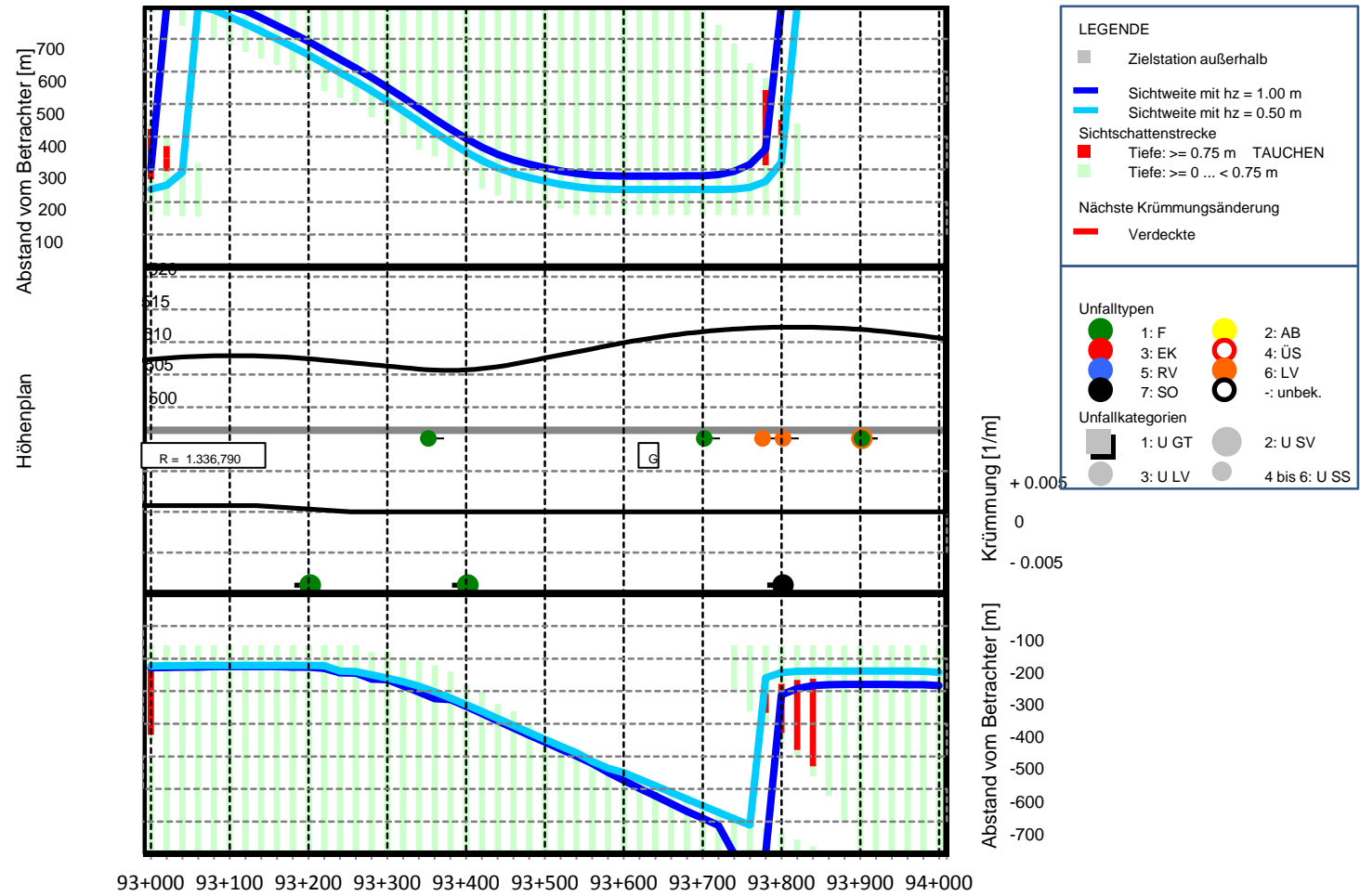
Anlage: Sichtschattenband A9, Station 90+000 bis 91+000, T Auge: 6.5 m, Defizite gemäß H ViSt



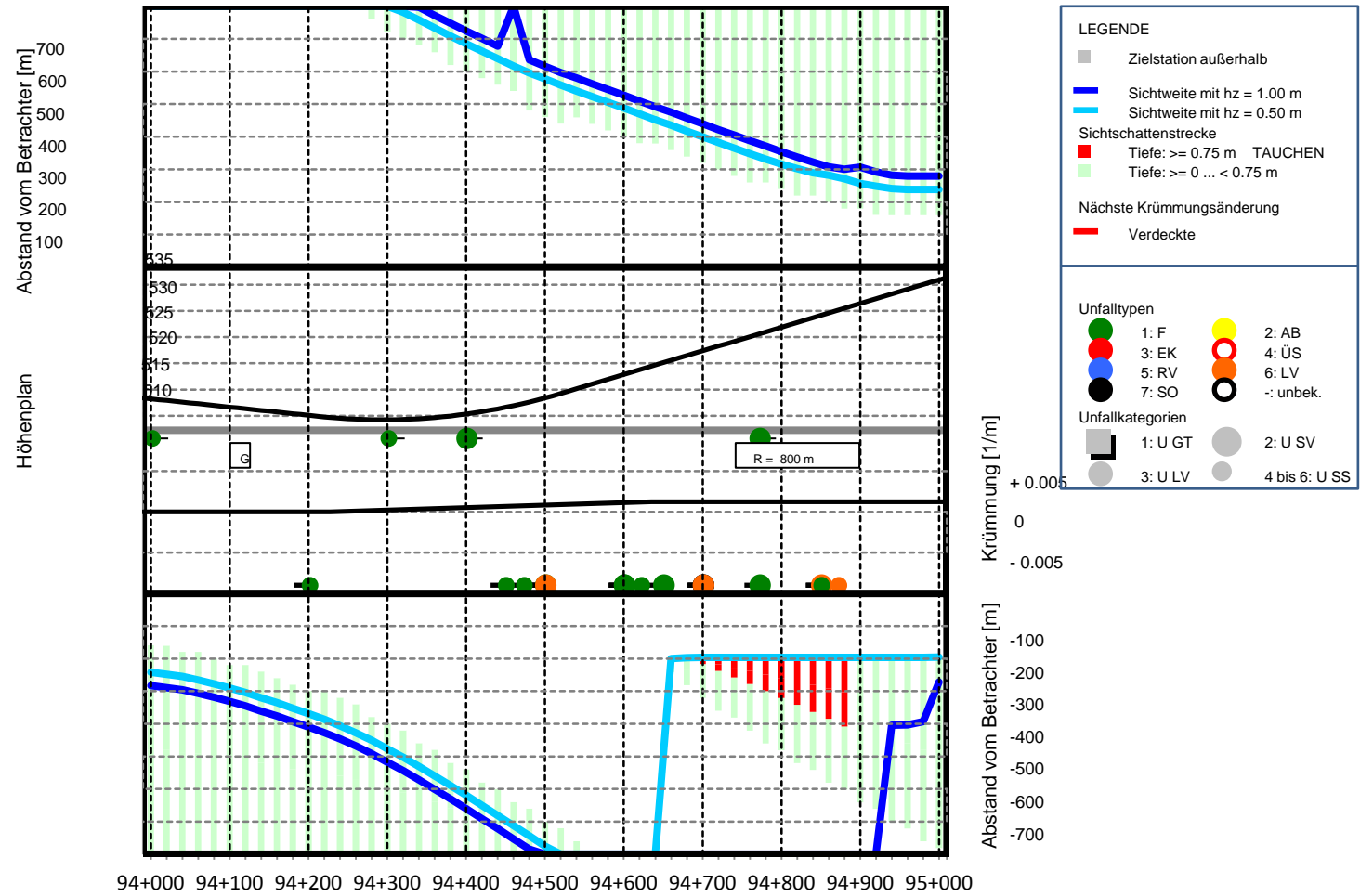
Anlage: Sichtschattenband A9, Station 91+000 bis 92+000, T Auge: 6.5 m, Defizite gemäß H ViSt



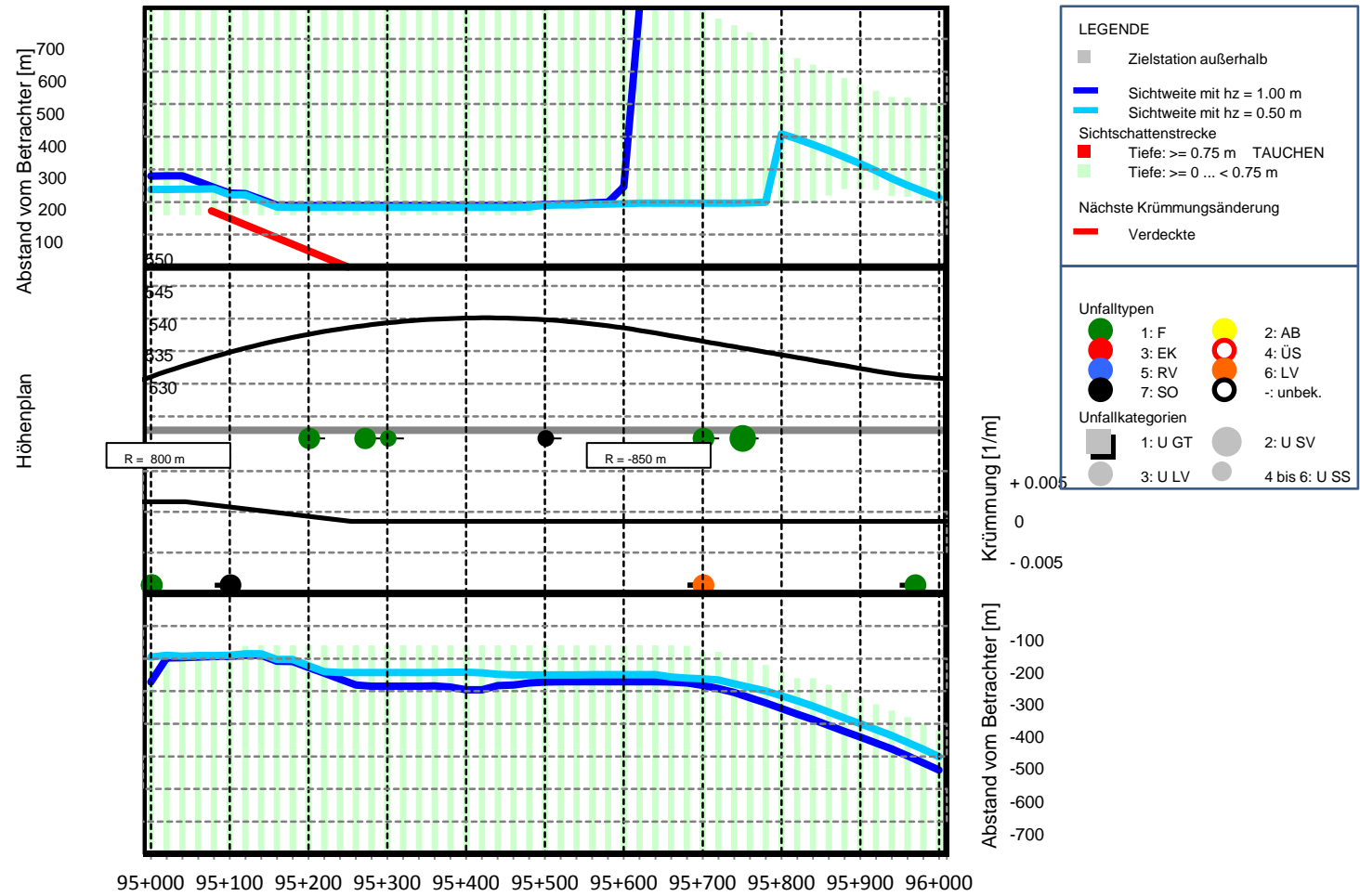
Anlage: Sichtschattenband A9, Station 92+000 bis 93+000, T Auge: 6.5 m, Defizite gemäß H ViSt



Anlage: Sichtschattenband A9, Station 93+000 bis 94+000, T Auge: 6.5 m, Defizite gemäß H ViSt



Anlage: Sichtschattenband A9, Station 94+000 bis 95+000, T Auge: 6.5 m, Defizite gemäß H ViSt



Anlage: Sichtschattenband A9, Station 95+000 bis 96+000, T Auge: 6.5 m, Defizite gemäß H ViSt